

# 抄 録

第21卷 第11号 昭和10年11月

- |            |                       |              |               |             |
|------------|-----------------------|--------------|---------------|-------------|
| 1. 土木一般( ) | 2. 應用力學( )            | 3. 土質工學(1)   | 4. 水理(4)      | 5. 測量( )    |
| 6. 材料(6)   | 7. コンクリート及鋼筋コンクリート(7) | 8. 施工(11)    | 9. 橋梁及構造物(12) |             |
| 10. 河川( )  | 11. 水力發電( )           | 12. 堤防( )    | 13. 上水道( )    | 14. 下水道(43) |
| 15. 港湾(48) | 16. 道路(52)            | 17. 都市計畫(52) | 18. 鐵道(58)    | 19. 隧道(54)  |
| 20. 雜( )   |                       |              |               |             |

( )内は本誌頁を示す。

### 3. 土質工學

#### X線による地盤壓力分布の觀測

(Adalbert Pogany, "Röntgenologische Untersuchung der Durchverteilung in Sand und sandartigen Massen," Bauting, 16. Aug. 1935, S. 365-366.)

土質力学に於ては地盤の變型、應力及びこの兩者の間の關係なる3つの基礎的問題がある。著者は右の中地盤の壓力に依る變型とX線を應用して科學的に探究し次の如き事實を經めた。

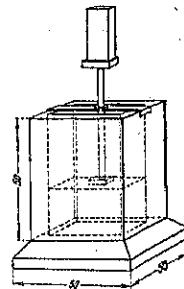
既に Müller Breslau 教授が局部的に載荷した砂層又は粒狀層の動力學的な變型の過程に就いて發表されてゐる。この研究に在つては實驗中の諸現象を容易に看取し得る様に鐵製試驗函の一壁に硝子の板を嵌め觀測した。硝子の面と粒狀物質の摩擦の關係は内部に於ける粒狀物質同志の摩擦とは同一ではなく、又他の物質即ち異つた壁面に接した場合とも相異した結果を示すものであるから、この實驗に依つて得た結論も全く申し分なきものとは云ひ難い。

Emil Gerber 氏("局部的に載荷せる砂の壓力分布" Zürich 1935)は約 20cm の厚さの砂層の中に飛彈を混入し鏽鐵の版を載せて沈下 8mm 每にレントゲン線に記録した。その結果は深さ  $2r$  ( $r$  は載荷版の半徑)以上では何等の移動が認められないと云ふ結論に達した。荷重の影響は主として表面の附近及び深さ  $r$  の近傍で

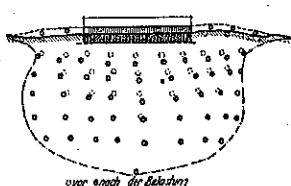
著しく、それ等の内部に於ける移動の狀態は第1圖に示す如くである。圖中の陰影を附した小圓は移動した鉛彈を示し、其の影響範囲は  $45^\circ$  に引いた2本の點線の内に限られてゐる。(小圓の中ハッヂ無きものは載荷前の位置で黒き圓は移動後のもの)、境界面の上側では鉛彈は上方に移動せるを示し、この間隔も應張力が生じたかの如くに見える。著者の行つた實驗では Gerber 氏の如き結果を示す様には見えない。此の場合には容積  $20 \times 20 \times 20$  (cm) の木製試驗函を用ひ、試驗體としては石英砂、小麦、玉蜀黍、燕麥等を使用した。第2圖が試驗装置である。

照明には Siemens の X 線裝置を用ひたが、20cm の砂層を透射するには相當の強力な光線が必要であつた。試驗體の移動の目標としては最初は粒狀鉛彈、次には鉛の箔、最後には鉛で被覆した粒狀導體を使用した。X線は上方及び側方から照射して寫真に撮つた。この結果は同一荷重の下では粒狀鉛が最も大きい移動をなす事を示し(第3圖)。

第2圖

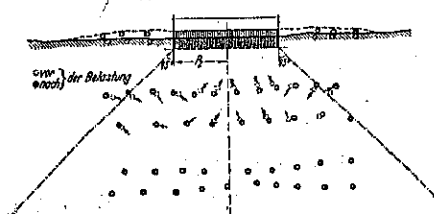


第3圖



鉛箔では大約 70%、粒狀の電氣的導體では 50% の移動で、比重の差違に起因するものと見てよく、又移動は砂層では穀粒より少く、燕麥で最大であつた。之れを要するに著者の實驗では粒狀物質に於ては—例へば石英砂、穀粒、玉蜀黍等—既に深さ  $2r$  に於て少しの移動も認められず、而も移動の大部分は荷重作用面から 0.8r 附近に於て生ずると云ふ事を示してゐる。(糸川一郎)

第1圖



### 粘土中に於ける氷結圧測定

(“Ice-Pressure Determination in Clay Soil.”)  
E. N. R. July 25, 1935, p. 127.

氷結土中で氷の結晶が増大する際に生ずる壓力に対する興味ある問題が Harvard 大學の Arthur Casagrande によって發表された。この結果は同大學の土性實驗の廣範なる研究によつて生れたものである。

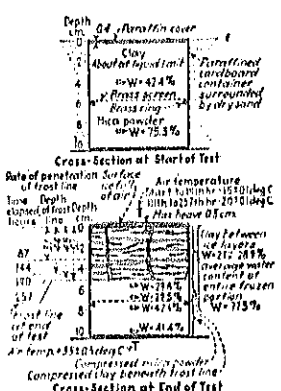
この特殊な實驗は第 4 圖の如き閉鎖箱内で行はれ、その下部には雲母粉を、上部には Boston 黒粘土を液状限界にして入れた。箱の底部の溫度は常に  $3.5^{\circ}\text{C}$  であるが供試體の上は  $-1.0 \sim -7.5^{\circ}\text{C}$  である。第 4 圖に示す實驗では溫度は  $-2.0^{\circ}\text{C}$  に保ち、供試體中に氷結線の侵入終

るまで續けた。次に箱を取出し供試體を三分し、氷結狀態を研究して、最後に幾多の小片に分つて水分の分布狀態を見た。

最初の含水量は 42.4% であったものが、冰結後には氷層間の粘土の水分は平均 27.5% に、氷層の下の粘土は 29.0% になつた。又雲母層中の水も多量に引出された。即ちその容積は約 1/4 を減じ、水分は 75.3% から 41.7% となつた。氷層の總厚は冰結部の厚さの約 1/3 であつた。

氷結線の侵入狀態は非常に緩徐であった爲に、可成多量の水分が下から氷結層に吸ひ上げられた。この速度を大にすると水分の上界量も減少する。もしこの速度をある程度まで早めると全體の水は水の形に分離して氷層の間に粘土から離れる。その結果氷結部は一定水分となる氷層間の粘土は  $-1.0^{\circ}\text{C} \sim -2.0^{\circ}\text{C}$  ではその細孔水分は粘土し

第 4 圖 氷結試験前後の狀態



Cross-Section at Start of Test

Compressed surface layer

Compressed layer beneath frost line

Cross-Section at End of Test

ないため塑性である。

固結試験（密閉狀態で壓縮）もこの實驗に用ひた粘土と雲母粉により行はれ、壓力の測定を行つた。これらの實驗の結果をまとめて溫度と壓力の關係を表はしたもののが第 5 圖である。溫度及水分の測定は可成の變化があるので、その結果は粗形で表はしてある。即ちこの範圍内の實際の値が存在してゐなければならぬ。

この實驗によれば結晶壓は一定でなく、直線的に増大する。No. 5a 及 No. 5b の値は他のものより急速に行はれたもので、氷結作用が未だ平衡狀態に達してゐないことを示してゐる。現在は實驗も進み、溫度と結晶壓の關係も更に精しくなつてゐる。

粘土中にはその塑性のために氷結が充分機會に行はれるならば氷の分離が幾分必ず生ずることは確かである。

(傍説一説)

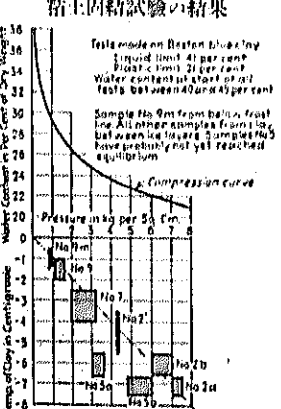
### 電氣的及び音響學的地質探査法

(E. R. Shepard “Searching for Foundation Beds by Electricity and Sound.”)  
E. N. R. Aug 15, 1935, p. 238~239.

電氣的抵抗に依る地質調査法は既に數年前より道路の建設や沼澤地の埋立工事等に廣く利用され、好適なる砂利層及び石材の存在範囲を決定する上に役立つてゐる。振動法に依る地質調査法は油田の探査や鉱山方面で廣く用ひられて來たものであるが、一般の工事に際しても比較的遅い地盤の調査に好都合である。

1. 電氣的抵抗に依る法：土の電氣抵抗の測定には各種の器具が用ひられてゐるが、何れもオホ式原理に立脚するもので、或る強さの既知なる電流を適當の距離に配置した極の間に流し、中間の各極に就いて極の間隔とその平均抵抗を測定する。而して漸次に極間距離を増大して測定を反覆し、深度と抵抗との間の曲線を描る。抵抗を輻軸に極の距離を横軸に取ると、上向きの曲線は深さと共に抵抗の増加するを示し、若然又は砂利層等の抵抗の大なる物質の存在する事を示す。之れに反して曲線が平坦か又は下向きの場合は地層は粘土又は土壤なる事を示し、曲線が滑らかなる時には地層が極間距離と大體同じ深さの所で不連續的に變化せる事を示す。

以上の實測は多くの人々が種々の報告をしてゐる。 Sharper 及び Furnish 氏は道路工事上に用ひ、 Kuntzmeier 氏は石山等に於ける石理や剝皮の厚さの測定及び地下に埋存する砂利層、沼澤地上層の堅密に到る深



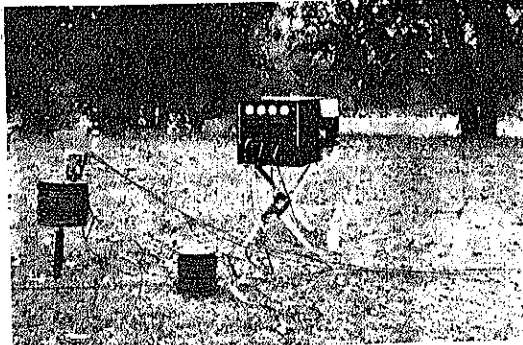
き等の決定に使用した。最初の4極式方法の應用は Mc. Collum 氏が行つたもので地下に於ける迷走電流(stray current)の電解を研究に利用した。この時の地中電流測定器は3個の乾電池、電流計、轉換器、電壓計(1ボルトに就き1 000 000 オームの抵抗を有する)から成るもので、轉換器の目的は週期的に電流の方向を變じて成極、流電氣電位及び外部的迷走電流を消去するにある。

カーネギー研究所の Gish 氏は上記の測定器を改良して電流轉換器を正確なものとし、高抵抗の電壓計の代りに電位計を用ひ、更に大地と電位計間の各電流の通路を閉鎖する爲に回路中に蓄電器を挿入した。この種の裝置は地文學方面で廣く使用されてゐる。

他の型式としては通常“Megger”と稱する抵抗計がある。これは最初は電力地點の大地抵抗等を測定する爲に作られたものであるが、或る條件の下ならば地表下の地質探査にも使用し得る。

米國道路局で行つた電氣抵抗に依る地質調査の裝置は第6圖に示す如くで之は地表下の地層傾斜の測定に

第6圖 電氣抵抗に依る地質調査實驗裝置



使用したもので、中心電極と之の兩側に配置した電極から探る方法である。電流計電位、迷走電流等の影響を消去する爲讀みは大地中に流した試験電流と共に求めた。通常は技術員2名に助手2名で1日に10~20個所の浅い地層の調査が出来る。約1年に亘る實測の結果によると或る限られた地域内に於ても土壤及び岩石の雙方共、その抵抗は非常に廣範囲に動き、殊に地殻にあつてはこの間に均一性や規則正しさが全くない事が判明した。従つて斯様な場合の抵抗測定の結果に對する解釋は極めて曖昧な不正確なものとなる故に、出來得る限り既知の狀態の數値と相關せしめて行く事が必要である。

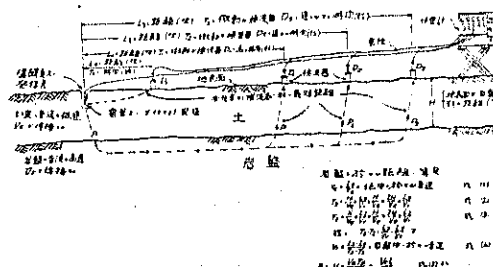
Washington 附近で行つた調査の結果は上の測定結果が充分に細緻土質、橋梁基礎の地質の識別に利用さ

れ得る事の可能性を立證してゐる。

2. 振動法 振動法或は地震法と稱するものは抵抗法とは全く異なる原理の上に立つもので、技術的に直接關連せる性質例へば土の剛性等に關係する。即ち砂、粘土、砂利等の非剛性體は音波の傳達に對して障礙を與へ、岩盤、其の他岩石等では秒速10 000~20 000 呴の振動波が前者では1 000~6 000 呴になる。振動法はこの性質を利用したもので、地震計は故にそれ自體抵抗法より正確な譯であるが唯粘土、粗砂、砂利等の各層間の識別が後者より判然としない憾みがある。この兩者間の主なる差異は前者に於ける發信距離を小とする事にある。即ち通信用の電話及び之に附隨する各器具等を不要とし少量の爆破薬を1~2 kgの徑の螺旋鑽中に裝填し、之に依つて深い地中の鑽孔用具を不要とせしめ、且つは短距離發信では精密にして鋭敏な器具は必要でないから、從つて擴大裝置その他をも除去する事が出来る。

以上の各項を考慮して三元式自記振動計、撮影器械、微音檢波器等を組合せて、第7圖に示す様な調査を行つた。荷附屬器具としては2個の三脚椅子、4呴の螺旋鑽

第7圖



旋鑽1本、乾電池4個、蓄電池2個、水槽1個で、3人で10分間に組立て得る。

第7圖の右にある檢波器は微音機式の少しの障礙により抵抗を非常に大きく變化する極めて感度の高いものである。調査の單純と運搬の容易を第一義的要素とする淺い地盤の検査にはこの種の裝置が最も適當する。

電流計は捲線式で直流の感度は偏位1時に對し4ミリ・アンペアで、非制動周期毎秒1200サイクルである。更に小さな反射鏡を油の中で制動し得る様裝置してあり、是等の光學的關係は25アンペア、4ボルトの直線フィラメントより出る光線は電流計の鏡に反射し寫眞フィルム上に像を結ぶ様になつてゐる。

時間々隔は毎秒100サイクルの週期で振動する歯齒の隙間から出る光をフィルム上に刻して映像との時間的關係を定める。

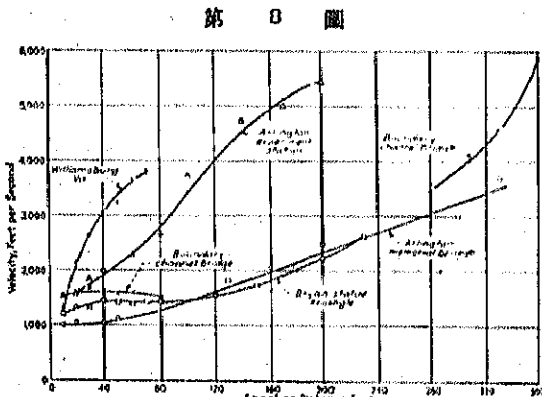
振動式地質検査法には反射發信法と屈折發信法の2種があるが、屈折發信法の原理は第7圖に示す如し、雷管又は少量のダイナマイトを或地點Sの地中に装置し、是れが波動の中心となつて各方向に球面状に振動を發する。雷管の周囲に巻いた捲線が切斷して3個所の電流計に最初の衝撃を與へ、爆破の時刻が同時に3個所に記録される。

検波器に到る道筋は發信距離 $L$ と深さ $H$ の比及び2つの媒質間の波動傳播の相對速度に關係する。若し發信距離 $L$ が比較的小さいと $D_0$ に達する道は圖の如くである。従つて土中の音波の速度を計算する事が出来る。發信距離が段々増大して來ると例へば $D_0$ に於ては最初に到達すべき波動は最早直後に上層の土壤を傳播したものではなく、屈折波 $SPP_{nD_0}$ である。同様に $D_0$ に達する最少時間の道は $SPP_{nD_0}$ で、この時間の差 $T_0 - T_0'$ と距離の差 $L_0 - L_0'$ を測定すれば岩盤に於ける音波の傳播速度を求め得るから最後に第7圖に示す $H$ の値が判明する。

若し上層を傳つた直接波と $SPP_{nD_0}$ なる屈折波とが同時に検波器に達する場合にはこの發信距離を限界距離と云ひ、 $L$ は餘り限界距離を超過せぬ方が良い結果が得られる。通常の場合の $T_0$ 及び $T_0'$ に對しては $H = 0.45L$ 又は $L = 2.3H$ で $L$ は限界距離である。

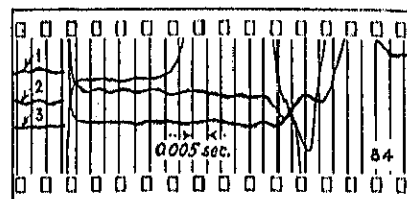
上式で與へる $H$ は發信點と検出點の $H$ の平均値である。又検出點の列を反対方向に置いて發信を行へば地下層の傾斜を求め得る事となり、圓錐状に置けば地表面下の地層の規則正しさを知る事が出来る。この場合には圖の中心を發信點とし圓弧上に3個以上の検波器を配置し、半径は限界距離より大とする。

$H$ の値の制度は主として $T_0$ の値の選擇如何に關係するもので、多くの場合 $T_0$ の値は深さと共に増大する



第8圖

第9圖



Shooting distance  $L_1 = 50$  ft,  $L_2 = 100$  ft,  $L_3 = 150$  ft

Time of wave travel from shot to detectors;  
 $T_1 = 0.0355$  sec,  $T_2 = 0.071$  sec,  $T_3 = 0.074$  sec.

Vel. of wave in earth  $\frac{L_1}{T_1} = \frac{50}{0.0355} = 1400$  ft per sec.

$V_r = \frac{L_1 + L_2}{T_1 + T_2} = \frac{50}{0.071} = 16,700$  ft per sec.

$V_r = \frac{V_e \cdot V_r}{V_e + V_r} = \frac{1400 \times 0.074}{1400 + 0.074} = \frac{1400}{1400.074} = 1400$

Hor. depth to rock  $\frac{H}{2} = \frac{1400}{2} = 700$  ft

$H = \frac{1400}{2} = 1400$  ft

Hor. depth to rock  $\frac{H}{2} = \frac{1400}{2} = 700$  ft

Hor. depth to rock  $\frac{H}{2} = \frac{1400}{2} = 700$  ft

Hor. depth to rock  $\frac{H}{2} = \frac{1400}{2} = 700$  ft

ものであるか式中に使用すべき $T_0$ も表層の値と下層の値の平均値を用ひるべきである。第8圖は $T_0$ を定むべき數種の速度距離曲線を示し、第9圖はMemorial橋の岩盤の深さの調査記録である。この時は發信點より各々 50, 100 及 150 尺の 3 個所に検波器を置き、限界距離は大略 100 尺と見取された。(糸川一郎)

#### 4. 水理

##### 流速分布を考慮せる時の流水の諸條件

(II. Lauffer, "Wasserspiegelhöhe und Fließzustand bei Berücksichtigung der Geschwindigkeitsverteilung," Berlin, 1935  
 Aug. 10, B. 353~350.)

以下に用ふる記號の大要を列記すれば

$v$ …流速,  $v_m$ …平均流速,  $H$ …勢力水頭,  $L$ …水深,  $q$ …単位幅當りの流量,  $I$ …断面積,  $K$ …衝力線の高さ

(1) 流水の一断面に於ける勢力式は平均流速を用ひれば次の様に表はされる。

$$H = I + \alpha \frac{v_m^2}{2g} \quad \text{但し } \alpha = \int_0^K \frac{1}{F} dF / v_m^2 F$$

$v_m = q/L$  であるからこの式を書き直せば

$$I = H^2 + \alpha \frac{q^2}{2g} = 0$$

故に勢力水頭  $H$  が一定なる時に  $q$  が最大となる様な水溜は

$$I_{\max} = \frac{q}{3} H \quad \therefore q_{\max} = \sqrt{\frac{q}{3}} \left( \frac{2}{3} H \right)^{\frac{1}{2}}$$

(2) 次に任意の断面に於ける衝力線(Implaudline)の高さ  $K$  を計算すれば

$$K = \int_0^F pdF + \frac{\gamma}{g} \int_0^F v^2 dF$$

$$= \frac{\gamma l^2}{2} + \frac{\gamma}{g} \beta v_m^2 l \quad \text{但し } \beta = \int_0^F v^2 dF/v_m^2 F$$

$$\therefore K = \gamma \left( \frac{l^2}{2} + \beta \frac{q^2}{gt} \right)$$

一定流量  $q$  に対して  $K$  の最小になる様な水深は

$$t k_{\min} = \sqrt{\frac{\beta q^2}{g}} \quad \therefore K_{\min} = \gamma \frac{3}{2} \left( \frac{\beta q^2}{g} \right)^{\frac{3}{2}}$$

(3)  $\alpha$  及び  $\beta$  の決定法に關して Rehbock の用ひた方法は流速分布が直線的變化なるものとして之を  $\eta$  にて表はし

$$\epsilon = (\bar{v}_{\max} - v_m)/v_m$$

と置けば  $\alpha = 1 + \epsilon^2$ ,  $\beta = 1 + \frac{1}{3} \epsilon^2$  が得られる。

(4) 上に述べた 2 つの場合に於ける Troude 数  $F_r = v_m / \sqrt{gt}$  を計算すれば次の様になる。

$$q_{\max} \text{ の時は } F_r = 1/\sqrt{\alpha}$$

$$K_{\min} \text{ の時は } F_r = 1/\sqrt{\beta}$$

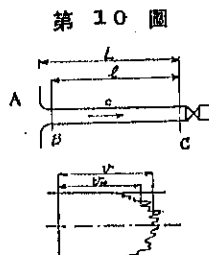
(本間 仁)

### Gibson の流量測定法の精度に就て

(D. Thoma, "Concerning the Degree of Accuracy of the Gibson Method of Measuring the Flow of Water," Transaction of the American Soc. of Mech. Eng., July 1935, p. 203~211.)

Gibson の流量測定法は管水路に對して用ひられる方法であつて、この管水路の水流を停止した時の壓力上昇によつて流速を測定する。即ち定流状態にて或る時間流した後ターピンの瓣を徐々に閉じて壓力の時間的變化を記録する。最初の流量と瓣の閉ぢられた時の漏水量の差は壓力曲線から讀む事が出来る。而して漏水量は特別の試験によつて充分の精度を以て測定して置く事が出来るから瓣の開放状態に於ける流量が知られる。Gibson 法に於て誤差の原因となるものは次の 4 種が考へられる。

- a) 副流の存在
- b) 摩擦の取扱方に於ける誤差
- c) 摩擦測定用の水銀柱の摩擦
- d) 水銀柱の慣性



第 10 圖

先づ第 10 圖の如き管内の流れを考へれば摩擦抵抗を無視せる時の基本方程式は

$$p_A - p_C = \frac{\gamma}{g} J_c \frac{dc}{dt} + \gamma \frac{c^2}{2g} \quad \dots \dots \dots (1)$$

但し  $p_A$  及び  $p_C$  は夫々 A 及び C に於ける壓力,  $c$  は管内の流速である。

次に摩擦のある場合を考へ BC 間の運動量を  $J$ , B 及び C より出入する運動量を  $i_B$  及び  $i_C$  とすれば

$$\frac{dJ}{dt} = \frac{di_B}{dt} - \frac{di_C}{dt} + \sum P \quad \dots \dots \dots (2)$$

管の断面積を  $f$ , BC の長さを  $l$  とすれば

$$\frac{dJ}{dt} = \frac{\gamma}{g} fl \frac{dc}{dt}, \quad \frac{di_B}{dt} = \frac{\gamma}{g} fc^2$$

流速  $c$  は任意の瞬間に於て圓の様な分布狀態にあるのみならず時間的にも絶えず變動がある。故に或る瞬間の流速を  $v$ , その平均流速を  $v_m$  として

$$v = v_m + v'$$

$$\frac{1}{dt} \int_{dt} v'^2 dt = v'_m^2, \quad \frac{1}{f} \int_f v'^2 df = v_H^2$$

と置けば次の形が得られる。

$$\frac{dC}{dt} = \frac{\gamma}{g} fc^2 + \frac{\gamma}{g} fv_H^2 + \frac{\gamma}{g} fv_L^2$$

故に BC 間の摩擦抵抗を  $R$  にて表はせば (2) 式より

$$\frac{\gamma}{g} fl \frac{dc}{dt} = - \frac{\gamma}{g} fv_H^2 - \frac{\gamma}{g} fv_L^2 + f(p_B - p_C) - R \quad \dots \dots \dots (3)$$

瓣を閉ぢる前の  $c$  及び  $R$  の値を  $c_0$  及び  $R_0$  とし

$$R : R_0 = c^2 : c_0^2$$

と假定すれば (3) 式は更に次の形となる。

$$-\frac{dc}{dt} = \frac{g}{\gamma L} \left[ (p_A - p_A) + \frac{\gamma}{g} (v_H^2 + v_L^2) + \frac{c^2}{c_0^2} \times \left( (p_A - p_A) - \frac{\gamma}{g} (v_H^2 + v_L^2) \right) \right] \dots \dots \dots (4)$$

尾字 0 を附したもののはれも最初の値を示す。Gibson 法にては流速と壓力の關係式として

$$-\frac{dc}{dt} = \frac{g}{\gamma L} \left[ (p_A - p_A) + \frac{c^2}{c_0^2} (p_A - p_A) \right] \dots \dots \dots (5)$$

を用ひてみると (4) 式との差は副流による誤差となる。尚摩擦抵抗が流速の減じつゝある時に定流時と同様に作用するものとすればその爲の誤差が含まれる。

次に實際の壓力  $p$  と水銀柱の讀み  $p'$  の關係は

$$a \frac{d^2 p'}{dt^2} + b \frac{dp'}{dt} + p' = p$$

但し  $a$  は係数,  $b$  は摩擦係數である。 $\log \psi = \frac{k}{2a} T$  ( $T$  は水銀柱の運動の週期) と置けば壓力が  $p_i$  より  $p_o$

に變化する時の摩擦力は  $\frac{T \log \psi}{2\pi^2} (p_1' - p_0')$  となる。水銀柱の慣性は  $\frac{1}{2\pi^2} \left( \frac{T}{T_f} \right)^2 \frac{p_{10} - p_m}{p_m}$  にて表はされる。但し  $T_f$  は瓣の閉止するに要する時間、 $p_m$  は (5) 式の右邊括弧内の平均値である。

之等の式を用ひて上述の  $a$ ,  $b$ ,  $c$ ,  $d$  の 4 種の原因に就て起り得る誤差の範囲を計算した結果は

- a)  $-1\%$ , b)  $+1\%$ , c)  $-0.5 \sim -1\%$ ,
- d)  $+1 \sim +0.01\%$

尙ほ之に對して Gibson 氏は同誌上に "Experimental and Practical Experience with the Gibson Method of Water Measurement" (p. 218~228.) なる論文によつて Thoma 氏の計算に對する討議を行ひ、實驗の結果は Thoma 氏の言ふ如き程度の誤差は到底現れない事を示してゐると述べた。 (本間 仁)

## 6. 材 料

### 金屬の Creep limit に就て

(山室宗忠 "On the Existence of a Creep Limit" 航研報第 129 號)

金屬の棒状試験片に引張り應力をかけると、應力の大きなものでは、短時間内に歪が大きくなつて破壊されるが、應力が或範圍内だと、歪は大きくなるが、破壊されない。この歪にある限界があるかと言ふ事について、色々の人が測定してゐる。Dilekson は數本の試験片にある一定の應力を掛け實驗温度を種々にかけて試験し、Kerr は、溫度とその應力の下で破壊される時間の間に雙曲線的關係のある事を出した。即ち、ある限界溫度以下では、其の應力の下では永久に破壊されないと言ふのである。だが、中々漸近的にならぬから creep limit が必ずあるとは思はない。Rohn は、ある limit で creep が止まる事になる事を示したが、これもありその實驗だけではつさりしてゐない。Bar and Bardgett は、矢張り Rohn と同様の結果を得たが、満足出来ない。creep test の strain-time 曲線を見ると、或る時間たつと變形速度が最小になる。Clark and White は、stress と minimum creep rate の對數を圖で示すと直線になる事を見た。この結果から見ると、creep limit がないと言つた方が良い様である。非常に長い時間や

~實驗の結果は種々あるが結果が一定してゐない。

は creep が止まつた事がないと言つてゐる。

te が減少するのは、加工硬化であるが、これ

のみならば creep が止まるか、creep rate が一定にならねばならぬ。との場合に、荷重が一定ならば、金屬が流れて行くに従つて面積が少くなるから、原子同志の cohesive force より應力が小さくなると破壊する譯だが、實際は、もつと小さい stress で破壊するから、加工硬化の機構と共に破壊機構を併せ考へねばならぬ。

著者は、Beilby の非結晶説、Rosenhain の結晶格子の distortion 説、Zwickly, Smekal のモザイク説、Geiss, van Lennep の原子の distortion の説等で考へたが、creep limit の存在をこれ等の説では説明出来ぬ様であった。

又最近の G.I. Taylor の説によると、計算では、結晶格子の解子列が普通の狀態では、滑るため非常に大きな stress があるけれども、若し結晶の中に小数の dislocation があると假定すれば、其の stress も小さくなる。strain-hardening は滑りが起ると共に dislocation が増すから、一つの dislocation と次の dislocation の距離が小さくなることから起るお互いの相互作用の爲めとされてゐるが、この説では、安全度は、時間と共に dislocation が減るか如何かによる。この説によつても creep limit があるか否かは分からぬ。むしろないと言つた方が良い。著者の考へでは、金屬が變形すると、結晶面で滑りを起し其の滑りの止つた處に stress が集中される (Taylor の説)。すると stress の分布が變る。即ち變形すると、stress concentration が起ると共に他に分布される stress intensity が減る。其の結果、結晶面を滑らず stress が小さくなつて終點には至らなくなる。著者は strain-hardening の機構は此のつだとは思はないが、creep test の終りになると此の影響は可成大きくなると思ふ。この説によると、結晶面に働く stress intensity は stress concentration を受けた場所が其の stress を relax する迄は増せない。つまり、滑らずに破壊作用を弱くするから破壊から段階離ざかる。

故に破壊に施しない限り strain-hardening の機構が増すから creep は止まる事になり、creep limit は存在する事になる。 (最上武雄)

## 7. コンクリート及鉄筋コンクリート

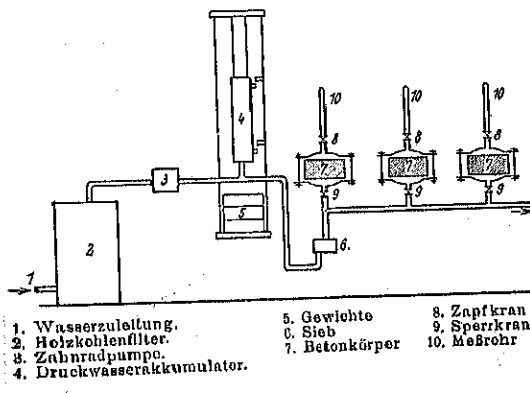
### コンクリート強度並密度に及ぼす 混和剤の影響

(Haavardsholm, "Einfluß hydraulischer Zusätze auf die Festigkeit und Dichtigkeit von Beton," B. u. E. 5 Aug. 1935, S. 236~241.)

諸威の Stavanger 市では高さ 60 m のコンクリート堤堤による發電所を計畫した。堤堤コンクリートのセメントには混和剤を加へる事になり、之がコンクリートの強度密度及び水密性に及ぼす影響を明らかにした。

此の試験に用ひられたセメントはポートランドセメントにして微細度の高きものとし、砂は附近に産するものを利用し、砂利は碎石を使用した。セメントの混和剤は硫酸・石灰・煉瓦及び其の混合物の粉末である。耐壓試験に用ひたモルタル試験體は 10 cm 角の正立方體にして 48 時間の蒸気養生を行ひ、コンクリート試験體は 20 cm 角の正立方體にして 2 曜夜の後に型枠を取除く。コンクリートの水密試験は試験體を徑 15 cm の圓柱に

第 1 圖 コンクリートの水密試験装置



1. Wasserzuleitung, 5. Gewichte, 8. Zapfkran  
2. Holzkohlenfilter, 6. Sieb, 9. Sperkkran  
3. Zahnraddpumpe, 7. Betonkörper, 10. Meßrohr  
4. Druckwasserakkumulator.

第 1 表

	Zement je m <sup>3</sup> Beton kg.	Mörtel- dich- teig- keits- grad	Sickermenge Mittel von 12 Wochen in cm <sup>3</sup> je m <sup>3</sup> und Stunde	Festigkeit in kg/cm <sup>2</sup>		Festigkeit in kg/cm <sup>2</sup>	
				Mörtels nach Monaten	Beton nach Monaten	1	6
Ohne Zuschlag.							
1:2:4	311	1,3	22	578	765	280	455
1:2,5:4	286	1,14	1,8	495	600	255	385
1:3:5	236	0,99	58	430	523	228	323
Mit 0,6 Teilen Ziegelmehlzuschlag.							
1:0,6:2,5:4	260	1,68	0	506	667	268	445
1:0,6:3:5	214	1,44	0	459	622	198	371
1:1,0,6:4:6	178	1,24	6,7	350	505	152	254
Halbe Zement durch Linkalk ersetzt.							
0,5:0,5:2:4	154	1,4	1,3	875	532	176	208
0,5:0,5:2,5:4	117	1,17	50	510	450	142	180
0,5:0,5:3:5	94	1,02	184	266	382	110	150

\* 1 Linkalk = 0,2 Ziegelmehl + 0,4 Hüttenzinkenmehl + 0,4 Kalkkreide.

作り、第 11 圖の如き装置を用ひて 6 気圧に相当する水壓をかけ圓柱の透水量を測定す。

多數の實驗より得たる強度並密度試験成績は第 1 表の如し。

第 1 表により前記のセメント混和剤は一般にコンクリートの密度を高め、且コンクリートの水密性はセメントの配合率によるものではなく、(セメント+混和剤)の配合率による事を知る。  
(米屋秀三)

### 破壊状態を基とした鐵筋コンクリート梁計算法

(E. Bittner, "Zur Klärung der n-Frage bei Eisenbetonbalken," B. u. E. 20. Juli 1935, S. 236~238.)

鐵筋コンクリート梁に於ける "n" の意義に就ては從來多くの論議が繰返された。すべて計算は、使用荷重に依る實際の應力を算出するものであると言ふ見地からすれば、 $n = E_s/E_c$  としてよい。此の場合、 $E_s$  は殆んど一定であるから  $n$  は結局コンクリートの品質のみに依つて變化する値になるが、普通は  $n=10\sim15$  として計算を行へばよい。

然し此の考へ方は、現在に於ては殆んど支持するものなく、大多數は、すべて計算は實際の應力を求むるのではなく、破壊に對する安全度を驗べるべきであると言ふ說に一致して居る。此の見地からすれば、計算はすべて部材の破壊狀態を基準として行ふべきであつて、從つて  $n$  は破壊時に於ける應力と歪とを基準とした。

$$n = \frac{\sigma_s/e_s}{\sigma_c/e_c}$$

の値にしなければならない。然るに破壊時に於ける之等の値は未だ充分にはわかつて居ない。假令之が判つたとしても、上式の如くコンクリートのみならず鐵筋の品質に依つても  $n$  の値が變化するから、今まですべて  $n=15$  若しくは 10 として求められた數表又は圖表を使用することが出來なくなる。從つて前記の如く、破壊狀態を基準として計算を行ふには、從來の "n" の概念を離れ、全く  $n$  を含まないやうな新しい見地から出發しなければならない。

Saliger 教授の壓縮鐵筋を有する鐵筋コンクリート梁の實驗 (Versuche mit druckbewehrten Balken, B. u. E. 1935, Heft 1 u. 2) に依ると、破壊狀態に於けるコンクリートの壓縮部分の狀況が可成り明かにされ

た。此の結果から考へると、梁の圧縮部分の破壊時に於ける應力の分布は直線的でなく、中立軸から 1.5% の歪が起るまでは曲線狀であつて、それから上は大體に於て一定の値と考へることが出来る（第 12 圖）。此の矩形狀分布の部分の應力の値は、中心軸方向應力荷重を受けるコンクリート柱の破壊強度  $\sigma_p$  に等しいと考へてよい。

今、梁を幅  $b$  の矩形梁とし、第 12 圖に就てコンクリートの應力分布圖の面積を  $\alpha \cdot x \sigma_p$  とすると

$$\begin{aligned} C = b \alpha x \sigma_p &= \sigma_p \alpha k b d, \quad x = kd \\ T = \sigma_s A_s &= \sigma_p p b l, \quad p = A_s / bd \end{aligned} \quad \left. \right\} \quad \dots \dots (1)$$

になり、梁が破壊するときの曲げモーメント  $M$  は

$$\begin{aligned} M = Cz &= \sigma_p \alpha k (1 - \varphi k) b d^2 \\ \text{或は } \frac{M}{\sigma_p b d^2} &= \alpha k (1 - \varphi k) \end{aligned} \quad \left. \right\} \quad \dots \dots (2)$$

になる。また平面であつた斷面は變形後も平面であると假定すると、鉄筋及びコンクリートの歪  $e_s$  と  $e_c$  の間には

$$e_s = e_c - \frac{1-k}{k} \quad \dots \dots \dots \dots (3)$$

の關係が成立する。更に  $C = T$  とすると式 (1) から

$$p \sigma_s = \sigma_p \alpha k \quad \text{或は} \quad \frac{p}{\sigma_p} = \frac{\alpha k}{\sigma_s} \quad \dots \dots (4)$$

が得られ、之等の諸式に依つて所要の計算を行ふことが出来る。

コンクリートが破壊するときの歪  $e_c$  は一般に 3~7% であるが、然しそとコンクリートの品質との關係が明かでない今日に於ては、そ

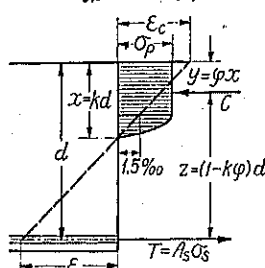
第 2 表

$e_c$	$\alpha$	$\varphi$
36/00	0.833	0.425
60/00	0.000	0.452
79/00	0.927	0.405

歪 1.5% 以下の部分の應力の分布を拋物線狀と假定すると、第 2 表の如くになる。

上記の考へ方を實際の斷面設計に應用する場合には、コンクリートの應力分布圖を矩形と假定すると、式は簡単となる。即ち此の場合には  $\alpha = 1.0$ ,  $\varphi = 0.5$  になり、

第 12 圖



$$k = \frac{p \sigma_s}{\sigma_p}, \quad \frac{M}{b d^2 \sigma_p} = k \left( 1 - \frac{k}{2} \right) \quad \dots \dots (5)$$

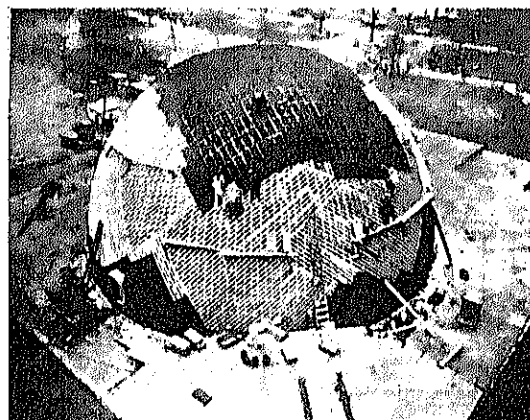
になる。(福山武雄)

### 紐育市惑星儀の薄殻コンクリート・ドーム

(P. F. Pape, "Thin Concrete Shell Dome for New York Planetarium," and R. L. Bertin, "Concrete for the Planetarium Shell Dome," E. N. R. July 25, 1935, p. 105~109.)

完成近い New York 市のアメリカ博物館の新 Hayden 惑星儀は地上 2 階、地下 1 階の建物に天文博物館、太陽系模型の陳列室及び惑星儀教室を入れる設計であるが、その惑星儀教室は 2 階にあつて直徑 78ft の廣さがあり 750 人を入れ得る。直徑 75ft の半球幕をコンクリート・ドームから吊し、之に人工天を投影する。コンクリート・ドームは直徑 80ft に及び、厚さが非常に薄い所に興味がある。その内面は音響學上から厚さ  $1\frac{1}{2}$  in の石綿 (rock cork) 絶縁層を有して居る (第 13 圖)。

第 13 圖 Hayden 惑星儀のドームの石綿絶縁層の施工



此の地點は昔池を埋立てた箇所である為、地盤の不良な事は豫め明瞭であつたが、豫算の關係から試験を行ふ事が出来なかつたので、経験から得た大體の概念に基き、擴大基礎の設計とし、荷重を廣く分布し不同沈下を避けんとした。然るに實地施工に當り  $1\frac{1}{2}$  in/l.<sup>2</sup> の荷重にも堪へ得ない事を知つたので結局杭打基礎を用ひ岩盤に達せしめる事になつた。

埋立てた部分は大小不同的の岩石で、杭を打込む事が出来ないので、杭冠の大きさに相當する丈の坑を掘り、之に砂を填充してから杭を打つた。杭は鋼套に 1:2:4 のコンクリートを填充したもので、その長さは 12~45 ft で

あつた。

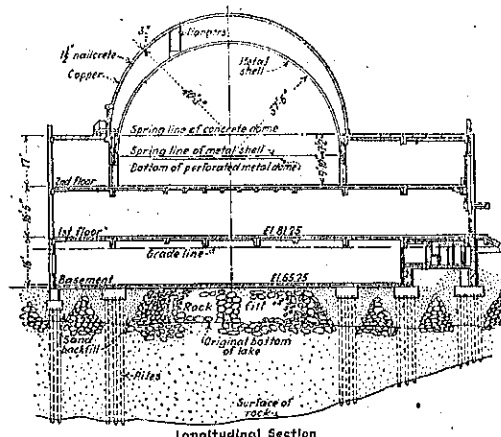
建物の骨組はドーム及び教室に依り非常な影響を受け、内側の 2 組の柱は八角形の配置とした。又教室の圓形隔壁と陳列室の八角形隔壁との間の空間は種々の導管を通すのに役立つた。1 階及び 2 階の骨組の平面は大體似てゐるが、1 階は限石を陳列する爲夫々 40t の荷重に堪へる構造にした。

床は 100lb/ft<sup>2</sup> の活荷重に對し設計し厚 4in の鋼筋シンダー・コンクリート、厚 4in のシンダー顛材及び厚 1in のセメント仕上げからなる。

ドームを支へる屋根の骨組は八角形をした高さ 36in の I 柱鋼よりなり、溝形鋼及び突筋により補助され、之等を 1:2:4 のコンクリートで包んだものである。

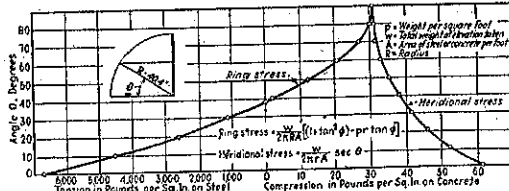
ドームは半球形で、内側半径は  $80\frac{1}{2}$  ft、薄殻コンクリート・ドームとしては最も大きなものである(第 14 圖)。

第 14 圖 Hayden 惑星儀ドームの構造圖



ドームは總て起拱線にはじまり頂點を通る無数のアーチに分ける事が出来る。箇々のアーチの壓力線は殻の中心から離れんとし、曲げモーメントを生ぜんとする。對稱荷重の場合には同じ作用が總てのアーチに生じる。從つて殻の任意の水平面内に於て引張力又は壓縮力を生じる。即ち子午線壓縮應力に直角な環應力がドーム中に生ずる事となり、その爲應力線が各點に於て

第 15 圖 コンクリート・ドームの應力の變化



殻の中心に保たれ、曲げモーメントを生じなくなる。從つて球形ドームは非常に強度が大である。

Hayden 惑星儀のドームの應力の大きさ及び變化を第 15 圖に示した。之は死荷重 55lb/ft<sup>2</sup> に対する子午線壓縮應力及び環應力を示したものである。環應力はドームの頂點近くでは壓縮であるが、約 30° から引張に變る。起拱線に於ては應力線は垂直となり、支點に水平推力を及ぼさない。

風荷重は兩側に夫々 15lb/ft<sup>2</sup> の應力又は吸引を考へた。

コンクリート及び鋼筋の最大應力は第 3 表の如くである。

第 3 表

	コンクリート	鋼筋
死荷重	61.6	6700
雪荷重	33.6	3700
風荷重	16.8	3700
最大應力	112.0lbs/in <sup>2</sup>	14,100lbs/in <sup>2</sup>

ドームの殻の厚さは上部では 3in であるが、起拱線から 9ft の箇所で  $3\frac{1}{2}$  in、 $\frac{1}{2}$  ft の箇所で 12in とした。大體殻の厚さは計算よりも厚くし、殊に支點の不等沈下の影響を少くする爲、起拱線を特に厚くした。ドームの殻は配合 1:3:1 の射着モルタルで、その上にネイルクリートを施工し更に銅板で葺いた。

即ち子午線木肋は間隔 8ft. 4in の  $3\frac{1}{2}$  in の管よりなる水平環で支へた。

管は剛性大であり、又連結が容易である爲用ひられた。工場に於て所要の形に曲げたものを現場で組立て、有孔钢管に依り結合し孔の部分を鉛接した。子午線木肋の中心に於ける間隔は 16in とした。

木肋の上に  $4 \times \frac{13}{16}$  in の木帶を斜にはり、その方向は場所場合で交互にし、風荷重及び偏荷重に備へた。木帶の間隔は 4in としその上に石綿絶縁層を施工し、射着モルタルの裏壁とした。

(奥田秋夫)

#### 筋コンクリート屋根の一例

(“Unusual Concrete Roof Covers British Sports Building,” E.N.R. Aug. 8, 1935, p. 196-197.)

英國ラグビー試合其の他國際的スポーツ競技場有名な倫敦郊外 Wembley 競技場の附近に主として水上競

競技として作られた建物に興味ある鋼筋コンクリート造りの屋根が用ひられてゐる。競技場は長さ420呎、幅240呎で横方向には拱頂の高さ85呎の3鉄コンクリート拱を有し、舞臺は長さ200呎幅80呎のプールと共に其の兩側に観客席を備へてゐる。建物の位置は英帝國博覽會の時に人工的に造つた湖のある場所で、現在の Wembley 競技場も當時創設されたものである。

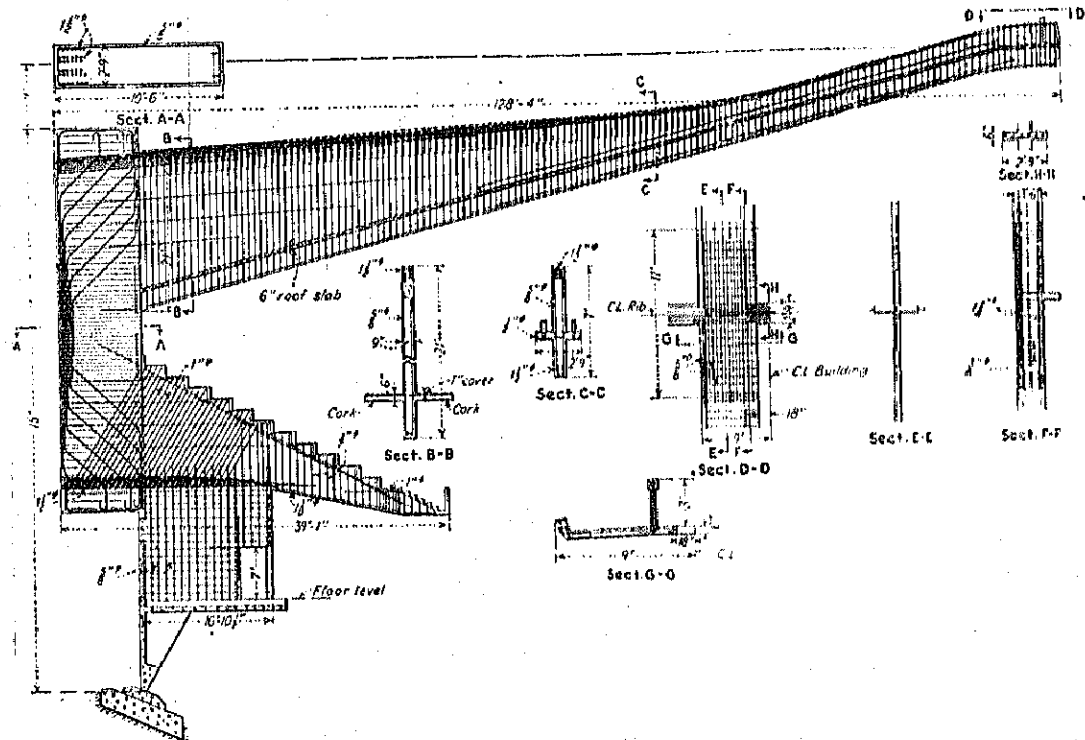
水泳場は 650 000 gal. の容積を有し、之れを覆へば 200×85呎のスケート場となり、又 300×85呎の運動場ともなる。

全體の大きさは前面後面の附屬屋を含んで 420×240呎であるが、右附屬屋は構造上の必要から切妻牆の安定を與へる爲に設けたものである。

観客席、洗面場、食堂等は拱肋の全體をなし、下部の鉄は尖刃狀の幅 6 吋のコンクリート塊を成し、1 呪當り 22 呪の荷重を受ける。拱頂點の鉄の部分では補剛肋は切斷して取除かれ、唯水平の厚さ 6 吋、幅 9 吋の版が縱方向に走つて擬似鉄を形造つてゐる。拱頂の水平張力は各々 70 t である。

垂直肋は中心間隔 22呎で、構築時の安定の爲め一列宛にして建設した。観客席の上部の屋根はコンクリート版の上にコルクを張り、他の部分は鋼鐵格子に硝子を嵌めた明り採りが用ひられてゐる。コンクリートは全體的に配合  $1:1\frac{1}{2}:3\frac{1}{2}$  を用ひ、その 28 日目の強度は最小 5 020 lbs、最大 7 420 lbs であり、使用強度としては 1 300 lbs/in<sup>2</sup> を用ひた(鋼筋は 18 000 lbs/in<sup>2</sup>)。

第 16 圖 Wembley 水泳場屋根の拱肋断面



建物は全部鋼筋コンクリート製で、床版は標準厚 6 吋の桁なしの間隔 22呎の版であり、壁の厚さは 9 吋である。壁及び屋根はこの建物の主體をなすもので間隔 230.5呎の 3 鉄拱をなし、屋根の補剛材たる拱肋は外側で鉛直の安定板となつてゐる。この鉛直安定板たる補剛肋は側壁の部分では高さ 21呎、厚さ 9 吋で観客席の後方下側まで續いてゐる(第 10 圖)。

床及び観客席の荷重は 1 平方呎 100 lbs、屋根の活荷重は片側で 16 lbs/in<sup>2</sup> の張力と此の反対側で 10 lbs/in<sup>2</sup> の吸引力が同時に作用するものとし、側面の風壓は 1 平方呎 15 lbs と假定した。  
(糸川一郎)

## 8. 施工

## 盛土の壓縮に関する問題

(Kiel, "Verdichtungsfragen im Dammbau.")  
Bautech. 28. Juni 1935, S. 387~389

與へられた盛土材料に對し壓縮層の厚さ、壓縮機械を如何に選ぶかと云ふ事に就て一般に適合する法則は未だ立てられてゐない。壓縮に於て最も肝要な事は有害な沈下を起さない事、交通荷重の與へる變形に抵抗する事である。Süse 墓場に於ける沈下の實例は次の如くである。

堤高(m)	2年後の沈下(cm)	最高(m)	2年後の沈下(cm)
0~10	0	30~40	6
10~20	2	40~50	8
20~30	3		

自動車道路の築堤の高さは大體 10m 以内であるから同様に沈下は殆ど無いと思はれる。然し Süse 墓場に於ては交通荷重は受け居ない。

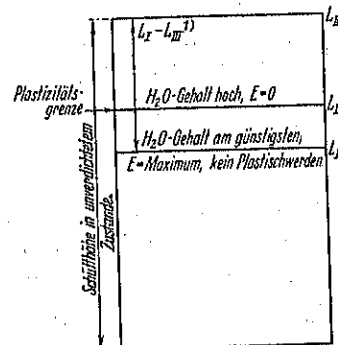
1. 盛土材料と壓縮機の關係 粘土質材料と粘土質でない材料とに分けて考へる。

a) 粘土質でない材料：此種材料に於ては變形に對する摩擦抵抗が非常に大でその値は粒度、形、空隙率に依る。硬い一樣な材料(砂、砂利)では衝撃が振動の勢力となつて振り固める場合を除いては壓縮は不可能である。其れ故に撃打機が彈力的である程強く締められる。振動式と撃打式を比較すれば前者は振り固めのみに使用せられ粘土質に適用されないので反し、後者は材料の破碎壓縮及び彈性を加へて振り固めをも同時になし得る。輥壓機は道との接面がゆるい場合及び壓縮に依り充分な形になし得る場合に使用され、又堤高 2m 以内では沈下の恐れのない爲、經濟的理由で他の何れの壓縮機よりも優位にある。粒の大きさ、硬度、形に依つては特殊な壓縮機が選ばれる。著者の経験では 200kg の鉛を用ひ拳銃火薬を充分撃打した。Süse 墓場に於ては撃打頭を用ひ、0.25m<sup>3</sup>の墓場の撃打に成功して居る。水分は壓縮に又有效である。脆い材料に對しては振りを防ぎ密度を大ならしめる。一般に空隙を満し表面張力に依り各粒を緊密ならしめる。

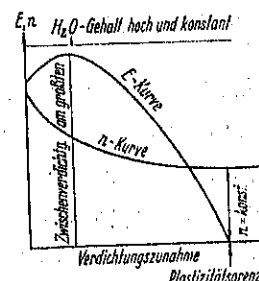
b) 粘土質材料：一般的の觀と異なり著者は粘土も盛土に使用せられると云ふ事が出来る。唯問題は含水量及び沈下、毛管現象を何處まで防ぎ得るかにある。粘土は砂、砂利に比し彈性がある爲に非常に不利となり、壓縮機の效果を上げる爲には彈性、含水量、粒の狀態を適當に

變化しなければならない。即ち材料を使用する前に乾燥して塊とし壓縮の際完全に粉末にする。同時に水氣が一様に分布せられるから更に乾燥する時は壓縮及び過度が一層高められる。柔かい物質は輥壓機で締められ、乾燥し切った塊状のものは重い撃打機で充分壓縮されるが非彈性的土壤には非彈性的撃打機が有效であるから二つの場合を通じて撃打機の方が有力である。壓縮結果の塑性、含水量に對する關係は第17圖に示される。 $L_{II}$  は壓縮されない前の壓縮層の厚さで  $L_{II} - L_I$  に壓縮される。 $L_I$  は考へ得る最上の狀態を示すもので、その際の含水量は塑性變形を惹起せず變形に對する抵抗  $E$  は最大である。含水量を増せば  $L_{II}$  に達し此處では  $E=0$  即ち變形率は無限大となる。粘土質土壤に對しては彈性率  $E$  が唯一の立脚點となり得る。 $E$  と空隙率  $n$  の壓縮狀態に對する關係を圖示すれば第18圖となる。

第 17 圖



第 18 圖



餘分の含水量を乾燥し切る事が出来ない時には乾燥した物質を附け加へねばならぬ。併し塑性土壤が平滑剤として作用する時は無効である。塑性土壤が離れ離れて生ずる場合にはその部分を注意深く掘り出し乾燥せる材料で置換しなければならない。

2. 壓縮層の厚さの影響 盛土材料、壓縮機及び壓縮層の厚さは互に調和を保つた時盛土は最も良く締固められる。然し壓縮層の厚さは工費の點からは出来るだけ厚い方が良く又材料の状態に従つて工學的立場から常に變化して良いとは限らない。盛土材料の性質は不規則な爲に壓縮層の厚さの決定は壓縮機の選擇と同様難かしく、一般に適合する法則は與へ得ないがゆえに關しては二三實驗値が求められた。吾々は壓縮試験に依つて前以て壓縮層の厚さ及び壓縮層を吟味する事が出来る。道路の建設に當つて此の試験は今日まで必要とされなかつた。

盛土材料の状態が變化していく場合、同じ壓縮層の厚さで一様な壓縮度を得る爲には壓縮機の作用は彈力的即ち土壤の状態に依つて壓縮力が變化せねばならない。此の様な問題は次の様に解決される。例へば根壓機に彈性を付けた端を備へ必要に應じて持ち上げ或は振動の努力に變化せしむ。此の壓縮技術の領域は更にに發展し得るものであるが此れには技術家と製作者との協力が必要である。現在の各会社は尤々特別な場合に適合する壓縮機を製作し土壤學の意義に何等の考慮をも拂つて居ない。壓縮の難易の標準を與へる土壤の常數は技術家と製作者との共通の研究で決定されるべきでこれに依る壓縮機の適用範囲及び效力の程度も定まる。能率に關しては一定の深さの點の壓縮度を大氣压で與へられた變形抵抗で示して標準とする。その能率は更にに壓縮層の厚さを定める。此の事は技術的又經濟的问题に於て壓縮機の使用に對し決定的のものである。

(横田周平)

## 9. 橋梁及構造物

### 2. 主桁を有する橋構の捩りモーメント

(A.A. Jakobsen, "Torsionsmomente bei Balkenbrücken mit zwei Hauptträgern," B. u. B. 6. Aug. 1935, B. 249~250.)

主桁及び横桁間に曲げ及び捩りに堪へ得る結合を有する構梁の静力學計算は理論的に困難でないが、多くの彈性方程式を解くのは面倒である。主桁が2本以上の場合には計算を簡単ならしめる爲に、主桁及び横桁間に

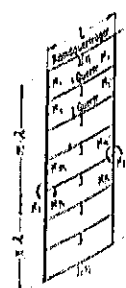
① Loss und Lorenz, Verdichtung geschütteter Dämme, "Die Strasse" 1934, 4 號, 110頁。

② Kiel, Mittel und Wege zur Prüfung geschütteter Dämme, Strassenbau 1935, 6 號 79~89頁。

節點は壓縮及び引張にのみ堪へ得るものとみなす事が屢々ある。若し節點を曲げ及び捩りに堪へ得るものとし、主桁の捩りを考へないならば、2主桁の場合の計算が最も簡單である。

主桁の線條件は線横桁の慣性モーメント  $J$  で示す事が出来る。茲に  $J$  は中間横桁の慣性モーメントで  $\gamma = 1$  は主桁が迴轉自由に支えられ、總ての横桁が同じ場合、 $\gamma = 0$  は主桁がその兩端に於て回轉不能に固定された場合である(第19圖)。この系統に就て均等分布(又は横桁の中央に關し對稱な任意の)荷重及び集中荷重を受けた場合を研究する。

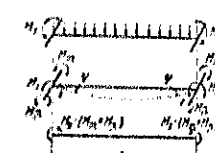
第 19 圖



### A. 等分集中荷重

1) 横桁の最小固定モーメントはその横桁の満載荷重に依り得られる。横桁の兩端に完全固定の場合生じるモーメント  $M_f$  を加へる時は主桁の連結點に於ける曲げ線の接線は水平となる。從つて實際に存在する固定モーメント  $M_r = M_m + M_f$  に依り次の捩れが生ずる(第20圖)。

第 20 圖



$$\varphi = \frac{M_f - M_r}{2EI} \cdot L$$

區間内に於ける主桁の捩れ  $\Delta\varphi$  は次式で示される。

$$\Delta\varphi = \frac{M}{EI} \cdot \lambda$$

故に  $M = \text{主桁の捩りモーメント}$

$I = \text{剪斷彈性係数} \sim 0.4E$

矩形断面に對し

$$K = \left( \frac{b}{h} - 0.630 + \frac{0.052}{(\frac{b}{h})^2} \right)^{\frac{1}{3}} \cdot \gamma b^3$$

故に  $b$  は断面の小さい方の寸法である。

主桁の連結點に於ける横桁の曲げ線の捩れ角間に次の關係が成立つ。即ち

$$\varphi_0 + \Delta\varphi_1 = \varphi_1, \quad \varphi_1 + \Delta\varphi_2 = \varphi_2 \text{ 等} \dots \dots \dots (1)$$

故に  $\varphi_0, \varphi_1, \varphi_2$  等は線横桁、横桁 1、横桁 2 等の捩れ角であり、 $\Delta\varphi_0, \Delta\varphi_1, \Delta\varphi_2$  是線横桁と横桁 1、横桁 1 と 2 間等の捩れである。

横桁が荷重を受けず、線横桁と横桁 1 間の主桁の捩り

モーメント =  $M_1$ , 横桁 1 と 2 間のそれ =  $M_2$  等とすれば

$$\begin{aligned} \frac{M}{J} + l + \frac{M_1}{K_1 G} \cdot \lambda &= \frac{M_2 - M_1}{2JE} \cdot l \\ 2, \frac{1}{\eta}, E & \\ \frac{M_2 - M_1}{2JE} + l + \frac{M_2}{K_2 G} \cdot \lambda &= \frac{M_2 - M_3}{2JE} \cdot l \text{ 等} \end{aligned} \quad \dots \dots \dots \quad (2)$$

$$\nu^2 = \frac{1}{\kappa} \cdot \frac{2JE\lambda}{lG} = \frac{1}{\gamma} \cdot \frac{5J\lambda}{lb^4} = \frac{1}{\gamma} c, \quad c = \frac{5J\lambda}{lb^4}$$

とすれば ( $\gamma^2$  は第 21 図より求まる)。

$$\begin{aligned} M_1 &= \frac{1}{1+\eta+\nu_1^2} \cdot M_2 = x_1 M_2 \\ M_2 &= \frac{1}{2+\nu_2^2-x_1} \cdot M_3 = x_2 M_3 \end{aligned} \quad \dots \dots \dots \quad (3)$$

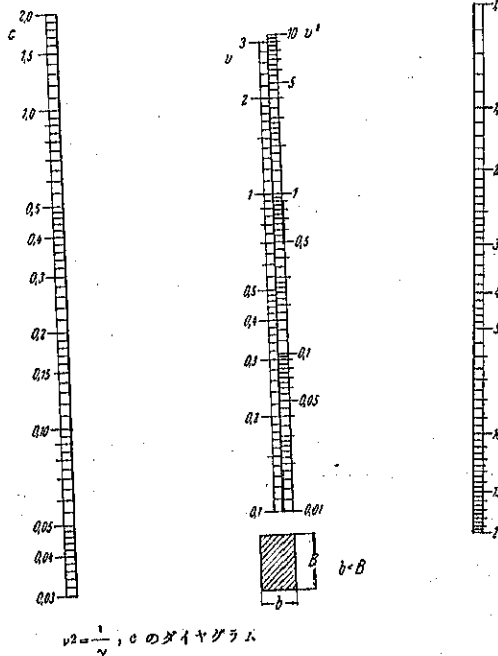
$$M_m = x_m(M_I - M_p)$$

$$M_p = x_p(M_I - M_m)$$

従つて横桁の固定モーメントは次式の如くなる。

$$M_e = M_m + M_p = \frac{x_m + x_p - 2x_m x_p}{1 - x_m x_p} \cdot M_I = h M_2 \quad \dots \dots \dots \quad (4)$$

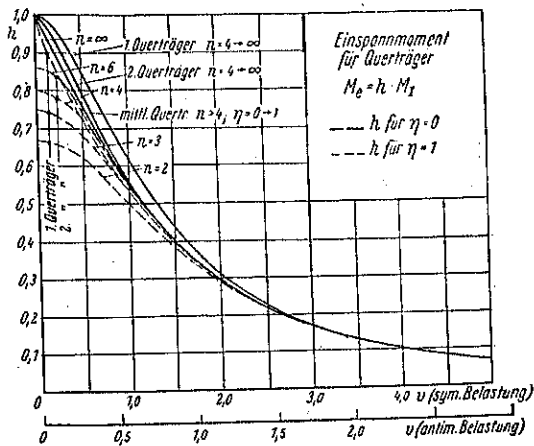
第 21 図



$$\nu^2 = \frac{1}{\gamma}, c \text{ のダイヤグラム}$$

$$\text{横桁を有する橋: } \sigma = \frac{5J\lambda}{lb^4}, \text{ 横桁を有せざる橋: } \sigma = \frac{0.42782}{lb^4}$$

第 22 図



$v = \text{一定}$  又は殆ど一定に對して  $h$  は第 22 圖から得られる。

2a) 横桁中央の最大曲げモーメントは總ての桁の満載荷重に依つて得られる。

第 23 図

$\eta = 1$  に對し  $M_{\max} = M_0$

茲に  $M_0$  = 横桁の曲げモーメント

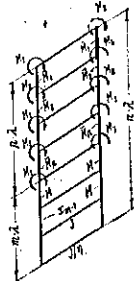
$\eta = 0$  に對し  $M_{\max} = M_0 - \Delta M$

茲に  $\Delta M$  = 橋の満載荷重の場合の横桁の固定モーメント。

此の固定モーメントは色々に求められる。例へば

$$\text{横桁 1: } \Delta M_1 = \overline{M}_1 - \overline{M}_2 \quad \dots \dots \dots$$

$$\text{横桁 2: } \Delta M_2 = \overline{M}_2 - \overline{M}_3 \text{ 等} \quad \dots \dots \dots \quad (5)$$



茲に  $\overline{M}_1$  は横桁に荷重のかゝつた時の線横桁と横桁間の主桁の振りモーメント,  $\overline{M}_2$  は横桁 1 と 2,  $\overline{M}_3$  は横桁 2 と 3 間の主桁の振りモーメントである。モーメント  $\overline{M}_1, \overline{M}_2, \overline{M}_3$  は式 (1) に依り算定される。即ち

$$\begin{aligned} \frac{\overline{M}_1}{K_1 G} \cdot \lambda &= \frac{M_I - (\overline{M}_1 - \overline{M}_2)}{2JE} \cdot l \\ \frac{M_I - (\overline{M}_1 - \overline{M}_2)}{2JE} \cdot l + \frac{\overline{M}_2}{K_2 G} \cdot \lambda &= \frac{M_I - (\overline{M}_2 - \overline{M}_3)}{2JE} \cdot l \text{ 等} \end{aligned} \quad \dots \dots \dots \quad (6)$$

であるから

$$\overline{M}_1 = x_1 M_I + x_1 \overline{M}_2 = x_1^2 M_I + x_1 \overline{M}_2 \quad x_1^2 = x_1$$

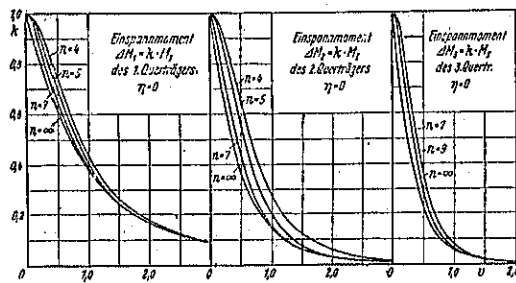
$$\overline{M}_2 = x_1 x_2 M_I + x_2 \overline{M}_3 = x_2^2 M_I + x_2 \overline{M}_3 \quad x_2^2 = x_1 x_2$$

となる。又  $n$  区間の場合には次式の如くなる。

$$\left. \begin{aligned} \bar{M}_{n-1} &= \bar{M}_2 = -x_{n-1}^0 M_I + \bar{M}_1 x_{n-1} \\ \bar{M}_1 &= \frac{x_1^0 - x_1 x_{n-1}^0}{1 - x_1 x_{n-1}}, M_I \\ \bar{M}_2 &= \frac{x_2^0 - x_2 x_{n-1}^0}{1 - x_2 x_{n-2}}, M_I \quad \text{等} \end{aligned} \right\} \dots (7)$$

多くの場合  $\nu$  の平均値に對する  $\Delta M$  値を第 24 圖から得る事が出来る。

第 24 圖



2b) 固定断面に於ける最大モーメントは研究すべき横桁以外の線での横桁の満載荷重に依つて得られる。従つて場合 2a) から場合 1) を引けばよい。

3) 主桁の最大振リモーメントは研究すべき裡間迄の總ての横桁の満載荷重に依る。此の場合

$$\frac{M_I - (\bar{M} + \bar{M}_p)}{2JE} \cdot l - \frac{\bar{M}}{K_m G} \cdot \lambda = \frac{M(1 - x_{m-1})}{2JE} \cdot l$$

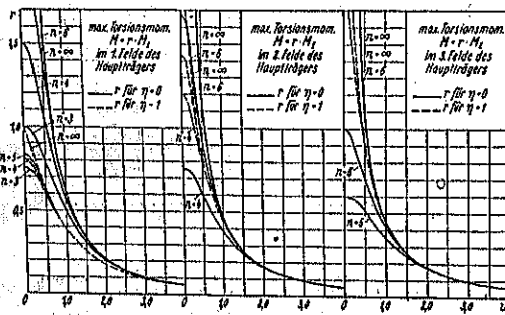
$$\bar{M}_p = (1 - \eta)x_p^0 M_I - x_p M \quad (\text{式 (6) から})$$

であるから次式の如くなる。

$$M = \frac{1 - (1 - \eta)x_p^0}{1 - x_p} \cdot M_I = r M_I \quad \dots \dots \dots (8)$$

$\nu$  = 一定に對し  $r$  は第 25 圖から得られる。

第 25 圖



B. 集中荷重  $P=1$ , 横桁の中央から距離  $l/2$  に於

ける集中荷重  $P=1$  は對稱及び逆對稱 (antimetrisch) の部分に分たれる。主桁の連結點に於ける曲げ線の接線の水平の場合に次式が得られる。

$$\left. \begin{aligned} + 1/2 \text{ と } + 1/2 \text{ に對し: } M_I &= \frac{l}{2} \left( \frac{1}{4} - \xi^2 \right) \\ + 1/2 \text{ と } - 1/2 \text{ に對し: } M_H &= l \cdot \xi \left( \frac{1}{4} - \xi^2 \right) \end{aligned} \right\} \dots \dots \dots (9)$$

横桁の固定モーメントは次式で示す事が出来る。

$$M_e = M_e^{\text{sym}} \pm M_e^{\text{antisym}} = h_1 M_I \pm h_2 M_H, \dots \dots \dots (10)$$

$$\text{式 (4) に依り} \quad h_1 = \frac{x_m + x_p - 2x_m x_p}{1 - x_m x_p}$$

であり。 $\nu$  = 一定に對し第 22 圖から得られる。

横桁の逆對稱載荷に對し橋の端に於ける主桁の振りモーメント間に次の關係が成立つ。

$$\frac{M_1}{J} - \frac{M_2}{E} \cdot \lambda = \frac{M_2 - M_1}{6JE}, l \quad (\text{式 (1) から})$$

等、従つて

$$\left. \begin{aligned} M_1 &= \frac{1}{1 + \eta + 3\nu_1^2} \cdot M_2 = x_1' M_2 \\ M_2 &= \frac{1}{2 + 3\nu_2^2 - x_1'} \cdot M_2 = x_2' M_2 \end{aligned} \right\} \dots \dots \dots (11)$$

となるから  $h_2$  は次式の如くなる。

$$h_2 = \frac{x_m' + x_p' + 2x_m' x_p'}{1 + x_m' x_p'}$$

従つて  $\nu$  に對し前述の  $\sqrt{3}$  倍の大きさの尺度を用ひ、 $\nu$  = 一定に對し第 22 圖から  $h_2$  を得る事が出来る。横桁の最大正モーメントは中央の  $P$  に對し得られる。

最小固定モーメント  $M_e$  は次式に依つて得られる。

$$\frac{dM_e}{d\xi} = 0 = \frac{d \left[ h_1 \cdot \frac{l}{2} \left( \frac{1}{4} - \xi^2 \right) + h_2 l \xi \left( \frac{1}{4} - \xi^2 \right) \right]}{d\xi}$$

$$\xi = - \frac{h_1}{6h_2} + \sqrt{\left( \frac{h_1}{6h_2} \right)^2 + \frac{1}{12}}$$

#### 例題 (第 26 圖)

第 26 圖に横桁の最小固定モーメント、故穴裡間モーメント及び主桁の最大振リモーメント並びに  $M_e$  の影響線  $\beta(M_e = \beta P l)$  を示した。點線は主桁の拘みを考へた場合である。

C. 2 主桁間に横桁なく床版のみの場合。此の場合にも前述の方法が用ひ得られる。即ち幅入の床版を横桁と考へればよい。

長 1m の版の慣性モーメントは



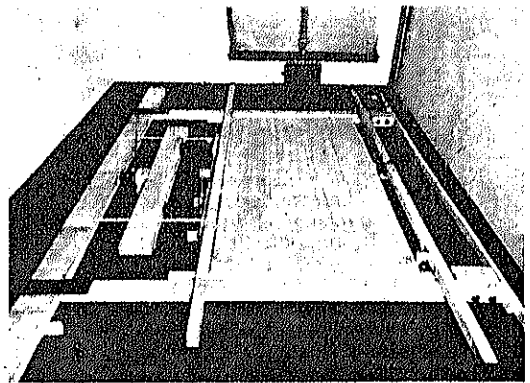
勿論側壁と隔板とは無関係にえらぶ事は出来ない。

壁碇着： 壁と木床との結合には本帶と端壁との結合と、切込塊と側壁との結合の2つが考へられる。前者には剪力が作用し、後者には引張力又は壓縮力が作用する。

## 2. 4 分工模型實驗

Long Beach 木床の 4 分 1 の模型で、所謂標準木床と稱する構造を有するものである。實驗裝置は第 28 圖に示す。

## 第28圖 實驗裝置



#### 第 4 表

Test No.	Panel Dimensions		Ratio $L/b$	Load Applied At
	Length, L	Breadth, b		
101	10'-0"	6'-0"	1.67	5th points
101-A	10'-0"	6'-0"	1.67	Center point
102	10'-0"	5'-0"	2.0	5th points
103	10'-0"	4'-0"	2.5	5th points
104	10'-0"	3'-4"	3.0	5th points
104-A	10'-0"	3'-4"	3.0	Center point
105	8'-4"	3'-4"	2.5	5th points
106	6'-8"	3'-4"	2.0	5th points
107	5'-0"	3'-4"	1.5	5th points
108	3'-4"	3'-4"	1.0	5th points

10×6ft の原形のものを第4表に示す様に次々に切断して実験した。各実験に於て荷重挿み線を引いたが最大荷重は次の実験に差支へる残留破壊の生じない様注意した。その結果、実験105迄は後の実験が前の載荷の影響を受けなかつた事がわかつた。実験106は荷重をかけすぎた様で、実験106、107及び108の結果は範囲を存する。

此の粗食木床を一定の彈性を質を持つたものと考へるならば、荷として解く事が出来る。従つて 1/5 點に荷重のかよった時の伸びは

$$d = \frac{3WL_e}{2bE_s} + \frac{WL_e^2}{5.8b^2E_m} \quad \dots \dots \dots (1)$$

となり、中央に荷重のかかった場合は

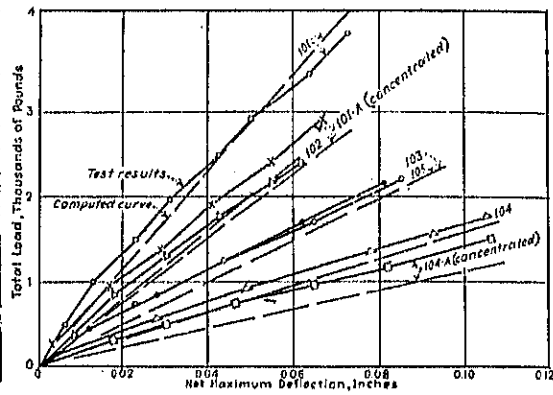
$$d = \frac{WL}{4bE_f} + \frac{WL^3}{4b^3E_m} \quad \dots \dots \dots (2)$$

となり、等分布荷重のかかった場合は

$$d = \frac{WL}{8bE_s} + \frac{5WL^3}{32b^3E_m} \quad \dots \dots \dots (3)$$

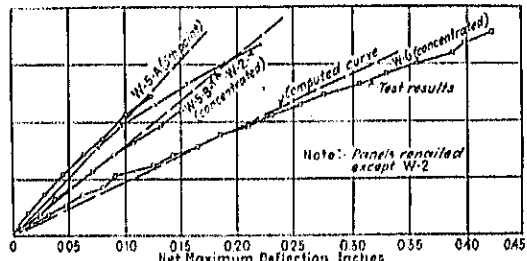
となる。但し  $W$  は全荷重 (lb),  $L$  は支間 (ft),  $b$  は幅 (ft),  $E_s$  及び  $E_m$  は夫々剪断係数及び直応力係数である。此の実験の場合には  $E_s = 24900$ ,  $E_m = 118700$ ,  $E_s/E_m = 0.219$  であった。此の値を用ひて計算した値と実験の結果得た値とを第 29 図に示した。大體に於て良く一致してゐる事がわかる。

第 29 圖 木炭の 1/4 模型の摺り入り観測及計算値



### 3. 現小木床實驗

第30圖 現木床の構み曲線



第 5 表

Span (ft.)	Width of River (ft.) in %									
	10	15	21	33	50	70	11	16	24	40
20	.026	.036	.033	-	-	-	.015	.020	.028	.040
33	.013	.0047	.0031	.0019	-	-	.006	.008	.012	.018
50	.009	.004	.0026	.0016	.0011	-	.004	.005	.007	.010
67	.006	.003	.0020	.0012	.0007	-	.003	.004	.006	.008
84	.004	.0027	.0016	.0009	.0005	-	.002	.003	.004	.006
100	.0036	.0024	.0015	.0009	.0005	-	.0018	.0025	.0035	.0050
117	.0031	.0020	.0013	.0007	.0004	-	.0015	.0021	.0030	.0045
133	.0028	.0018	.0011	.0006	.0003	-	.0013	.0018	.0026	.0038
150	.0026	.0017	.0010	.0005	.0003	-	.0012	.0016	.0023	.0035
167	.0024	.0016	.0009	.0005	.0003	-	.0011	.0015	.0021	.0033
184	.0022	.0015	.0008	.0004	.0003	-	.0010	.0014	.0019	.0030
200	.0020	.0014	.0007	.0004	.0003	-	.0009	.0013	.0017	.0028
217	.0019	.0013	.0006	.0004	.0003	-	.0008	.0012	.0016	.0026
233	.0018	.0012	.0005	.0003	.0003	-	.0007	.0011	.0015	.0025
250	.0017	.0011	.0005	.0003	.0003	-	.0006	.0010	.0014	.0024
267	.0016	.0010	.0004	.0003	.0003	-	.0005	.0009	.0013	.0023
284	.0015	.0009	.0004	.0003	.0003	-	.0004	.0008	.0012	.0022
300	.0014	.0008	.0004	.0003	.0003	-	.0003	.0007	.0011	.0021
317	.0013	.0007	.0003	.0003	.0003	-	.0003	.0006	.0010	.0020
333	.0012	.0006	.0003	.0003	.0003	-	.0002	.0005	.0009	.0019
350	.0011	.0005	.0003	.0003	.0003	-	.0002	.0004	.0008	.0017
367	.0010	.0004	.0003	.0003	.0003	-	.0002	.0003	.0007	.0016
384	.0009	.0004	.0003	.0003	.0003	-	.0002	.0003	.0006	.0015
400	.0008	.0003	.0003	.0003	.0003	-	.0002	.0003	.0005	.0014
417	.0007	.0003	.0003	.0003	.0003	-	.0002	.0003	.0004	.0013
433	.0006	.0003	.0003	.0003	.0003	-	.0002	.0003	.0003	.0012
450	.0005	.0003	.0003	.0003	.0003	-	.0002	.0003	.0003	.0011
467	.0004	.0003	.0003	.0003	.0003	-	.0002	.0003	.0003	.0010
484	.0003	.0003	.0003	.0003	.0003	-	.0002	.0003	.0003	.0009
500	.0002	.0003	.0003	.0003	.0003	-	.0002	.0003	.0003	.0008
517	.0001	.0003	.0003	.0003	.0003	-	.0002	.0003	.0003	.0007
533	.0001	.0003	.0003	.0003	.0003	-	.0002	.0003	.0003	.0006
550	.0001	.0003	.0003	.0003	.0003	-	.0002	.0003	.0003	.0005
567	.0001	.0003	.0003	.0003	.0003	-	.0002	.0003	.0003	.0005
584	.0001	.0003	.0003	.0003	.0003	-	.0002	.0003	.0003	.0005
600	.0001	.0003	.0003	.0003	.0003	-	.0002	.0003	.0003	.0005
617	.0001	.0003	.0003	.0003	.0003	-	.0002	.0003	.0003	.0005
633	.0001	.0003	.0003	.0003	.0003	-	.0002	.0003	.0003	.0005
650	.0001	.0003	.0003	.0003	.0003	-	.0002	.0003	.0003	.0005
667	.0001	.0003	.0003	.0003	.0003	-	.0002	.0003	.0003	.0005
684	.0001	.0003	.0003	.0003	.0003	-	.0002	.0003	.0003	.0005
700	.0001	.0003	.0003	.0003	.0003	-	.0002	.0003	.0003	.0005
717	.0001	.0003	.0003	.0003	.0003	-	.0002	.0003	.0003	.0005
733	.0001	.0003	.0003	.0003	.0003	-	.0002	.0003	.0003	.0005
750	.0001	.0003	.0003	.0003	.0003	-	.0002	.0003	.0003	.0005
767	.0001	.0003	.0003	.0003	.0003	-	.0002	.0003	.0003	.0005
784	.0001	.0003	.0003	.0003	.0003	-	.0002	.0003	.0003	.0005
800	.0001	.0003	.0003	.0003	.0003	-	.0002	.0003	.0003	.0005
817	.0001	.0003	.0003	.0003	.0003	-	.0002	.0003	.0003	.0005
833	.0001	.0003	.0003	.0003	.0003	-	.0002	.0003	.0003	.0005
850	.0001	.0003	.0003	.0003	.0003	-	.0002	.0003	.0003	.0005
867	.0001	.0003	.0003	.0003	.0003	-	.0002	.0003	.0003	.0005
884	.0001	.0003	.0003	.0003	.0003	-	.0002	.0003	.0003	.0005
900	.0001	.0003	.0003	.0003	.0003	-	.0002	.0003	.0003	.0005
917	.0001	.0003	.0003	.0003	.0003	-	.0002	.0003	.0003	.0005
933	.0001	.0003	.0003	.0003	.0003	-	.0002	.0003	.0003	.0005
950	.0001	.0003	.0003	.0003	.0003	-	.0002	.0003	.0003	.0005
967	.0001	.0003	.0003	.0003	.0003	-	.0002	.0003	.0003	.0005
984	.0001	.0003	.0003	.0003	.0003	-	.0002	.0003	.0003	.0005
1000	.0001	.0003	.0003	.0003	.0003	-	.0002	.0003	.0003	.0005

現寸木床実験を Los Angeles の 37th Street School 教室の床で行つたが、その結果は第 30 図に見る如く式 (1) 及び (2) に依り計算した理論的荷重挙み曲線と非常によく一致してゐる。但し常数  $E_s$  及び  $E_m$  は  $E_s/E_m$  が既知であれば実験結果を式 (1) 又は (2) に代入して求める事が出来る。

第 5 表は等分布横荷重 100 lb/ft を受けた場合の標準木床の挙みを示したものである。第 31 圖から等分布荷重 1 lb をうけた任意の形の木床の挙みを知る。従つて此の単位挙みに全荷重を乘すれば實際の挙みが求る事になる。

#### 4. 結論

1) 適當な構造を有する木床は挙みに關する限りは横曲げ力に對し單指と同様に作用する。その挙みは實験に依る彈性係数を均質な指の弾性式に用ひれば極めて近似的に得られる。

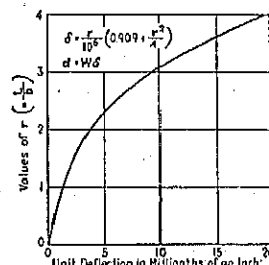
2) 少くも 4 回迄の繰返し荷重に依つては木床に累進的挙み又は外觀上の破壊を來さない。

3) 漆喰天井は貧弱な木床の剛度を非常に増大する。

4) 木床の適當な構造は木床の横荷重に對する剛度に非常に重要であつて、構造物の横安定度は横荷重の側壁から端壁への傳達に關係する所が大である。

(奥田秋夫)

第 31 圖 標準木床の  
単位挙み曲線



あつて、橋梁前後の取付道路、築堤等の土工費及び用地費、或は橋臺及びその基礎工事費等が全工費の大部分を占める。此の様な場合に橋梁それ自身を最も經濟的にするために、丁桁構造を採用すればその目的を達することが出来るが、最も經濟的な丁桁橋では一般にその厚さが大になり、これが爲に道路面が高くなり、従つて橋梁前後の取付部分に於ける工費が著しく大となつて、全體として不經濟になる場合が多い。之に反して版構造を採用すれば、丁桁構造に比べて一般に鋼筋量は増大するがコンクリート量が小になり、且つその厚さが丁桁の有效高さより著しく小になるために、橋梁以外の部分に於ける工費を輕減し、假令橋梁自身の工費は些少大になつても、全工費を却つて小にすることが出来、且つその厚さが薄いために massive な外觀を與へず軽快な感じの橋梁を得ることが出来る。此のやうな環境の橋梁に於ては、スパン 8~10m 位までは丁桁構造にするより版構造にする方が有利である。

假令桁下空間に何等の制限が無くても、橋梁以外の部分に全然無關係に橋梁を設計し得る場合は極めて少い。況して上記のやうな場合に版橋と丁桁橋とを比較するときには、橋梁だけに就て比較するのは誤りであつて、橋梁以外の部分の工費をも含めて比較しなければならない。

實際に作られた版橋に就て見ても、桁下空間に制限がある場合には、スパン 8~10m までは丁桁橋よりも遙かに有利である。或る實例に就て計算した結果は第 6 表である。荷重としては 1 等橋の荷重を採用し、コンクリートの許容應力 60 kg/cm<sup>2</sup>、鋼筋の単價は 260 RM/t、コンクリートの単價は之に必要な型枠費を加算して版橋では 35 RM/m<sup>3</sup>、丁桁橋では 40 RM/m<sup>3</sup>とした。丁桁橋では一般的の施工が版橋に比べて面倒になり、且つ所々に横筋を設けるのであるが、之等に依る工費の増額は全然無視した。第 6 表に就て見ると、橋梁以外の部分に於

#### 鐵筋コンクリート版橋と丁桁橋との比較

(Karl H. Meyer, "Eisenbetonplattenbrücken,")  
B. u. E. 20. Juli 1935, S. 217~220.)

從来多くの文献に就ては、鐵筋コンクリート道路橋に於ける版橋と丁桁橋との經濟的界限はスパン 5 m であり、之以上のスパンになれば、自重が急に増大するため版橋は丁桁橋に比べて著しく不經濟になるものと説明されて居るが、之は今少し検討を要する事柄である。

跨線橋、立體交叉の道路橋又は高架自動車道路の橋梁等に於ては、橋梁それ自身の工費は全工費に比較すると極めて僅少で

第 6 表 版橋と丁桁橋の長さ 1m 当りの工費の比較

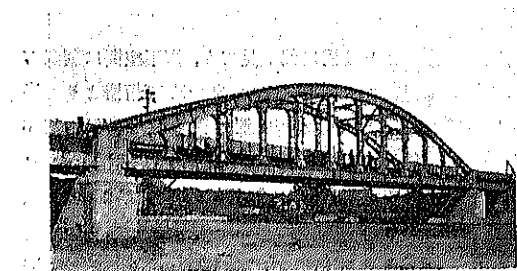
スパン m	a cm	版構造			丁桁構造			放る經濟的に設計 した場合				
		版と等厚にした場合			丁			放る經濟的に設計 した場合				
		a cm	コンク リート RM	鋼筋 RM	合計 RM	a cm	コンク リート RM	鋼筋 RM	合計 RM	a cm	コンク リート RM	鋼筋 RM
5	82	50	52	103	31	54	60	144	70	66	61	127
8	48	72	64	160	48	68	142	200	100	70	74	150
10	62	91	114	205	63	64	146	210	120	84	84	168
12	80	115	128	238	80	70	143	218	150	96	91	187

ける工費が等しい場合、即ち版の厚さ  $d$  と丁桁の高さ  $d$  とが等しい場合には、スパン 10m までは確實に版橋の方が有利である。丁桁をそれ自身として最も經濟的に設計した場合には、スパン約 6 又は 7m が限界になるが、表に示すが如く  $d$  が大になるので、橋梁前後の土工費、従つて全工費の増大を豫期しなければならない。

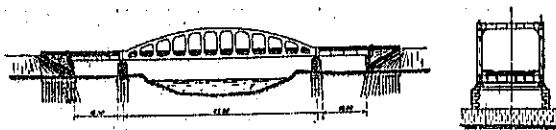
コンクリートの単價が安くなれば、上記のスパンの限界値は更に大きくなるであらうし、またスパンが大きくなれば版橋と丁桁橋とに於けるコンクリートの単價の開きが増大し、版橋の方に有利になることを見逃してはならない。

上記の比較はすべて両端單純支承としての比較であるが、事情が許せば、版の両端を橋臺に固定するのが得策である。橋端を橋臺に埋込むことは、丁桁構造では可成り面倒であるが版構造では簡単に出来る。このやうにしても両端完全固定と考へるのは妥當でなく、所謂半固定と考ふべきであつて、徑間モーメントは單純支承の場合の  $2/3$  位と探つてよい。版の端には勿論負のモーメントが起るが、之に對しては剪断力に對して曲げ上げた版の主鉄筋を有效に利用することが出来る。更に、こ

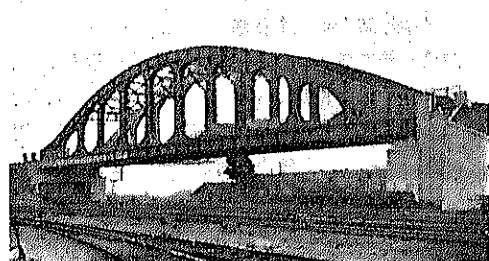
第 32 圖 白耳義 Schooten に於ける道路橋全景



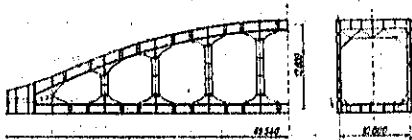
第 33 圖 白耳義 Schooten に於ける道路橋一般圖



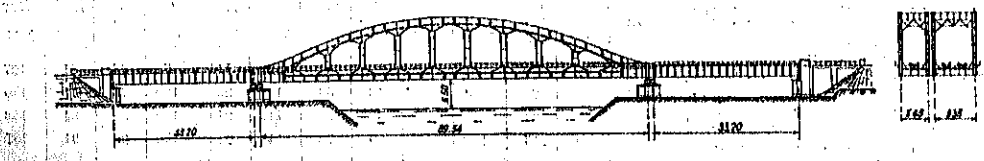
第 34 圖 白耳義 Malines に於ける鐵道橋全景



第 35 圖 白耳義 Malines に於ける  
鐵道橋一般圖



第 36 圖 白耳義 Herenthals に於ける鐵道橋



のやうにすれば兩橋臺が版に依つて結合され、全體として面状の構造物になるから、獨立橋臺に比べて橋臺の厚さを薄くすることが出来る。以上のやうにすれば假令桁下空間に制限がない場合でも、スパン 8m までは版構造の方が確實に經濟的であると言へる。

(福川武雄)

### 世界各國に於ける最近の橋梁

(Bulletin No. 3 of the International Assoc.  
for Bridge and Structural Engg.,  
June 1935.)

第 32,33 圖：白耳義の Schooten に於て Albert 運河に架せられた道路橋であつて、主徑間はスパン 63 m のフィレンデール橋である。工場に於ける接目はすべて之を鋸接したが、現場接目はすべて之を釘結した。全鋼重は 333 t, 1934 年架設。Ossature Méca'lique 1934, No. 9 参照。

第 34, 35 圖：白耳義・ブレッセル・アントワープ間 Malines に於ける複線鐵道橋であつて、スパン 89.54 m のフィレンデール橋である。上部對風檻には斜材を使用

第 34 圖 白耳義 Malines に於ける鐵道橋全景

しなかつた。全部鉄筋構造で鉄の総数約 21700 本, St. 37 を使用し、その全鋼重は 1460 t, 1934 年架設。Os-sature Métallique 1934, No. 11 参照。

第 36 圖：山耳義の Hérenthal に於て Albert 河に架せられた鐵道橋であつて、複線用のものと、單線用のものと並べて架設せられた。一般寸法は兩者とも同じである。主徑間はスパン 89.54 m のフィレンデール橋、兩側徑間はスパン 33.20 m の鉄桁である。全鉄筋構造で、材料は St. 37、全鋼重 3200 t, 1934 年架設。Os-sature Métallique 1934, No. 11 参照。

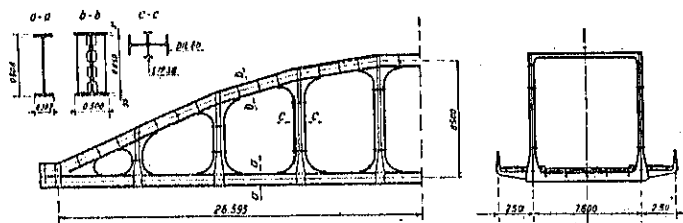
第 37,38 圖：和蘭の Nuth に於て Sittard-Herzogenrath 間の鐵道線路を横切つて架せられた道路橋で、車道の有效幅員 6m、全幅 12.80m、スパン 53.20m のフィレンデール橋である。全電弧銑接にした。床は全部鉄筋コンクリート版にし、之に依つて下部の對風樋を省略し得た。

第 39,40 圖：伊太利國境に近き瑞西の Giubiasco

と Sementina 兩町間に於て Tessin 溪谷（伊名：Valle Leventina）に架せられた道路橋で、幅員は 0.3+4.9+0.3m、主徑間はスパン 70.70m の棒形アーチ (Stabbo-gen) である。その兩側の長さ 2.9m の片持梁は側徑間の鉄桁を支へる。アーチの補剛桁は全電弧銑接であり、吊材とアーチには屈延形鋼をそのまま使用した。現場接目はすべて鉄筋した。材料は St. 37、全鋼重は約 340t そのうち主徑間は 165t である。1933 年に架設した。

第 41,42 圖：和蘭 Hattemerbroek に於て Yssel (Ijssel) 河に架せられた單線鐵道橋である。本橋の橋脚は既に複線用のものが作られてゐて、從來その片側に舊式の單線鐵道橋が架せられて居たが、今般新橋を其の片側に増設したものである。本橋は工場に於て重量 330t、長さ 88m 以下の部分々々に組立てた後、之を水路によつて現場まで 350km を運搬した。主徑間はスパン 73.08m の棒形アーチ 2 連であるが、第 4 及び第 5 橋脚間の舟航を妨害しないために、兩者とも第 5 及び第 6・

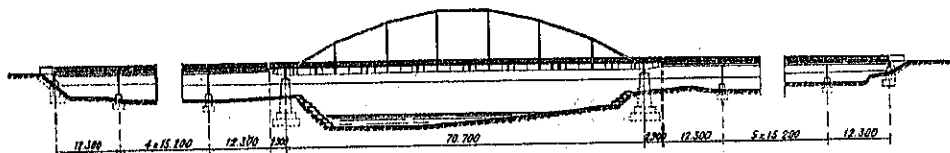
第 37 圖 和蘭 Nuth に於ける跨線橋一般圖



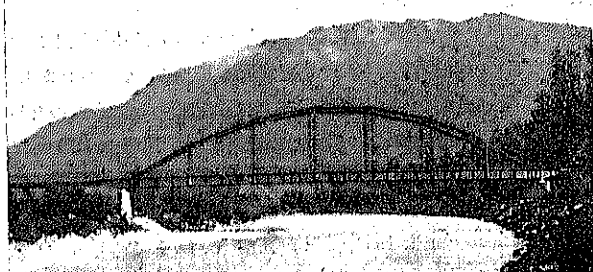
第 38 圖 和蘭 Neth に於ける跨線橋の架設



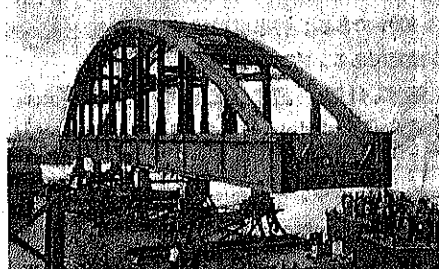
第 39 圖 瑞西 Tessin 橋梁一般圖



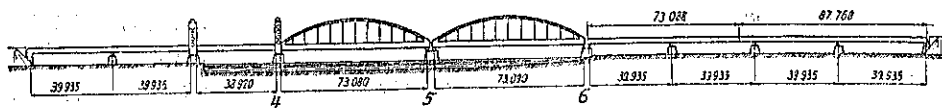
第 40 圖 瑞西 Tessin 橋梁全貌



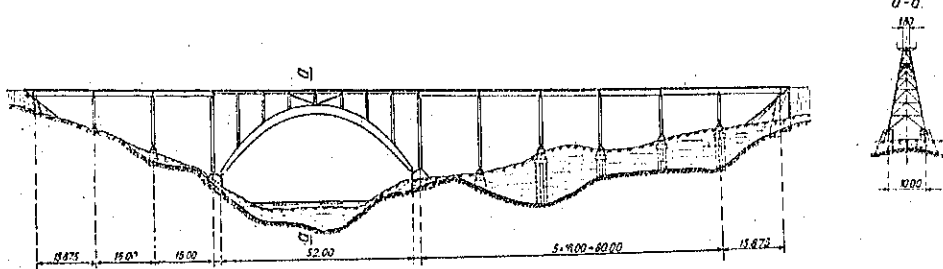
第 41 圖 和蘭 Yssel 橋梁の架設



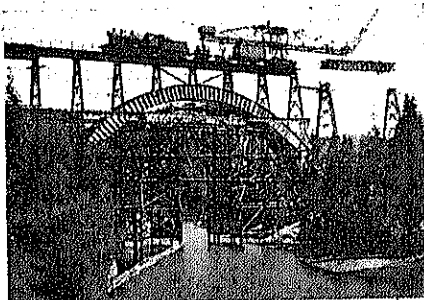
第42圖 和蘭 Yssel 橋梁一般圖



第43圖 諸威 Gjerstadelven 橋梁の一般圖



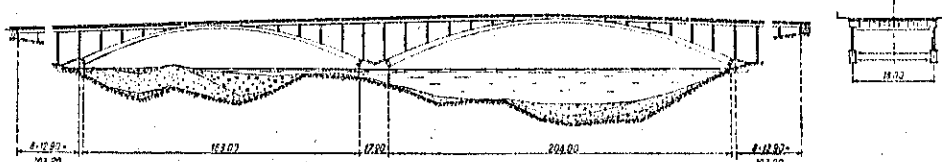
第44圖 諸威 Gjerstadelven 橋梁の架設



第45圖 瑞典 Müller 湖橋梁全景



第46圖 瑞典 Müller 湖橋梁一般圖



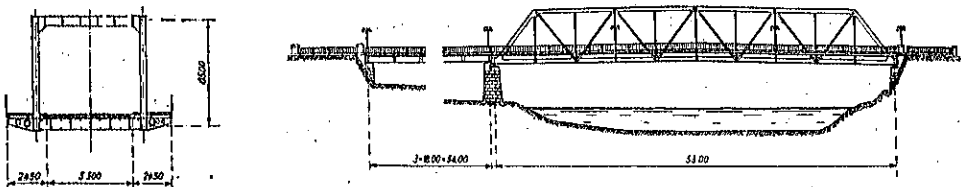
橋脚の間で組立て、第4及び第5橋脚間のアーチは第41圖の如くポンツーンに依つて架設した。アーチの組立には浮船クレーンを利用した。アーチ1連の重量は約400tである。將來現在橋を新橋と同じもので架換へる豫定である。Staal 1935, No. 1 參照。

第43,44圖：諸威のKonsberg-Kristiansand間の鐵道がGjerstadelvenを横切る所に架せられた單線鐵道橋で、主跨間はスパン52m、高さ16.0mの2鉄リブアーチである。アーチは假橋に依つて組立てたが、その上部及び側徑間の飯桁は起重機車に依つて架設した。材料はSt.87、全鋼重400t、1934年架設。Meddelelser fra

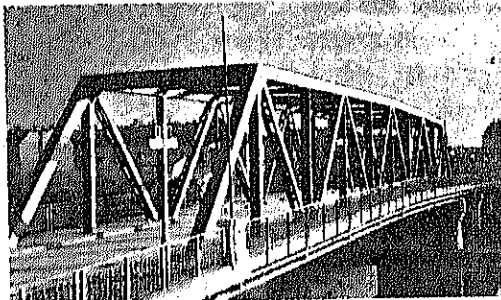
Norges Statsbaner 1934, No. 5 参照。(譯者註：アーチの頂部にある斜材は之に依つて制動荷重に抵抗する意圖のものと思はれる)。

第45,46圖：瑞典StockholmのMüller湖上に架せられた幅員2.5+10.0+2.5mの道路橋で、スパン204m及び108mの両端固定リブアーチである。舟航のための橋下高さは24m、両側の陸橋の橋脚間隔は12.0mである。材料はSt.52及びSt.44を使用し、部分的に銛接した。全鋼重は7000t、1935年秋に開通する。Die Bautechnik 1934, p. 507及びV. D. I. 1935, p. 11 参照。

第 47 圖 匈牙利 Györ に於ける全電氣鎔接 Raba 橋一般圖



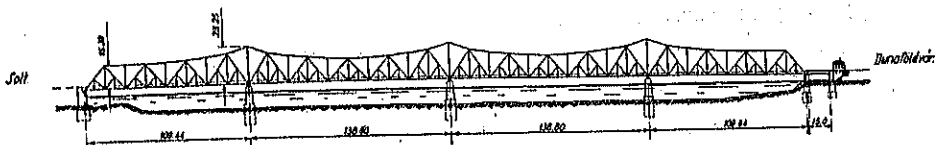
第 48 圖 匈牙利 Raba 橋全景



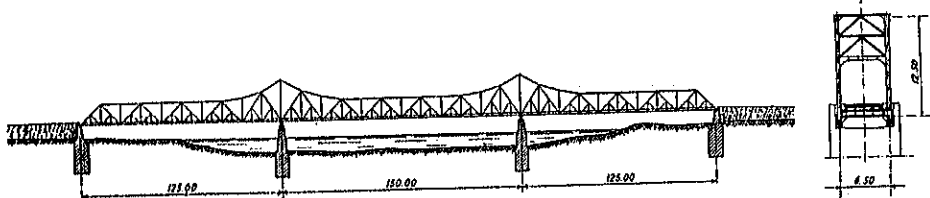
第 49 圖 匈牙利 Dunaföldvar 橋梁全景



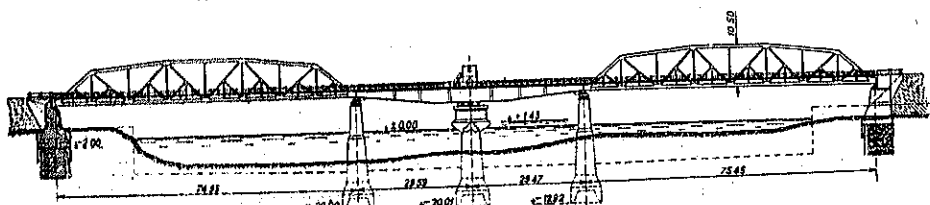
第 50 圖 匈牙利 Dunaföldvar 橋梁一般圖



第 51 圖 ユーゴースラヴィヤ Raca に於ける Königin Marie 橋



第 52 圖 ラトヴィヤ Riga に於ける Milgravis 橋一般圖

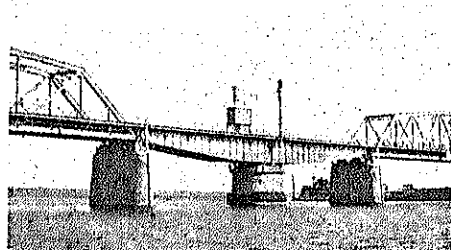


第 47,48 圖: Wien-Batidapest 間の自動車道路が匈牙利 Györ に於て Raba 河を横切る所に設けられた全電氣鉄接のトラス橋である。スパンは 58 m, 材料は St. 97, 鋼重は 110 t である。全部鉄筋するのに比べると約 15% 軽くなつた。洪水敷にはスパン 18 m の鐵筋コンクリート徑間 3 個を設けた。1934 年架設。Stahlbau 1935 參照。

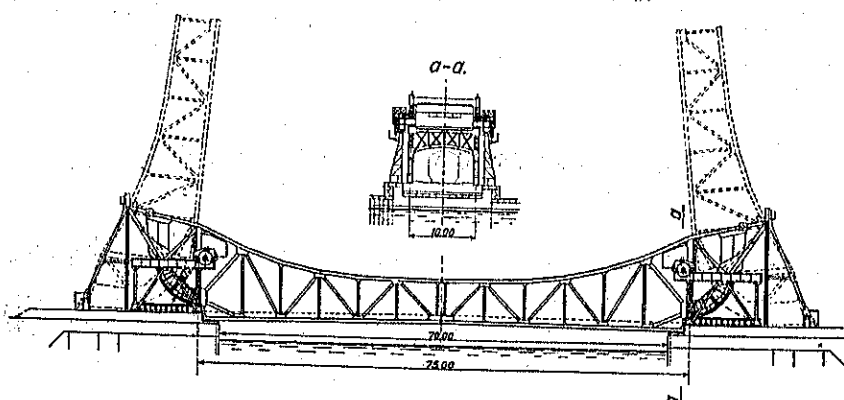
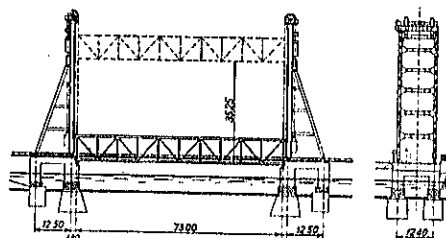
第 49,50 圖: 匈牙利 Dunaföldvar に於て ドナウ河上に架せられた 4 徑間連續の道路兼鐵道橋である。スパンは  $109.4+136.8+136.8+109.4$  m で、車道の有效幅員は 5.5 m, 中央に單線の鐵道がある。主構の兩外側に 1.5 m の歩道を設けた。珪素鋼を使用し、全鋼重 2810 t, 橋脚は壓氣潜函で施工したが、將來に於ける橋脚沈下を豫想して、主構の支承を水壓チャックで扛上げ得るやうにした。1929~1930 年の架設。Technika 1930, No. 23 及び Science et Industrie 1935 參照。

第 51 圖: ユーゴースラヴィヤの Rača に於て Save 河に架せられた道路橋 "Königin Marie" 橋である。徑間  $125+150+125=400$  m のゲルバー型 3 徑間連續構橋であつて、中央の suspended span は 50 m である。全鋼重 2800 t, 1931~1934 年架設。

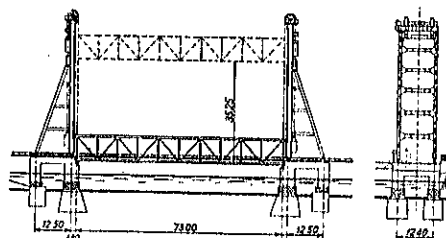
第 53 圖 Milgravis 橋旋開徑間



第 55 圖 Marseille, Pinède に於ける跳開橋



第 54 圖 Hamburg の Rothe 界開橋

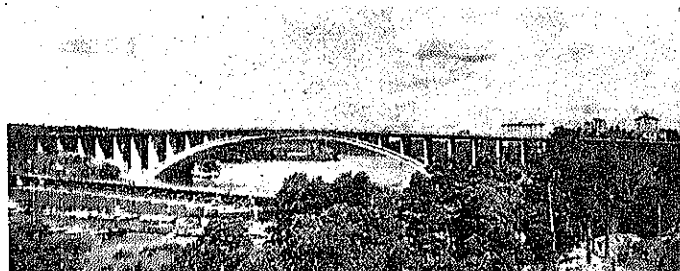


第 52,53 圖: ラトヴィヤ Riga に於ける道路橋である。幅員は  $1.5+8.0+1.5$  m, 兩側はスパン 75.45 m のトラス, 中央に長さ 59 m の鋸折旋開橋を設けた。橋臺は木杭基礎、橋脚は鐵筋コンクリート潜函基礎である。旋開橋の橋脚の上部を中空にし、變態器其他を收容した。材料は St. 87, 固定徑間の鋼重は 648 t, 旋開桁は 177 t, 機械設備 50 t である。開閉に要する時間は、電氣運轉のときには 12 分、手動では 60 分かかる。

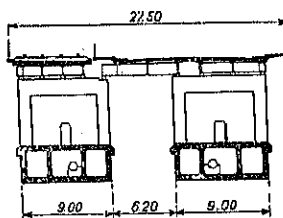
第 54 圖: 獨逸 Hamburg 近傍に於て Elbe の枝川 Rethe に架せられた道路兼鐵道用界開橋である。スパン 73 m, 界程 35.25 m, 對重 620 t, 1934 年架設。Die Bautechnik 1934, No. 51 參照。

第 55 圖: 佛蘭西 Marseille の Pinède に於ける Scherzer 式の双葉跳開橋である。スパン 75 m, 幅員  $1.45+6.1+1.45$  m の道路兼鐵道橋であつて、各葉を單獨に動かすことが出来る。動かすべき重量は各葉に就き約 600 t, このうちの 2/3 は對重である。旋開橋の移動部分には St. 54 を使用し、他の部分には St. 42 を使用した。架設は全開の姿勢の起重機船に依つて施工した。Journal de la Marine Marchande 1934, 1. Aug No. 2 參照。

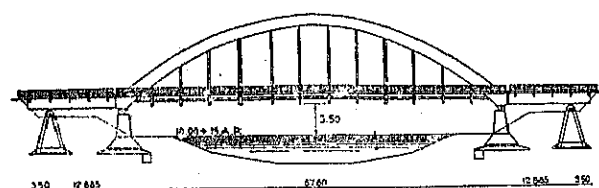
第 56 圖 瑞典 Stockholm の Traneberg 橋全景



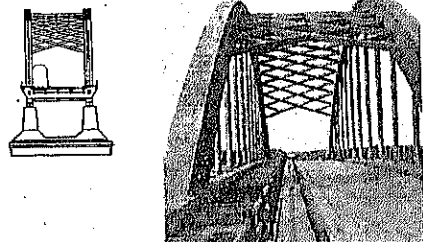
第 57 圖 Traneberg 橋断面圖



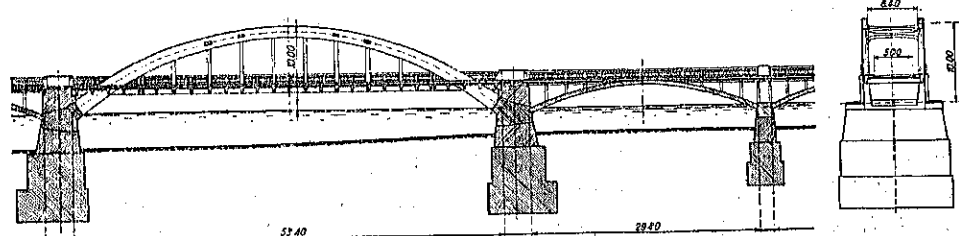
第 58 圖 和蘭 Twenthe Canal 橋一般圖



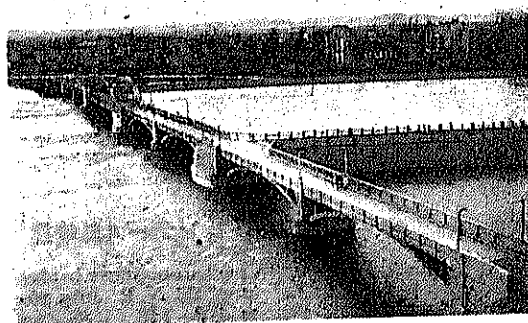
第 59 圖 Twenthe Canal 橋



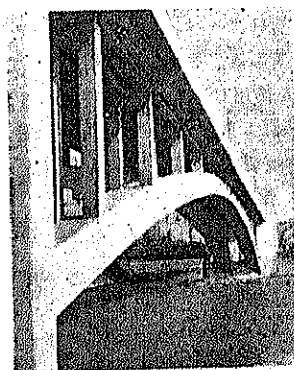
第 60 圖 チェコスロバキヤ Pistany に於ける Váh 川橋梁一般圖



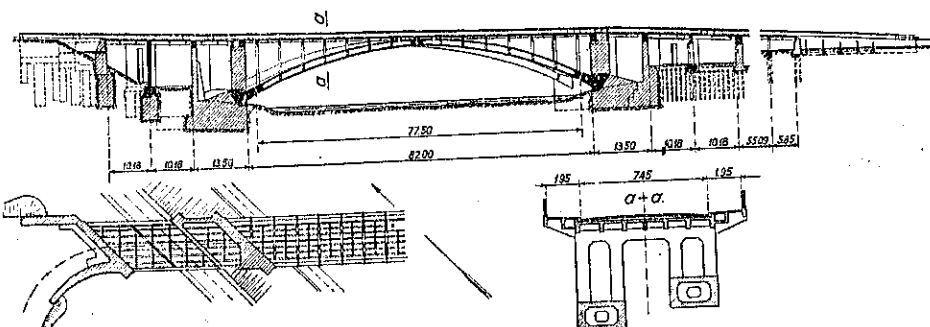
第 61 圖 Pistany に於ける Váh 川橋梁全景



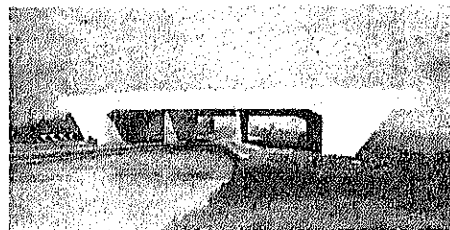
第 62 圖 Karlsbad, Masaryk 橋



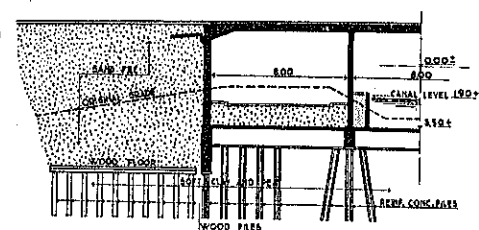
第 63 圖 チェコスロバキア Karlsbad に於ける Masaryk 橋一般圖



第 64 圖 和蘭 Moerkapelle のラーメン橋



第 65 圖 Moerkapelle ラーメン橋断面圖



第 56, 57 圖：瑞典 Stockholm の Tranebergsund の入り江に架せられた全長 545m の道路兼鐵道橋である。幅員は道路 19m、複線鐵道 8.5m、合計 27.5m である。主徑間はスパン 181m の鐵筋コンクリートアーチで、その断面は第 57 圖に示すが如き 2 個の箱形リブから成つて居る。側徑間はすべて鐵筋コンクリート橋脚の上にスパン 18m の鉛接鋼板桁を架設した。鋼製拱架を使用した。1934 年に完成。B. u. E. 1933, p. p. 298, 309; Schw. Bztg. 1933, p. 302; Engineer 1933, p. 261; Eng. News-Rec. 1934 参照。

第 58, 59 圖：和蘭の Exel 近傍に於て Twenthe 通りに架せられたスパン 67.6m の鐵筋コンクリートタティードアーチである。道路兼鐵道橋であつて、構材には St. 52 の鋼を使用した。その許容應力は  $2100 \text{ kg/cm}^2$  である。(譯者註：菱形對風構は此種の橋梁の美觀の問題に於て一つの注目すべき設計と思はれる)。De Ingenieur 1933, No. 28 參照。

第 60, 61 圖：チェコスロバキアの Pilsany に於て Váh 河上に架せられた幅員 7.8m の道路橋である。主徑間はスパン 52m の兩端固定鐵筋コンクリートアーチの下路橋で、側徑間はすべてスパン 29m の上路鐵筋コンクリートアーチである。1930-31 年の架設。

第 62, 63 圖：チェコスロバキア Karlsbad に於て Ohre 河に架せられた Masaryk 橋である。有効幅員

11.85m、スパン 82m、高さ 9.5m の鐵筋コンクリート 3 鏡アーチで、アーチリブの断面は圓のやうに箱形である。可成り鋭角度の斜アーチである。B. u. E. 1933, No. 7~9 参照。

第 64, 65 圖：和蘭の Moerkapelle 附近に於て某運河に架せられた道路橋である。運河の水面は附近の地表面より高くなつて居る。本橋は鐵筋コンクリート杭の上に設けられた有底箱形の鐵筋コンクリートラーメンであつて、その縦断面は第 65 圖に示すが如く、中央に運河を通じ、その両側に道路を造つた。點線は從來の地盤を示すものである。取付築堤は木杭基礎の上に造つた木床の上に築造した。それは築堤の重量に依つて橋梁の下部及び其の附近の軟弱なる地盤が水平移動するのを防ぐためである。1934 年の架設である。

(福田武雄)

#### ベルギーのフィーレンデール結構橋

(L. G. Ruequoi, "Vierendeel truss bridges popular in Belgium," E. N. R. July 25, 1935, p. 116~118.)

ベルギーの橋梁道路省に於て最近 2 年間に部分又は全電弧鉛接のフィーレンデール橋が 25 橋架設された。又鐵道の方でも多くの新納フィーレンデール橋を架設し

第 7 表 ベルギーに於ける電弧鋸接フィーレンデール橋

Location	Built	Span, Ft.	Trusses, C. to C.	Number of Panels	Max. Depth C. to C. of Chords, Ft.	Type of Field Joints†	Weight of Span, Tons‡	Weight of Trusses, Tons
1 Lanaye (Albert Canal)	1932-1933	208	29	12	28.3	riveted	309	167
2 Schoten near Antwerp No. 39 (Albert Canal)	1933	192	29	12	26.2	riveted	295	166
3 Schoten near Antwerp No. 40 (Albert Canal)	1934	175	29	12	24.4	welded	222	121
4 Herentals "C" (Albert Canal)								
5 Lamakken-Smeerselvaart (Briegden-Neerharen Canal)	1934	166	29.6	10	23	riveted	200	146
6 Lanktvaart (Zuidwillemvaart)								
7 Borgholt I (Junction Canal Meuse R. to Schelde R.)	1934	167.5	17.1	10	19.8	welded	103.5	59.5
8 Einddonk II - (Zuidwillemvaart)								
9 Dilsen "								
10 Neeroorten "								
11 Broe "								
12 Beeldschot II	1934	149	26.5	10	20.7	welded	145	94.5
13 Kruisvaart Junction Canal Meuse R. to Schelde R.)								
14 Lombeek-St. Hubert "	"	"	"	"	"			
15 Lommel No. 9 "	"	"	"	"	"			
16 Lommel No. 12 "	"	"	"	"	"			
17 Herentals "A" (Albert Canal)	1934	149	29	10	22.9	welded	161	97
18 Ghelie No. 18 (Albert Canal)								
19 Ghelie No. 20	1934	149	15.3	10	16.8	welded	95	62.7
20 Oolen No. 20 "								
21 Herentals No. 21 "								
22 Dudzele No. 1 (parallel canals of Helveta and Schipdonck)	1934	104.5	29.6	8	13.9	welded	108	56
23 Dudzele No. 2 [								
24 Zutemelte (Albert Canal)	1935	206	29	12	28	welded	448	283
25 Ghelie No. 17 (Junction Canal Meuse R. to Schelde R.)	1935	148	29.6	10	20.6	welded	214.5	140
26 Met No. 14							242	162

†All spans are shop-welded.

‡Tons of 2,000 lb.

Note - Bridges 1 to 21 incl. are highway structures; 22 to 26 are railroad bridges.

た。その他多くのコンクリートのフィーレンデール橋が架設されてゐる。

A. Vierendeel は所謂“静定”結構の設計を算の不確実さを指感した。普通の結構は格點が銛結されてゐるにも拘らず、ピン結合として計算され、格點の剛度は無視され、又二次應力に対する考慮が排はれてゐない。そこで Vierendeel は斜材のない全然新らしい結構を提案した。

最初のフィーレンデール橋が 1897 年に實驗用として建造された(第 07 図)。それは支間 96 ft の單線鐵道橋であつて、非常なる強度と剛度とを示した。實驗の結果、45t の等荷重、即ち設計荷重の 2.73 倍で破壊した。従つて Vierendeel 橋は普通の結構と殆ど同等のものとみなされた。

その後 1930 年迄に鐵道及び道路に對する約 30 のフィーレンデール橋がベルギーに於て架設された。ベルギー領 Congo に於ても 1923-1931 年に 23 の鐵道橋が架設され、その最長のものは支間 220 ft の Bushimale 橋である。

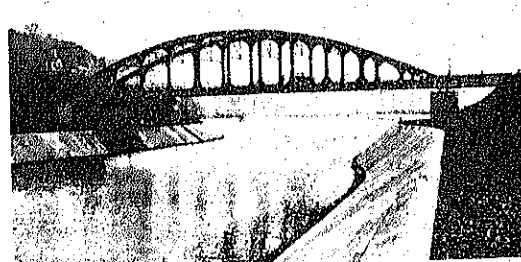
フィーレンデール鋼橋は長徑間の場合特に普通の結構よりも鋼重が小であり、計算を正確にし許容應力を増す時はもつと減少する。隅板を圓形に仕上げる事が困難なので、之がフィーレンデール鋼橋を用ひる事を邪魔した。それで一時 Vierendeel 橋は鐵筋コンクリートの方に多く用ひられた。それは部材及び格點の剛度の大きさ、

事が理論と合致し、又格點を固めても型枠及び鐵筋の施工を困難ならしめないからであった。

然るに最近電弧鋸接技術が進歩した爲、フィーレンデール鋼橋が完成されるに至つた。1932 年支間 208 ft の Albert Canal に架る Laye 橋が最初の電弧鋸接フィーレンデール橋として入札に出された。此の橋は非常な成績を納めた爲、大部分の新橋は工場鋸接のみの、或は最近は全電弧鋸接のフィーレンデール橋として架設された(第 7 表参照)。

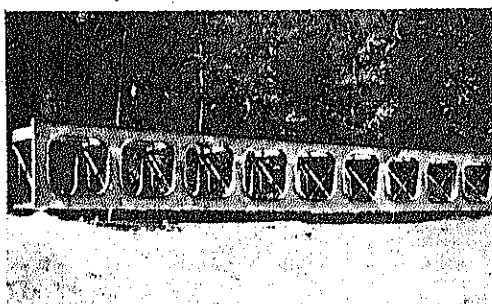
鋸接及び瓦斯切斷を用ふれば、フィーレンデール橋の部材及び接合點の工作が非常に簡単になる。部材は壁延久は集成 H 断面である。連續鋸接を用ひる。實驗結果に依れば、Vierendeel の計算と實際の應力とがよく一致し、又接合點は衝撃に對し抵抗が大である。

第 66 圖  
最初の電弧鋸接フィーレンデール結構、Albert Canal に架る Lanaye 橋。支間 208 ft。工場鋸接及び現場鋸接。



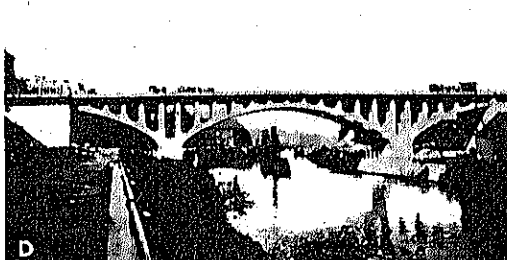
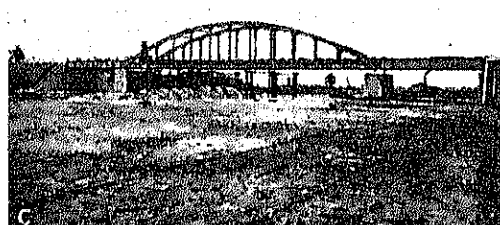
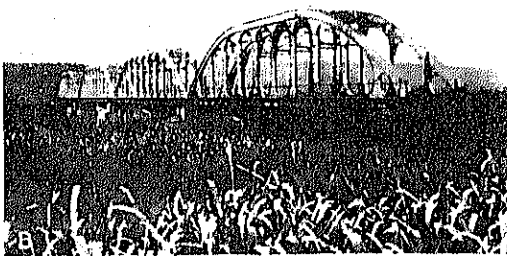
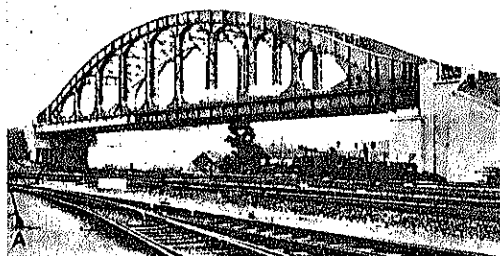
## 第 67 圖

最初のフィーレンデール橋。左：1897 年の實驗用橋梁。右：支間 128 ft の最初の實用橋。1901 年 Avelghem に架設。大戰中に破壊される。



## 第 68 圖

鐵道及び道路フィーレンデール橋。A: 支間 274 ft (フィーレンデール橋最大のもの) の Malines に於ける鉄道接続鐵道橋。B: 1925 年架設のベルギー領 Congo の Bokumu 鐵道橋。鉄道支間 180 ft 4 連。C: 最初の全鐵接合接合フィーレンデール橋。1934 年架設。支間 175 ft。Albert Canal に架る。D: Tournai 近く Schelde 河に架るコンクリート・フィーレンデール橋。中央支間 95 ft, 兩側支間 40 ft。



ベルギーの鐵道に於ては最近多くのフィーレンデール橋が架設された。總て鉄筋に依るもので、鉄接は未だ川ひられず、目下衝撃に対する鉄接の作用を實驗中である。

(奥田秋夫)

### Breslau に於ける Universität 橋の改築

Steinwender, "Der Umbau der Universitätsbrücke in Breslau," Bautech. 2, Aug. u. 23, Aug. 1935, S. 439~448. u. 489~492.

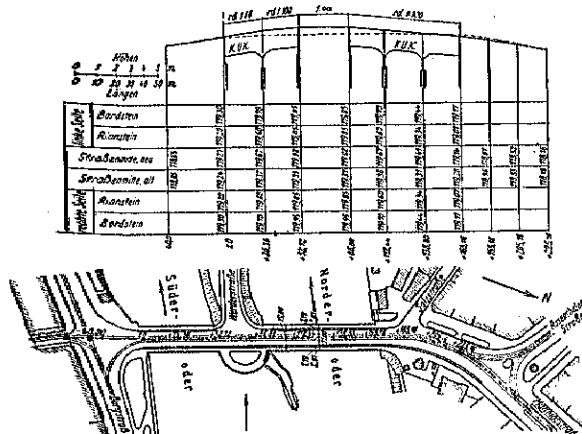
Breslau の Stadtoder 河に架る Universität 橋は 1868~1869 年に架設された舊 Friedrich-Wilhelm

Universität 橋を改築したもので Oder 河が Norderoder 河及び Süderoder 河に分岐する所に架る。花崗岩の橋脚に依り Süderoder に 2 御間, Norderoder に 3 御間都合 5 御間に分たれ、御間は大き 20.30 m である。

舊橋は鉄筋から成る Schwedler 柄であったが、交通の増大に伴ひ橋幅及び頑度が不足して來たので、上部構造のみを架換へ、舊橋脚は共備用ひた。第 69 圖に示す如く、舊橋は橋面が水平であつたが、新橋は柄下限界を大にする爲中央に向ひ少し上げる事にした。

舊橋は總幅員は 12.50 m, 有效幅員  $6.18 + 2 \times 2.14 = 10.46$  m であつたが、新橋は有效幅員を 19 m とした。

第 69 圖 Universität 橋の縦断及び平面圖



即ち車道を 11m, 自転車道を  $2 \times 1.20$ m, 歩道を  $2 \times 2.80$ m である。

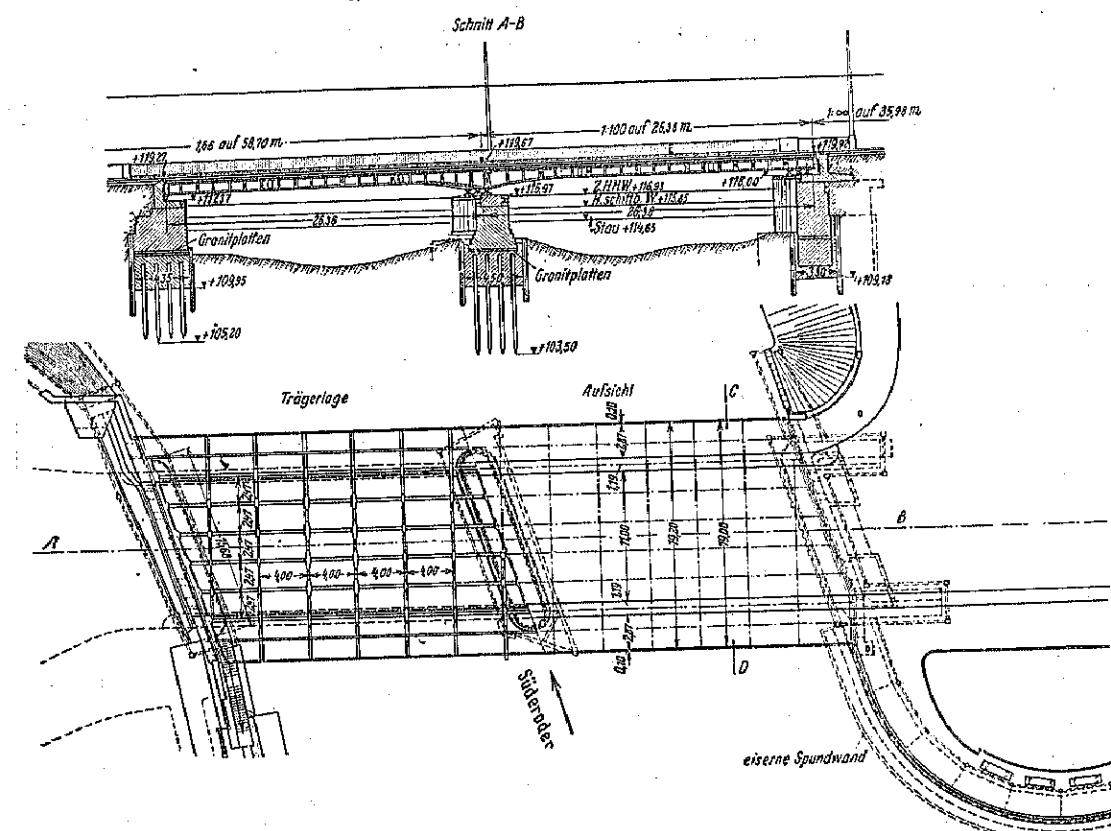
此の擴張に依る橋脚の下の地盤壓力の増加は最大

30% で、最大地盤壓力は  $3.50 \text{kg/cm}^2$  である。之は木製矢板で保護された橋脚の基礎の砂利質地層の強度を超過する事がない。又杭の間の地盤の支持力を無視する時は、1 本の杭に最高 12t の荷重がかかる事になる。

1. 上部構造 新橋は斜桁 6 列より成り、Süderoder 河は 2 種間連續桁、Norderoder 河は 3 種間連續桁である（第 70, 71 圖）。主桁の間隔は 2.47m で、3.77~4m 每に横桁に依つて連結される。横桁は一般に延長 I 30 から成り、外の 2 列の主桁の間では鉄筋の高い桁となる。之は導音の添加及び長さ 3.43m の突桁の連結を容易ならしめるものである。夫々の種間中央の 2 箇の横桁は主桁と同じ高さにし、主桁の剛度を増した。橋脚上では主桁が高いのでトラス式對傾構を用ひた（第 72 圖 a, b, c）。歩道突桁の上端は電線を添加する餘地を設ける爲、主桁に於ける上部連結より非常に低くした。

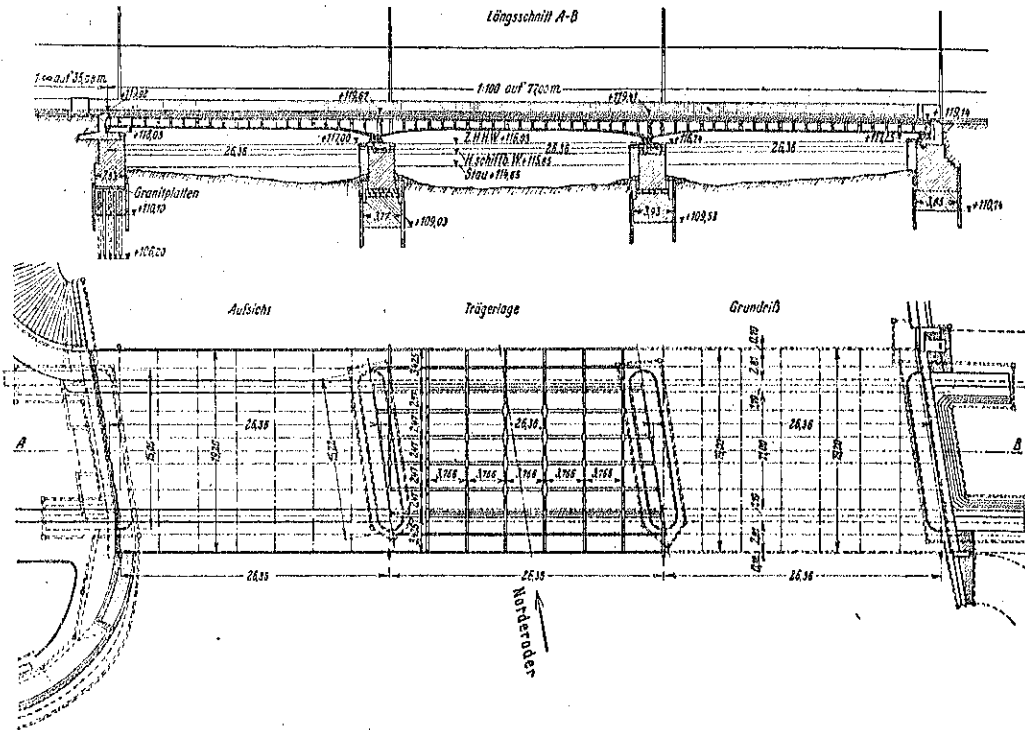
橋梁の有効幅を充分にし、而も橋脚の長さが不充分な爲、歩道突桁は比較的長くした。

第 70 圖 Süderoder 河 の 新 橋

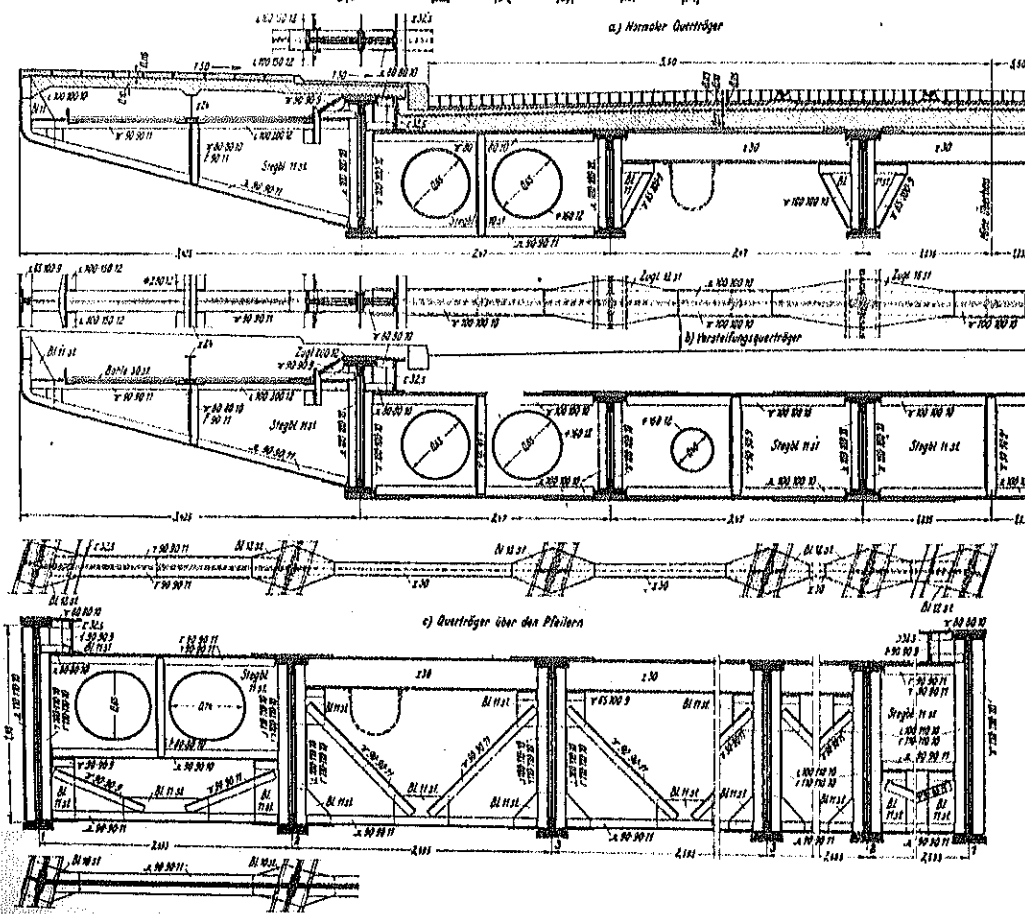


第 71 圖 Norderoder 河の新橋

Längsschnitt A-B



第 72 圖 橫 斷 面 圖



桁の支間は總て 26.86 m とし、桁下限界の必要上桁高は比較的低くした。即ち 4 列の中間桁は 900 mm、外側桁は 1230 mm とし、橋脚上に於て 700 mm を増大した。

主桁を多く用ひる事は静力學上不利であるが、桁高を制限されたので主桁 2 本の構造に出来なかつた。又橋脚上に反力を平均に分布出来る利益があつた。他方 Oder 河及び大學の美しい光景を損ねる事をきらつたので、橋面上に主桁の出る事を避けた。

静力學計算は 1 等橋に對する 1932 年 9 月の街路橋に對する荷重假定 DIN 1072、即ち 24t の重載壓機、12t 自動車及び 500 kg/cm<sup>2</sup> の群衆荷重に依つた。又電車荷重として Breslau の夫々 11t の 2 軸荷重を有する 22t 重電動車を用ひた。荷計算は 1928 年 4 月の“道路鋼橋に對する計算原則” DIN 1073 に従つた。

一般に普通構造鋼 St. 87 を用ひたが、外側桁に高値鋼 St. 52 を用ひた。外側桁の應力の大きさは、之にかかる直接荷重の大きさに依るのみでなく、主として橋梁の横方向に於ける總ての桁の共同作用に依る。即ち主桁は間隔比較的小さく、横桁及び床版に依り充分補剛せられる爲、荷重の分布に對し横結合（完全なもの）のみなす事が出来る。

從つて 8 列の主桁の荷重分布は Prof. Dr. Brunner の與へた次式に依り算定出来る。即ち

$$K = P \cdot \frac{J_K}{\sum J} + \frac{P g J_K X_k}{\sum J_K X_k^2}$$

茲に  $\alpha$  は橋梁中心からの荷重  $P$  の距離、 $X$  は同じく主桁の間隔である。右邊第 2 項は載荷が對称の時は零であるから、静荷重は慣性モーメントの比に分たれる。外側桁は高さ高くその慣性モーメントは中間桁の約 2 倍であるから、動荷重に依る外側桁の最高荷重は、隣りの主桁の 2.9 倍、中央の主桁の 3 倍に達する。

從つて外側桁に構造鋼 St. 97 を用ひる時は超過應力を避け得ない。斷面を増大するも、慣性モーメントを増大し、外側桁の荷重を増し、中間桁の荷重を減ずるので全く無益である。其故相當の強度を有する高値鋼を用ひるの外はない。

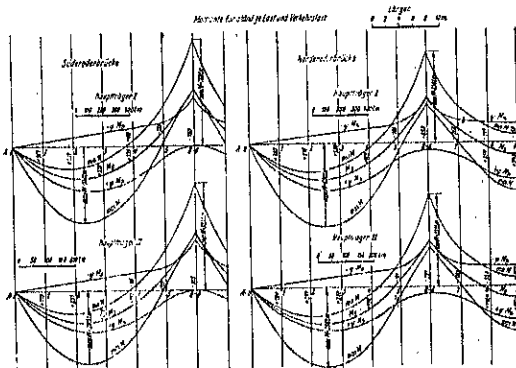
静荷重に依る主桁のモーメントは 2 距間及び 3 距間の連續桁に對する Groll の係数を用ひ、動荷重に依るモーメントは衝撃係数を  $\varphi = 1.36$  とし影響線を用ひ計算した。實驗上大した誤差が認められなかつたので、斷面の慣性モーメントは一定として計算した。

斯くて得た外側桁（主桁 I）及びその隣りの桁（主

桁 II）の最大及び最小モーメントを第 73 圖に示した。中央の桁は斷面は主桁 II と同じく、荷重及び應力小なる爲特に計算を行はなかつた。主桁 I の最大支點モーメントは夫々 760 tm 及び 658 tm で、夫々 383 tm 及び 381 tm の主桁 II の約 2 倍であるが、主桁 I の最大徑間モーメントは夫々 550 tm 及び 600 tm であつて、265 tm 及び 288 tm の主桁 II の 2 倍より大である。

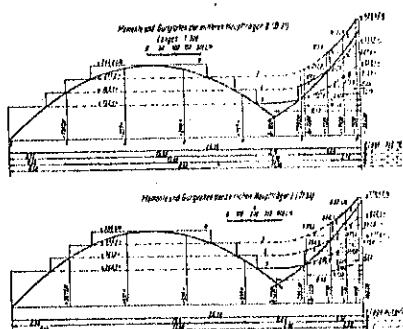
蓋板の配置は第 74 圖に依り知る事が出来る様に

第 73 圖 主桁の最大及最小曲げモーメント

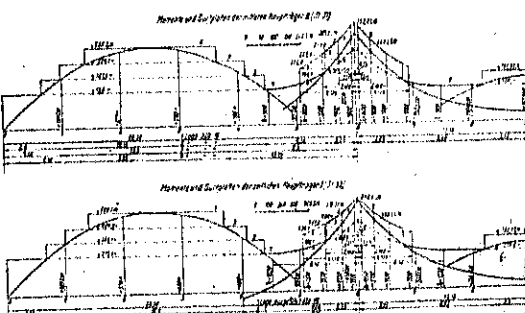


第 74 圖 主桁突線の蓋板の配置

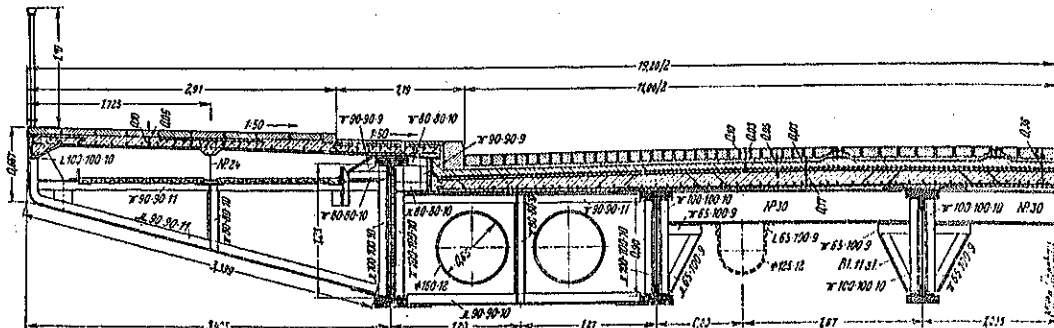
### 1. Süderoder 河の分,



### 2. Norderoder 河の分



第 75 圖 床版の構造



Süderoder には  $310 \times 15$  の板を、Norderoder には  $320 \times 16$  の板を用ひた。

高値鋼 St 52 からなる外側桁の最大應力は  $2100 \text{ kg/cm}^2$  に達したが、他の桁の應力は St 37 に対する許容應力  $1400 \text{ kg/cm}^2$  より小さかつた。

部材の結合は鉛に依つた。桁は殆ど總てが組立板橋である爲、鋸接工法に依る時は鋼重及び工費の減少するは當然であるが、之に伴ふ断面減少に依り強度が許容された大きさより超過する。又鋸接工法に依る場合必要な厚い蓋板が容易に得られなかつた。

桁の静止せる活荷重に依る最大挠みは  $4.15 \text{ cm}$  で、許し得る限界即ち支間の  $1/600$  の値が下である。

橋脚上に於て桁を支へるのに夫々 6 棟の轉動支承及び橋承を用ひた。横構は省略した(第 76 圖)。

2. 床版の構造 車道床版は厚  $17 \text{ cm}$  の、上下に十文字に鋼筋を有し、2 方向に連續せるものと考へた鋼筋コンクリート版からなり、長  $12 \text{ m}$  毎に伸縮目地を有する。歩道床版は支間夫々  $1.7 \text{ m}$  の 2 梁間連續桁と考へた鋼筋コンクリート版よりなり、厚  $10 \text{ cm}$  で、鋼筋として許容應力  $2400 \text{ kg/cm}^2$  の鋼鉄を用ひた。

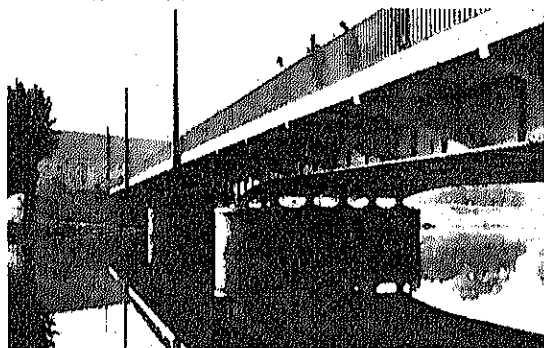
非道床版は 2 層の漆青黄麻に依り水密ならしめ、その上に厚  $4 \text{ cm}$  のコンクリートを施工した。

車道舗装には厚  $10 \text{ cm}$  の花崗岩小鋪石を厚  $3 \text{ cm}$  の砂床上にセメント目地とし用ひた。電車軌道は高  $10 \text{ cm}$  の特殊軌條を用ひ、その兩側に  $16 \times 18 \times 10 \text{ cm}$  の石を用ひた。自轉車道は硬鉛解アスファルト、歩道は花崗コンクリート板で舗装した。その間の境界石は高さ低く、特殊の構造に依り床版に取付けた。

高欄は直接桁に取付けず、側板の後に於て歩道のコンクリート中に埋込んだ。従つて補正が可能であり、僅かの傾きを避ける事が出来た。

照明し、電車の信號をする柱は高欄の外側、歩

第 76 圖 完成せる Universität 橋



道梁の端に特殊の柱端に依り取付けた。柱は矩形断面の鋼板よりなり、鋸接工法に依つた(第 70 圖)。

3. 橋脚及び擁壁の修復 橋梁の荷重をよりよく分布する爲、橋脚頭部を除却し、高  $1 \text{ m}$  のコンクリート台と置き換へ、もと通り花崗岩の粗石をした。橋臺に於ては土壁を支へる背壁を有した分布橋を施工した。そして Werderstraße 側の橋臺には  $1.80 \text{ m}$  後方に突出した對重版を附加した。之に依り路面の高くなつたため生じた土壁の増大を平均した。橋臺の上流は昔は僅かの餘地しかなかつたが、圓形の擁壁で結びつけたので島の上に跳躍の自由な空地が出来た(第 70 圖)。擁壁は  $+111.50 \text{ NN}$  に於て外は長  $6 \text{ m}$  の Krupp の鐵矢板、内は長  $5 \text{ m}$ 、厚  $12 \text{ cm}$  の木矢板上に載つてゐる。川下に於ては歩道の下に翼壁を設けた。

4. 施工 車輛交通は工事中隣りの Werderbrücke の上を通した。然し電車及び歩行交通に對しては橋梁の上流に幅  $7.50 \text{ m}$  の木の假橋を作つた。假橋は中央に單線の電車軌道を有し、代る代る反対の交通を許し、その兩側に夫々幅  $2.5 \text{ m}$  の歩道を設けた。假橋は距離夫々  $6 \text{ m}$  の 1 列の木の橋脚上に列べられた 6 本の工橋からなり、橋脚は交叉して設けた繩釘に依り固定した。水を

流す爲に夫々 10m の 2 徑間を設けた。橋梁の下流に幅 4m の工事橋を設け、横の橋脚と工行から成る轉動路に依り連結した。輥子を有する轉動橋に依り、鋪装及び床版を除却した舊上部構造を横に移動し、之を分解した。

次に工事橋の上に 12m の長さで現場へ到着した新上部構造の主桁を 2 つづ結合し之を鉛結した。そして之を轉動橋に依り横に橋脚に移動した。此の 3 つの軸對間の横桁を挿入する爲に軽い吊足場を用ひた。

1933 年 7 月に工事を始め北橋から取りかゝつた。1934 年 4 月終りには既に假橋及び工事橋を除却し、次に橋の東側の擁壁を施工完成した。従つて總工期は僅か 1 年餘りであった。  
(奥田秋夫)

### T 字頭起重機に依る Bay Bridge 鋼塔の建設

(H. C. Hunter, "Hammerhead derricks erect steel towers of Bay Bridge," E. N. R., June 20, 1935, p. 867~870.)

San Francisco-Oakland Bay Bridge に於ては塔脚が内方に傾斜し断面が段々減少する爲、特殊の建設方法が行はれた。即ち塔の上部及び下部には垂直隔壁を用ひたが、他の部分は  $7 \times 8$  ft の空洞になつて居るので、之を利用する事を考案し、T 字頭起重機を用ひた。T 字頭起重機は全然塔脚中で支へ、塔の夫々の断片を引上げ、又簡単に起重機自身を引上げる事が出来た。最も重い荷重を引上げる時には對重を用ひた。

**1. 設計** 上部及び下部を除けば塔脚は長 50ft の断片に分たれ、 $7 \times 8$  ft の空洞の 4 側に夫々 1 断片を取付け塔脚が 50ft 大高められる事になる。

T 字頭の主柱の長さは 108ft であつて、空洞中の支持長を 50ft として、次の 50ft の断片を組立てるのに充分である。2 組の断片の水平添接の高さは  $12\frac{1}{2}$  ft の差があり、高い方の現場添接を T 字頭の支點となし、特殊の附属物を省く事が出来た。

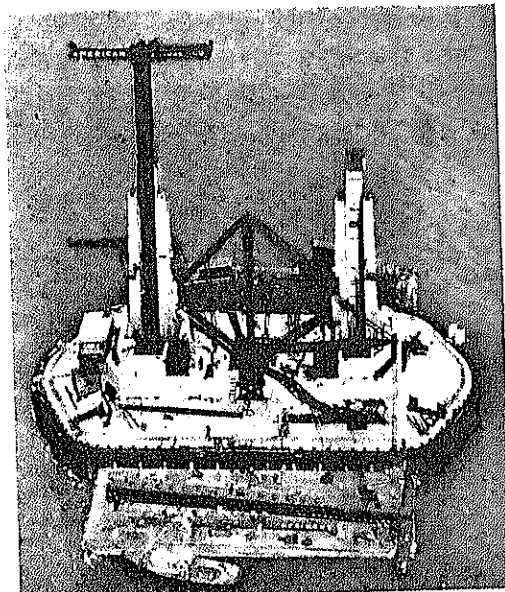
塔脚は内方に 12ft に付  $\frac{1}{2}$  in の傾斜をしてゐるので、柱の下端から 30ft に之と同じ傾斜をつけ、柱を垂直ならしめた。

最も重い断片は 78.5t で、空洞中心から 16ft の半径で引上げねばならぬが、ある高さから半径を 10ft に出来るので、半径 10ft、荷重 80t を T 字頭の設計荷重とした。半径 16ft の場合は對重を用ひ柱の曲げモーメントを減少せしめた。對重は簡単に揚卸出来、その間荷

重を迴轉しなかつた。

床支材及び對角綫構は荷重小であるが半径は 20ft である。塔の断片の取付けに T 字頭は  $45^\circ$  又は  $135^\circ$  回轉すればよかつた。

第 77 図 動臂起重機に依り組立てられた  
T 字頭起重機



**2. 構造と寸法** T 字頭の主柱は断面  $5 \times 5$  ft で、各隅に  $4 \times 4 \times \frac{1}{2}$  in の山形鋼、各邊に  $\frac{3}{8}$  in の鋼板を用ひた。下端に支持軸を取付け、之が現場添接箇所に取付けたブレケットに取付けられた。又下端から  $37\frac{1}{2}$  ft 上にジャッキを取付け、之等に依つて主柱を固定した。廻轉柱は断面  $3\frac{1}{2} \times 3\frac{1}{4}$  ft、長  $24\frac{1}{2}$  ft であつて、各面に  $8 \times 8 \times \frac{1}{2}$  in の山形鋼、各邊に  $\frac{1}{2}$  in の鋼板を用ひた。下端は環支承に支へられ、上部も環支承に依り主柱に支へられる。

横桁は廻轉柱の頂上に取付けられ、前後夫々長  $28\frac{1}{2}$  ft であつた。腹板は全長に亘り同じであるが、對重に依るモーメントが小さい爲、突端は後部の方を小さくした。

横桁の前部には 60lb 軌條、軌間 30 in の軌道を載せ、その上を運轉される車の前部には主絞轆の上部滑車としての 20 in の滑車輪を 6 個、その後部には補助絞轆に用ひる滑車輪を 2 個取付けた。

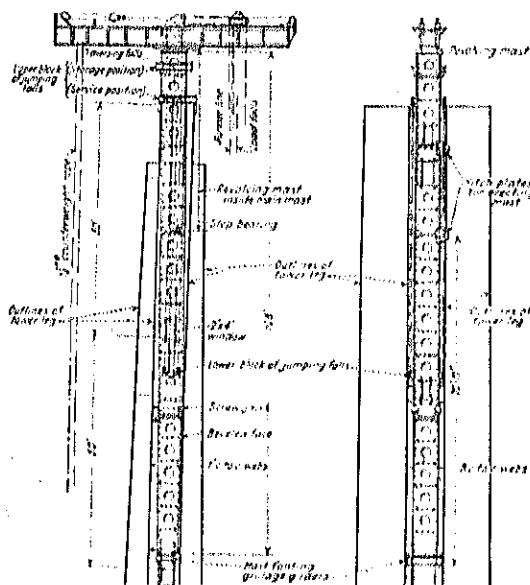
主絞轆は上部に前述の滑車を有し、下部に 5 滑車輪の滑車を有する 1 in の鋼索 10 部分からなり、その両端は柱の上の滑車輪を繩で柱の中を下げ、更に揚卸機開に達せしめた。補助索は直徑  $\frac{5}{8}$  in で大體同じ。

主絞轆及び補助絞轆は滑車を中心に向て引張る爲、之と反対に引張り滑車の位置を適當に定める事の出来る1in 鋼索を取付ける。

廻轉柱及び横桟は發動機 2 台に依り迴轉した。發動機は方向を變へる事が出来るが、方向に依り 5 馬力と 3 馬力とに變化するので、2 台を反對に組合せて方向に依り馬力の變化しない様にした。

對重は  $1\frac{1}{4}$  in の鋼索に依り横軸後部に吊し、鋼索の他端は橋脚に固定された綾轆に達せしめた。從つて  $17\frac{1}{2}$  t のコンクリート塊に依り  $35$  t の荷重をかける事が出来た。

第 78 圖 T字頭の細部



3. 建設方法 先づ第一に橋脚上に動臂起重機を組立て、その 85t の動臂に依つて解から鋼材を引上げた。塔脚の 3 方の断面（高 75ft）を組立てた後、その凹所に T 字頭を組付け、更に残りの断面を取付けた。次に T 字頭を引上げて支持桁を現場溶接にボルトで取付け、T 字頭装置を完成した。

動臂起重機はその後は解から鋼材を引上げ、之を半字頭の處理に都合のよい位置に据えるのに使用した。

對重の揚押しは極めて簡単であるから、始めは 50t 以上の断片に對し用ひる敢定であつたが、重い荷重に對し之を忘れる危険を除く實験にて、常に之を伸ばすを

T字頭は夫々隣接する對角綫構を引上げ、水平支柱及び主桁の取付けには 2 つの T字頭を同時に使用した。最も大きい断片は幅 8 ㍍、高 14 ㍍、長 55 ㍍、重さ 70t で

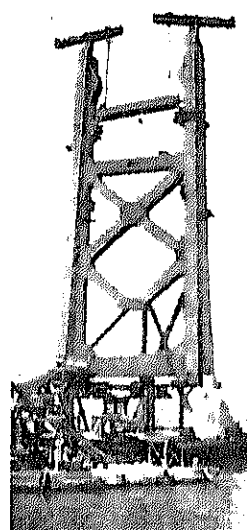
三九

4. 起重機の引上げ 建設の進むにつれて引上絞轆に依り T字頭を引上げた。引上絞轆は  $\frac{1}{4}$  吨 鋼索 8 部分よりなり、下部滑車輪は主柱の下端に取付けられ、上部滑車輪は最後の塔脚片の頂上にある横構造の一部をなしてゐた。2 組の絞轆に同じ荷重のかかる様にする爲、1 本の鋼索を共通に使用した。

引上げる時の抵抗を少くする爲、支柱と空洞壁との間に帽子をぬき鉛錠用を動かせる様にした。

塔を50孔継ぎし、対角緩衝を取付けボルトで假締した後上述の横交環を塔の頂上に取き、ジャッキをゆるあボルトをはずして、重十字頭を少し引上げブリケットをはずした。そして引上げ板に依り重十字頭を引上げ、ブリケットを上の現場添接にとりつけ、之に支持桿をとりつけジャッキを止めた。同時に水平隔板を所定の位置迄ねるし取付けた。之で上部環はすんだ事になる。

第 79 圖  
上部床支柱を取付けたとする T 字頭

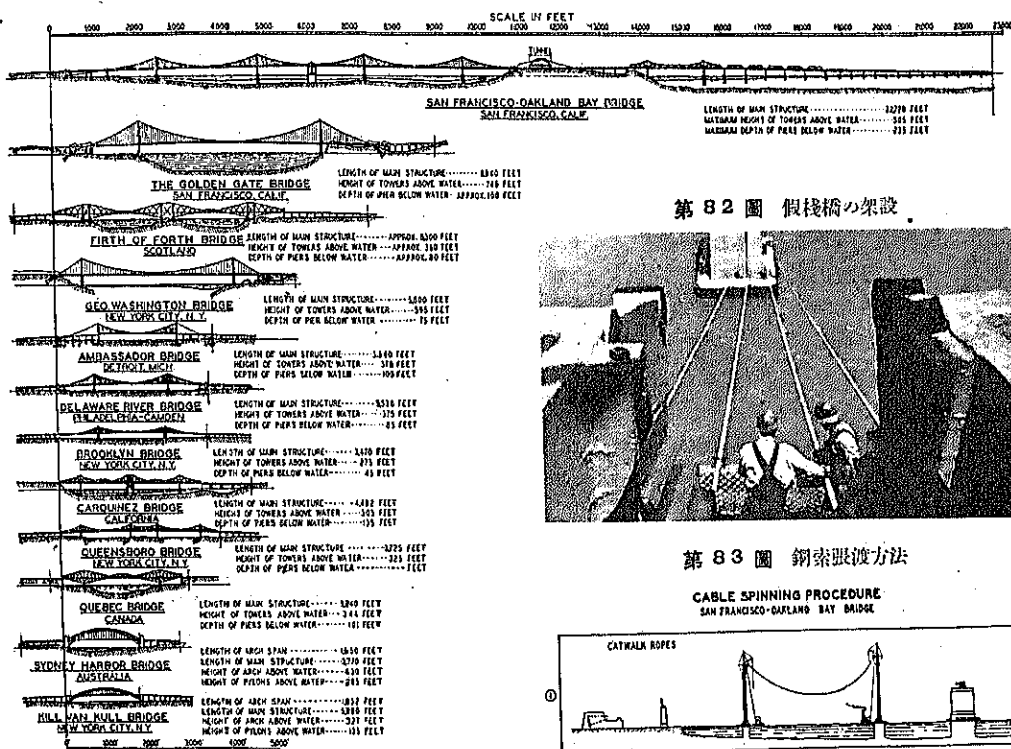


塔自身が出来た後に上部支材上に操作動臂起重機を据え、之に依り平行頭を取り去り、最後の隔壁、蓋板等を取付けた。錫銅板は 40t で操作動臂起重機では引上げられぬ爲、T 字頭を用ひて敵め引上げておき、後に所定の位置に据えた。

事情に依り第 1 及び第 4 の塔の進行はおくれたが、第 2 及び第 3 の塔の建設期間は 1 日 1 時間 1 週 5 日間繰り延べて生産性であった。

揚卸機は移動の便宜の爲めに据付け、鋼材を運搬した  
際上反対の機脚側によく付

第 80 圖 世界最大の Bay Bridge と他橋梁との比較



(奥田秋夫)

## Bay Bridge の鋼索張渡し

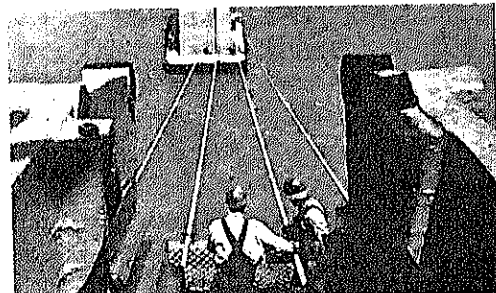
(C. H. Purcell, "Great San Francisco-Oakland Bay Bridge will be completed August, 1936," Bay Bridge パンフレット June 1, 1935.)

1933年7月9日着工された San Francisco-Oakland Bay Bridge は現在下部構造を完成し、假棧橋架設

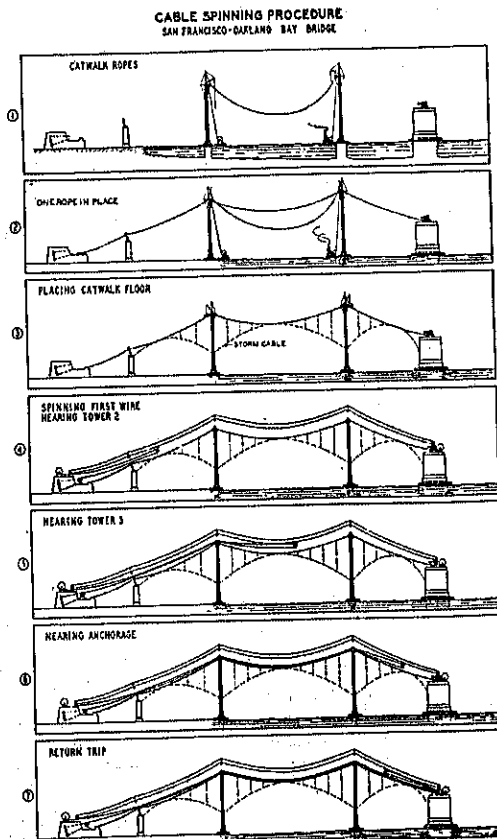
第 81 圖 假棧橋の架設



第 82 圖 假棧橋の架設



第 83 圖 鋼索張渡方法



設中であるが、1986年8月には完成の検定である。假棧橋の架設は鋼索張渡しの爲である。此假棧橋は 66ft 離れて塔の各脚上に平行に 2つ設けられ、吊橋の鋼索の位置の直ぐ下に張られてゐる。夫々幅 10ft で  $2\frac{1}{2}$  ft 間隔に張られた徑  $2\frac{1}{2}$  in の鋼索に依り支へられ、その下に 10ft 間隔に木材が取付けられてゐる。又  $1\frac{1}{2}$  in の鋼索を  $3\frac{1}{2}$  ft の高さに假棧橋の両側に張り手摺りとしてゐる。

San Francisco 側の假機橋は 6 月中旬完成する豫定で、直ちに銅索の張渡しに取りかかる。

次の段階は紡車及び引張索の架設である。引張索は無端索で假橋脚の數呎上に張られてゐる。先づ鋼索に使ふ針金を巻いた巻框を San Francisco 側及び中央鉄道にねぐ。そして巻框から針金を引出し、徑 4ft の紡車に巻きつけ、之を引張つて他端に至り轆にひつかける。更に之を繰返す紡車は各索に 2 輪あつて、反対の傾碇から出發し、橋の中央で出遭ふ。針金は平行に同じ重れを有する様に張られる。即ち各針金に同じ荷重のがゝる様にする爲には垂れが同じでなければならないので、針金の高さは特に注意して測量する。

1鋼索の17404本の針金が張られた時、強力な締付機に依つて出来る限り小さく締付ける。そして結凍帶で所々しばり固い形にする。後に針金でその上を巻く。

此の作業を行ふに當つては數ヶ月に亘る準備計算が必要である。即ち橋の架つた時正しい位置になる様に鉄金の高さを決定する。その結果に依れば鋼索の位置は最後の位置よりも約 22 ft 低い場合と、反対に約 15 ft

高い場合とがある。

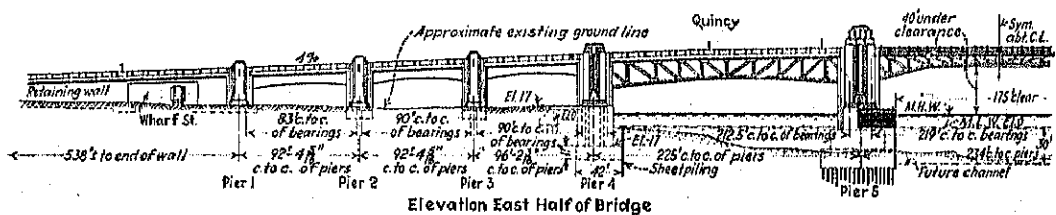
(奥川秋夫)

## Boston 海岸道路の新橋梁

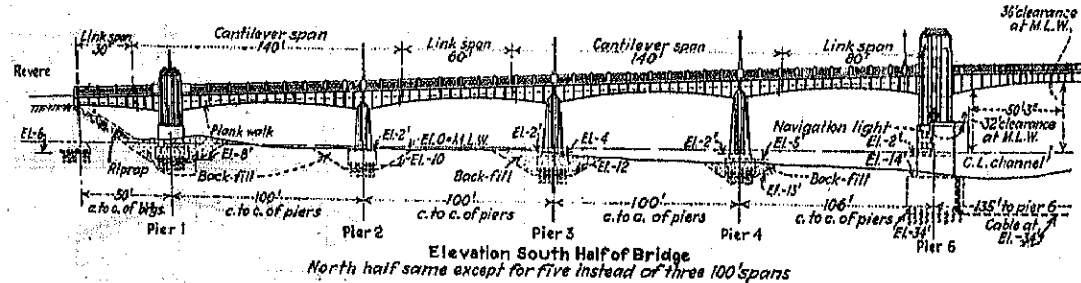
( "New Bridge Remove Bottlenecks on  
Boston Shore Highway." E. N. R.  
July 18, 1935, p. 71~75. )

Boston の北及南方海岸道路に於て交通上堪穢をなし且つ船舶の航行を妨げてゐた Saugus 及 Fore River の舊橋を工費各約 100 萬ドルにて Massachusetts 州土木部が架換工事中である。新橋梁に現代幹線道路の橋梁設計の傾向を示すものにして、技術的に重要なは幅員頗る廣く比較的長徑間の跳開橋にして又下部構造に一二の特異な點がある。2つの路線選定に於て横断條件が類似し、異なる構造の同一形式の橋梁とした。(第 84 図及第 85 図) 道路の一部なることを強調するため上路式とし、大なる半径の縦断曲線を入れ水路徑間にて充分な空高を與へた。兩橋共中央水路にて跳開徑間としたため側面より見て取付徑間とよく調和し且つ航行を妨げずに架設し得た。可動橋に就て、車道幅 60 呎の跳開橋は多數の動軸材を有する大徑の中央橋脚を要し、跳開又は昇開式よりも工費が高いであらう。比較算定の結果 Fore River 橋では跳開式と昇開式は略々同額で Saugus River 橋では昇開式の方が高かつた。跳開式の中 trunnion 式と rolling-lift 式とではこゝに採用せる rolling-lift 式が有利であつた。Fore River 橋に於ける 8-長徑間受けが構筋で、他は全部鉄筋で、筋の必要高

第三十四圖



第 85 頁



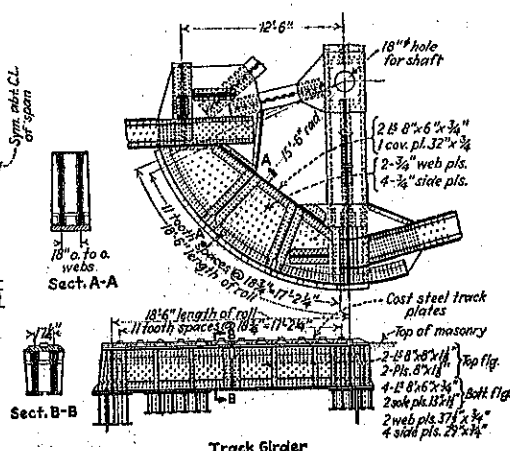
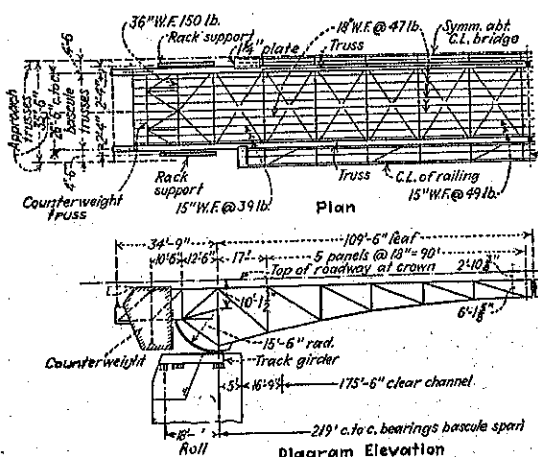
を與へ且つ鋼材が鹽水の作用を受けぬために、敢て經濟的徑間長を若干犠牲にした。水路徑間に對し充分な空高をとつたが、Fore River 橋にて現在河川交通を以てして新しい空高にては跳開を 7 對 1 に減ずると見込まる。兩橋共空高を大にせるを以て跳開運轉の對重を橋床下に置き得て外觀上宜い。

Fore River 橋：舊橋は幅員僅かに 29 呎、加ふるに水路徑間は旋開式で中央橋脚が航行の障害をなしてゐた。新橋は舊橋と同じ線形をとり、舊橋は工事中廻り道として使用するため下流に移設した。土留擁壁取付道路を含み新設延長 2414 呎。構架支間は上路構架、取付支間は飯桁何れも 5 列とす。下部構造—基礎地盤は堅い砂礫であったが、跳開橋脚には杭打基礎を要した。取付 No. 4 橋脚に滑動抵抗を與へるため之に接續して用ひたアンカーブロックの下にも杭打をした。此橋脚は水線に在り、アンカーブロックは轉覆に抗し安定を助ける。橋脚背方 25 呎に設定し 18 吋厚の筋筋コンクリート版で橋脚に連結したが之は所要の安全率をとるため基礎を擴げたり杭打をするより廉い。跳開支間—普通の床下對重式で平面寸法 288×77 呎にして之を縱横に分け 4 葉とし、各 144 呎長（耳軸心々 109 $\frac{1}{2}$  呎）主構架間隔 26 $\frac{1}{2}$  呎。常態では並列 2 葉が定着し共動するが別構造にして置くことは橋梁の半分を閉め交通を妨害せず修繕し得る利點がある。詳細は第 86 圖。橋面はクレオソート注入木材及び磨耗面としてアスファルト橋板を用ふ。設計荷重は H-20。7 呎 8 吋突山プラケット上に歩道を設け、4 $\frac{1}{2}$  呎長のプラケットを突出し隣接する葉の内側構架間にて橋梁中心線に沿ひ縦桁を支へてゐる。

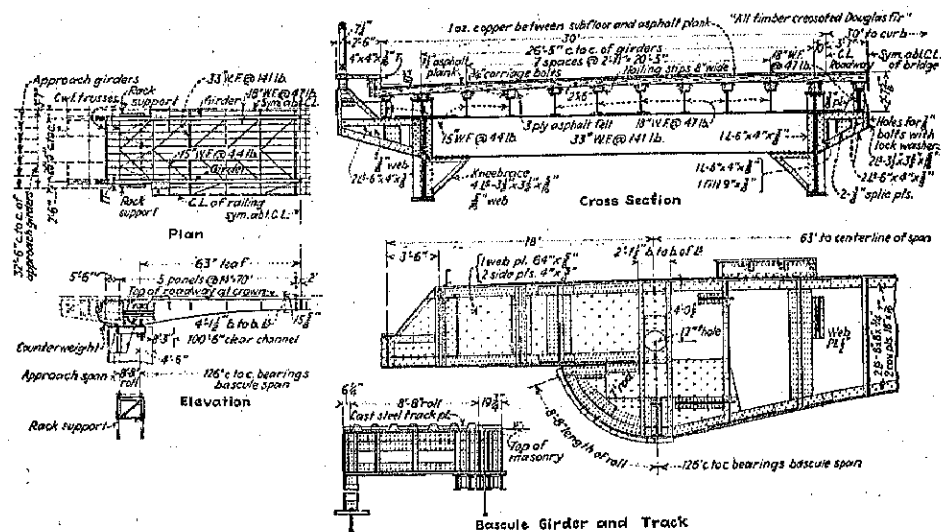
跳開運轉機構—4 葉に分割し何れも別々に運轉し得、各葉は自重 825t に對し對重 100t にて釣合ふ。機構 4 組を設け、固定齒棒と 2 連轉小齒輪により 2 台の 50 馬力電動機を以て開閉共に 1 $\frac{1}{4}$  分で運轉される。勿論手動裝置も備へ、跳開橋の端から約 100 呎に交通停止するため電動機運轉の水平旋開扉を併へ此扉に近く交通信號器を設けた。開閉器を選んで任意の組合せの電動機を運轉し得、兩葉共、橋端の塔に設置した一連轉室から運轉され、抵抗器や制御器はその下の配電盤室に設けられた。橋、扉、交通信號器は全て正當な順序に於てのみ動く様に聯動裝置とした。

Saugus River 橋：—Fore River 橋と比するに跳開徑間も取付徑間と同じく飯桁を用ひ、橋脚は全部杭打基礎を必要とした。又取付支間の飯桁が單桁であるに對し之では突桁式飯桁である。跳開橋は同じく 4 葉からなるが各葉の長さが 81 呎（耳軸心々 63 呎）に過ぎぬ。此新橋は幹線道路上最後の橋頭（舊は 26 呎幅の跳開橋）を除去するのみならず南側取付に於て之を横断する鐵道及道路を全て立體交叉（4 徑間連續鋼桁構造）に改良した。下部構造—地形上交通遮断せず舊橋の傍に架設し得た。基礎地盤は EL.-90-100 の粗砂礫までは軟青粘土でその上に泥沙及介殼の層を成してゐた。橋脚基礎は全部粘土（支持力約 1000 lb/ft<sup>2</sup>）中に 50~100 呎長の木杭を用ひた。Fore River 橋と同じく基礎は全部花崗岩で面を覆ふた。取付支間—上部構造詳細は第 87 圖。全幅員 72 呎の中車道 60 呎歩道 8 $\frac{1}{2}$  呎及 9 $\frac{1}{2}$  呎にして、飯桁は腹  $\frac{7}{10}$  吋突緣山形  $6 \times 6 \times \frac{5}{8}$  吋及蓋板で集成され 7 列とす。突桁と吊桁の結合は  $3\frac{1}{2}$  吋直徑のビン

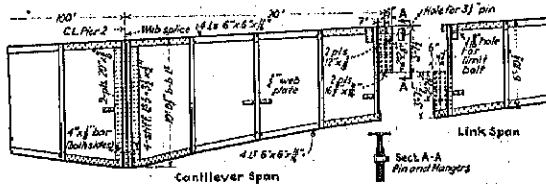
第 86 圖



第 87 圖



第 88 圖



と垂直吊材による(第 88 圖)。取付支間の車道は鋼絞桁を使用せず 10 吋コンクリート床版に各列鋼桁の上でハウンチをつけた。橋面の縦勾配は南 4%, 北 2.4% で跳開支間は半径 6500 呎の綫断曲線長 154 呎の上にある。跳開支間——跳開は 4 菜でなされ各 81 呎長の菜は心々 26 呎 5 吋間隔の桁高 4~11 呎の 2 鋼桁から成り、38 吋 141lb 斷面の床桁は鋼接上にて鋼桁に取付く。他の點は全て Fore River 橋のそれと同じである。

(長瀬新)

### Niederfinow 運河昇降機の扉に就て

(Pierre und Hans Koch, "Die Tore am Schiffsbewerk Niederfinow," Bautech. 18.  
Juni 1935, S. 333~344.)

Niederfinow 運河昇降機の扉は水槽扉と運河區の扉とに區別せられる。水槽扉の各は昇降機の水槽を其の両端に於て閉塞し、運河區の扉の各々は上流或は下流の運河區を閉塞するに用ひらるゝもので水槽が升航に使ふる時之等 4 つの扉が閉塞される。即ち水槽が

上流或は下流の運河區に當れば充分適當な高さに達した時に水槽端は其れに對應する運河區締切と水槽閉塞装置によつて固く遮格され然る後水密に閉塞された水槽と運河區との隙間は導管の摺瓣を開いて運河區からの水で満される。かくして兩方の扉は開かれ船は水

第 89 圖 Niederfinow の昇降機



槽から運河區に導かれる。

運河區の扉が俄に使用不可能になつたり、或は修繕を必要とする場合昇降機が繼續迴轉出来る様に前記扉の前に一つの同じ大きさの補助扉が水密的に設備されてゐる。又下流運河區の締切の所に補助扉として第2の扉が設備されてゐる。且下流運河區の締切を時々排水する爲に簡単に角落しによる締切が設備されてゐる。

2つの扉の1つが役に立たなくなり或は交換の必要を生ずる場合水槽の兩端に對して適當な第3の扉が下流の運河區の岸に横たへられてあって、之は平底船により運搬され昇降機の足場から取上げられ水槽中に設置できる。

昇降機の扉は皆引揚扉である。之は昇降機の縱の方に向に値かの場所しか必要でなく、監視が容易で必要な場

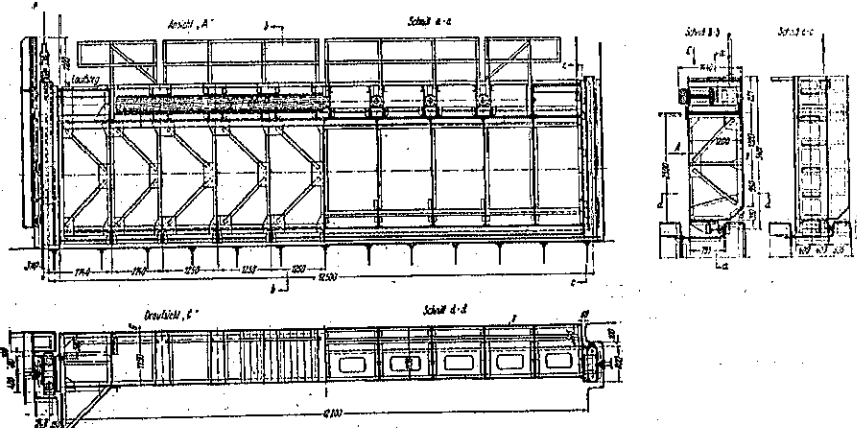
合修繕も簡単で而も迅速且水密なる閘塞が保證できる爲である。

扉の計算は40cm/secの速力で進行する1000tの船を受止められることを基礎としてゐる。其の際各扉は彈性限界( $\sigma_{zul}=2700\text{ kg/cm}^2$ )まで働く。船の衝撃は水槽扉の場合は扉に付けた緩衝梁により、運河區の扉及び補助扉の場合は浮遊する木製の反撲梁によつて阻勢される。之等の反撲梁は扉に向つて40cm/secの速力で進んで来る1000tの船が10cm/secの速力で扉に衝突する様に航跡の不意の衝撃を軽減する。

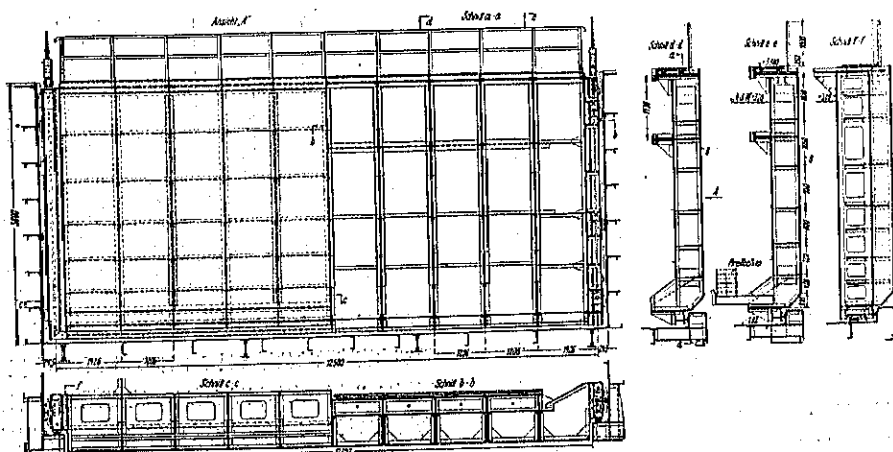
扉はSt.52で作られ鍛接でなく普通の級鉄で製作されてゐる。詳細は第90, 91, 92圖の如くである。

水槽扉は規定の水深は2.5mであるが過つて縁まで満された場合を考慮して水深3.0mに對して計算され

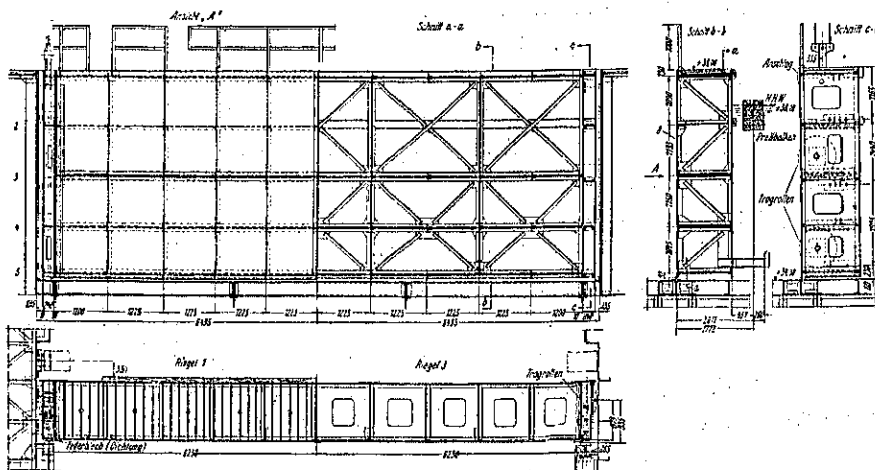
第 90 圖



第 91 圖



第 92 頁



た結構式扉である(第90圖)。

運河区の扉は上流のものは水深 3.0m で、下流のものは水深 4.7m に對して計算されたもので共に堅梁式扉である。(第 91 圖)。補助扉は水深 3.9m に對して定められ結構式扉である(第 92 圖)。

水槽扉と捕助扉の張鍍は水平に交り合ふ 2枚づゝの鍍よりなり梯形荷重を等布荷重に換算して計算されてゐる。運河扉の扉は上から下に通つてゐる鍍よりなり上流のものは 5 次、下流のものは 7 次の不静定として計算されてゐる。計算から出た張鍍の厚さは 8mm (水槽扉の場合は 6mm) であつて、扉は大抵水の外に揚げられてゐて常に塗装 第 93 圖

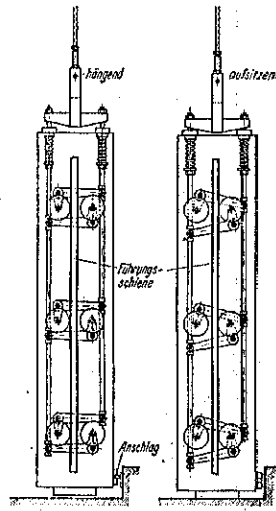
第 93 圖

を調べ修繕できるか  
らこの厚さで充分で  
ある。

扉は皆片側に手摺を有する歩廊を備へてゐる。この歩廊は扉が閉塞した場合昇降機の足場と同じ高さになる。

水槽扉と巡河區の  
扉は兩側で3對の  
轆子によつて導かれ  
る。轆子の間にある  
導軌條は扉が揚げら

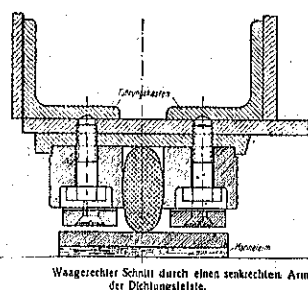
### る時水壓側の根子



に滑る様に導溝中に取付けられてある。帳子は第 98 図に示された如く扉體に廻轉中心で緊結された膝屈横杆に取付けられて居る。扉は膝屈横杆及その他端に取付けられた彈條體の作用により下された時自動的に水止材(Auschlag)に壓し付けられ水密となる。この膝屈横杆と彈條體とは棒の中に防護されてゐて唯導轉子と 2 個の前面輪子のみが棒から突出して居る。

水槽扉と運河区の扉は水断面積の廻りに U 形に取付られた長軸 68mm 短軸 42mm の梢圓形をした護謄帶によつて水密になる(第 94 図)。この裝置の特徴は水密に確實性があり護謄の取換が出来る様になつてゐることである。

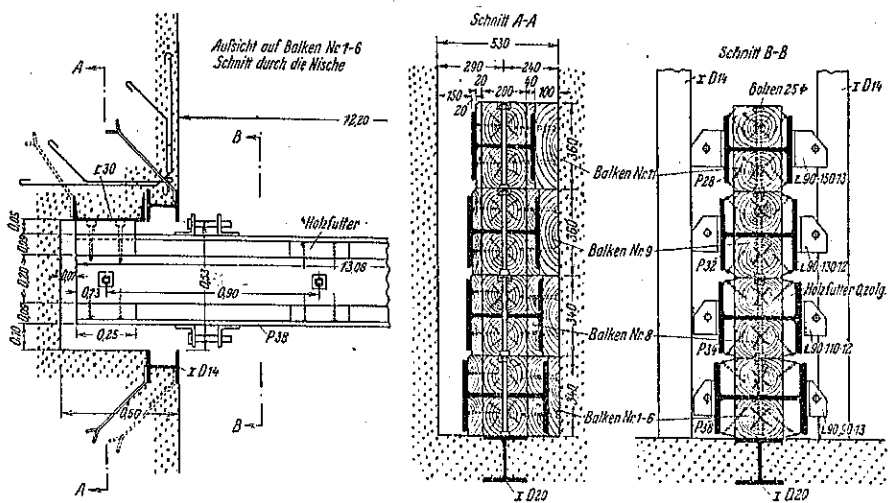
第 94 圖



#### Waagerechter Schnitt durch einen senkrechten Arm der Dichtungsleiste

補助扉は一方水壓の場合閉塞される故、扉の誘導装置及び水密装置は他扉と異なる。即ち 3 枚の導轆子の外に両側に 2 個の支承轆子を有し又鋼鐵構造に取付られた金屬板に對して金屬帶を壓し付けてある彈條釦によつて両側が水密に保たれるのである(第 92 圖)。

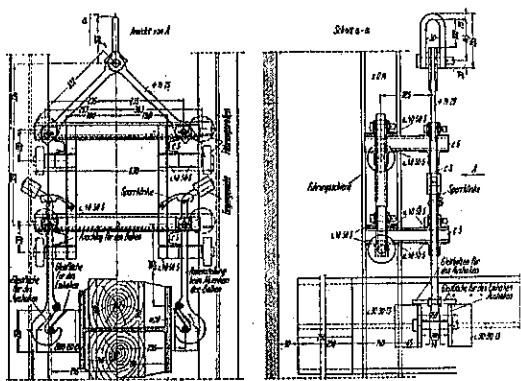
## 第 95 圖



下流通河區の扉の不慮の修繕を必要とする場合底部工事の假締切をする爲に角落しを設備してゐる。角落しの長さは 13.06m, 従間 12.20m で閣以上 3.8m の高さを有して居る。然し 4.7m の水壓に對して計算されてゐる。第 95 圖に示されてゐる様に角材を適當な方法で組び付けられた 11 個の鋼鐵梁によつて水密壁が形成される。

角落しの嵌込み、及び取外しには特殊な考案による 2 つの鉄が用ひられる。即ち第 96 圖に示された様に鉤に

## 第 96 圖



ついてゐる滑動ボルト、掣子及對重等の作用で嵌込み及取外しに際し自動的に把握し或は開放できる様に作られてゐる。

東の連絡水路或は水路橋の不時の漏水の際出来るた

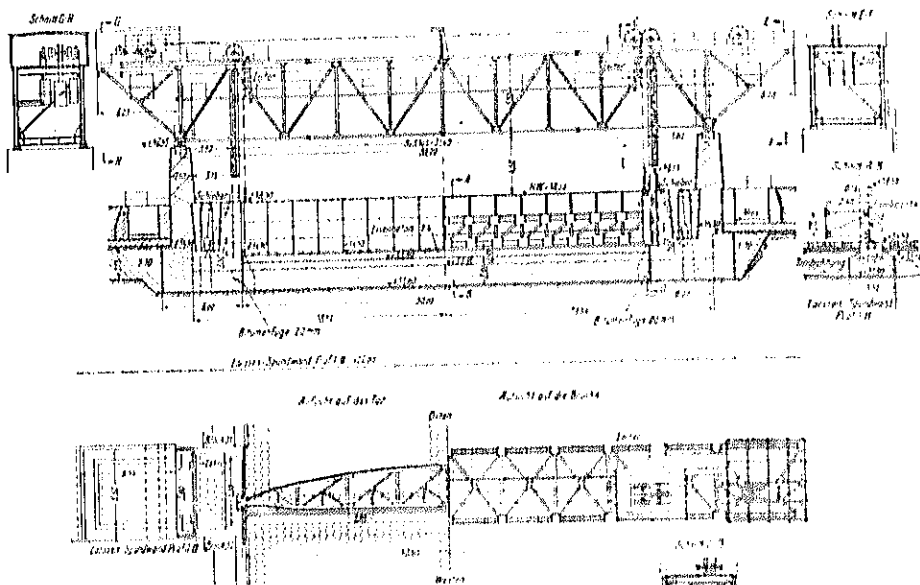
け水量の損失を少なくする爲に、尙水路橋の排水、検査及修繕を容易ならしめる爲に昇降機の上流 289m の所に従間 30.0m の安全扉が設けられてゐる。

扉は第 97 圖に示された様に長軸の廻りに 90 度迴轉された支間 30.5m の結構橋の形をなしてゐる。主構の上流側の弦は厚さ 12mm の板よりなる高さ 4.0m の止水壁が付けられてあり、下流側の弦は魚の腹の形に橢曲してゐる。主構の距離と高さは荷重を出来るだけ平均に擔ぶ様に定められてゐる。扉の水密装置は底部は鋼筋コンクリート闇に對して釘付された黄麻の帶を付けてゐる樹木製の梁によつて水密になる。これは對重によつて平均されない重量(1.5t)により壓付けられる。兩側は水壓により壓付けられる木線を有する厚さ 2mm の彈條板によつて水密となる。

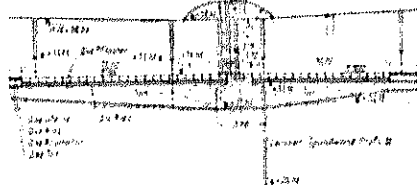
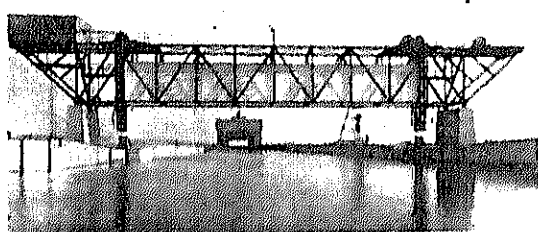
扉を懸吊してゐる橋梁は 2 つの橋脚上に支へられ兩端に突出部を有する結構橋で、突出部には對重が掛けてあり、且北方のものは機械室を乗せてゐる。詳細の寸法は第 97 圖に示されてゐる。橋の有効高と主構の距離は扉が引揚げられた時、止水壁の東に残された空間に幅、高さ共 2.0m の歩廊を納める事が出来る様に定められてゐる。第 98 圖は其の外観を示してゐる。

(小林重一)

第 97 圖



第 98 圖



### Niederfinow 運河昇降機の鋼構造

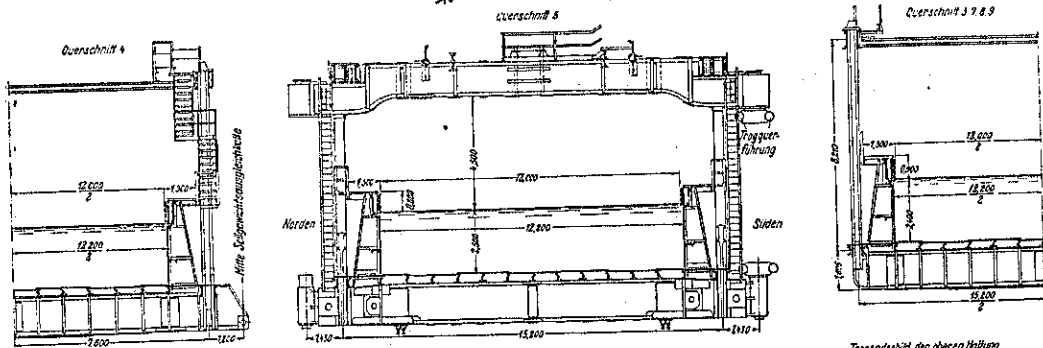
(Plarrer, "Die Stahlbauten des Schiffshebewerks Niederfinow," Buntech. 18., Juni 1935, S. 315~350.)

此の運河昇降機は船橋、鋼構脚、下流運河部昇降室及び水路橋の4部分より成る。鋼構脚は船を浮べて上下せしめる船橋の長さの方向に滑らて置かれその上の兩側に64宛の滑車を持ち、此の滑車を通ずる鋼索は一端に船橋を、他端には之と釣合ふべき對重を持つて居る。更に此の鋼構脚は船橋と對重との間の釣合が破れた場合に其の過重を負ふべき螺旋支柱を支へて居る。(即ち此の螺旋支柱は直接支臺上に乗らないで内側滑車支持架に吊つてあるので水槽に水が無い場合に迴轉昇降子に依る上海反力が螺旋支柱の大きな重量と消合つて好都

合に働く)。最後に此の鋼構脚は上流運河側と運河昇降機を切離す為の引揚扉及び船槽の引寄並びに其の運轉の設備等を支へ。尚水路橋の東側支臺から傳へられる力をも受ける。鋼構脚に接種して作られた下流運河部昇降室は下流運河部に取付られた引揚扉、船槽の取付設備及び其等の運轉設備を支へる。

設計荷重として風荷重は運轉中は  $60 \text{ kg/m}^2$  運轉を中心とした場合には  $200 \text{ kg/m}^2$  とした。之に就いては 1926 年に施工地點の近くに Hamburg の精密技術機械工場製作の Steffen-Hedde の自記風速計を設け其の頂部を丁度運河昇降機の鋼構脚の頂部に一致せしめて観測した結果現在迄の最大風速として 1928 年 7 月の破壊的暴風の時の風速が極めて  $32.7 \text{ m/sec}$  に相當する風速は  $78.9 \text{ kg/m}^2$  であったから、運轉停止中の風荷重としては  $200 \text{ kg/m}^2$  で充分と思はれる。又船槽に對しては危険時として船槽が運河の上流部又は下流部と連絡さ

第 99 圖



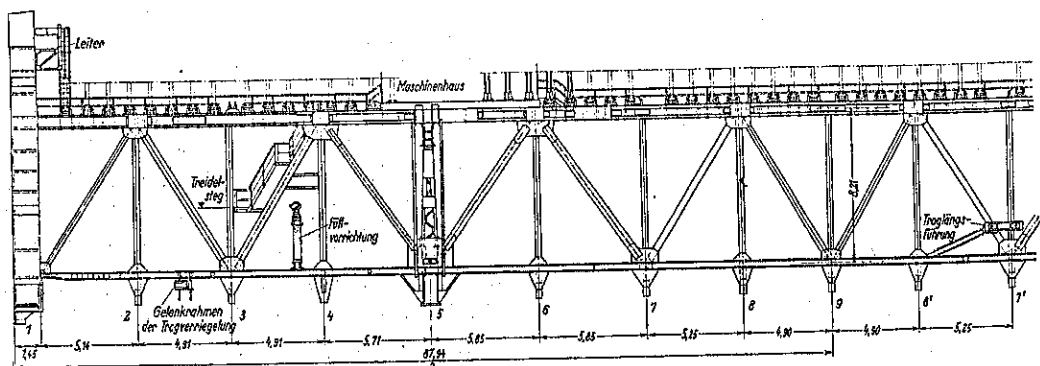
れて居る時その船槽の中で一つの船が沈没する場合を考へねばならない。此の際船が斜に沈んだ時の衝撃應力の他に又船の空隙に流れ込む水の爲に鉛直方面の荷重が大きくなる。最後に 1000t の船が 40 cm/sec. の速さで扉の方に向つて船槽の中へ入つて来る場合を考慮し扉は之等の衝撃に耐へ得るものでなければならぬ。

將來内陸運河の完成に依つて東部地方の水路に沿 1000t の運河航行船を通し得る様になつた時、此の Hohenzollern 運河を此の船が通行出来る事が是非必要であるから、船槽の寸法は 1000t の運河航行船 ( $80.0 \times 9.0 \times 2.0$ m) 及び 1000t の河川用船舶 ( $80.0 \times 10.5 \times 1.6$ m) を標準として有効長を 85m と決定した。次に船槽の有効幅員及び水深に就いては、種々の大きさの船に就いて色々の組合せを考へ、其の運轉能力や船が船槽に入る時に其船の受ける抵抗力及びそれに要する時間等を考慮し、更に槽底を傾斜せしめた時の水量の減少従つて重量の輕減及び工費等の總てを考慮し、研究の結果有効幅員 12m 水深は一様に 2.5m と決定した。

第 99 圖の船槽は主として小槽と之を支へる水槽結構より成り重量を小にする爲全水槽には St. 52 を用ひた。水槽側壁の天端は水面以上 0.80 m とし此處に水槽に沿うて兩側に幅 1.25m の歩廊が設けられて居る。水槽は縦梁と板張より成り、其の縦梁は水槽構造の横梁上に綴糸で固定せられて居る。板張には仙銅又は銀板が好都合であるが、接手が多くなり又多量の水が入る結果水槽の重量が大となるので普通の銅を用ひた。底板は縦梁から縦梁へ達する單純梁として計算され又無限に多くの支點を持つ連續梁としても計算された。側板も同様の計算を行つた結果何れも厚さ 11mm 但し側壁の上部腰板を有する部分は 8mm を用ひる事に

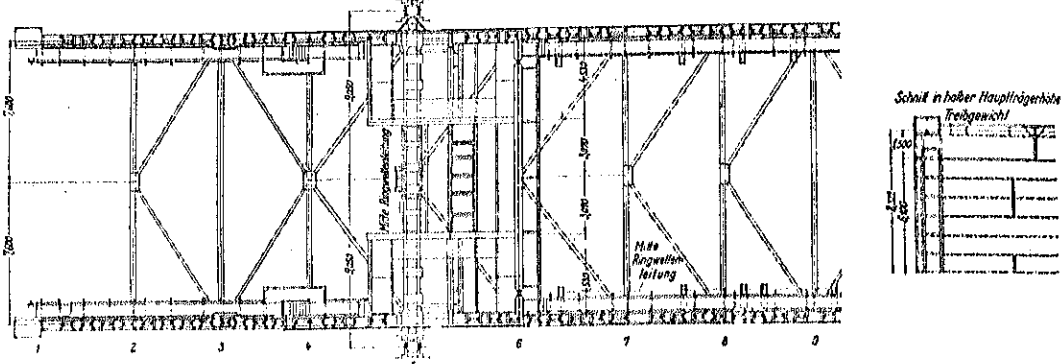
第 100 圖

水槽結構側面圖



第 101 圖 水槽結構平面圖

Draufsicht auf den Trog

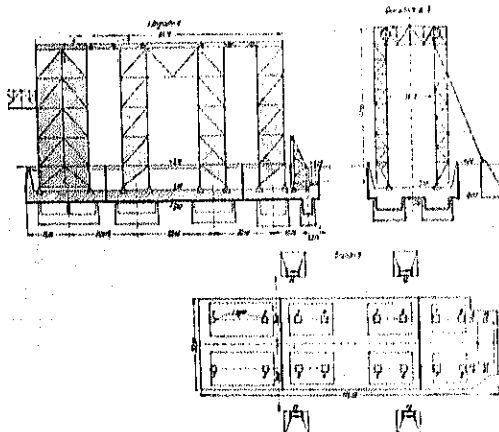


した。

水槽構造は橋梁主梁より成り其下は横梁で連結されて居る。又上は對風檻にて補剛せられ(水面以上4.50mの空間を有す)、特に其途中3個所は主構架で又端は端構架にて補剛されて居る。此の主構架及び其に屬する横梁は破壊時に對重又は水槽の全荷重を昇降機の鋼構脚に傳へるべき4個の迴轉昇降子を支へるものであるから特に丈夫に作られて居る。主構架は此對風檻の上に作られた水槽起動の爲の機械室をも支へるものである。尙水槽の底が補剛材として働くと考へられるから下部對風檻は省略した。

水槽構造の形は第 100, 101 圖に示す様に長さは全體で 87.94m、有效長 85.04m、高さ 8.21m、主梁中心間隔 15.20m である。主構架の相互距離は萬一の場合に際し迴轉昇降子が螺旋柱に支へられる時に水槽構造に最適都合な静力學的關係を生ずる事を標準とした。其の

第 102 圖 鋼構脚概略圖

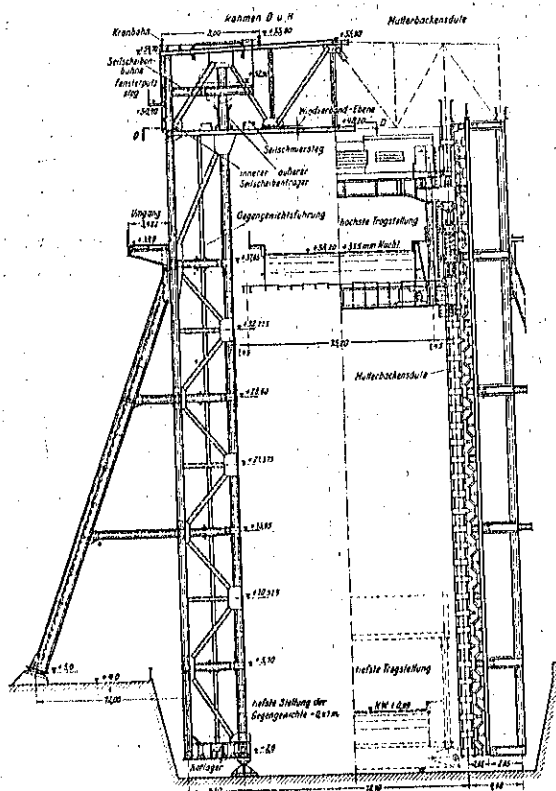


理論的の値は約 48m<sup>3</sup>であったが、外觀等も考慮に入れて 48.70m<sup>3</sup> したと。従つて主梁は突出梁を有する單純梁として橋梁の様に作用する。

次に船槽及び其の對重を負ふ運河界昇機の鋼構脚は上部のみ對風檻にて補剛せられた 8 つの構脚面より成る(第 102 圖)。之に對しては約 60m 船の基礎工を必要として、此の構造物の確實な基礎を普通の工法を以て造る時は絶大の注意と法外な費用を要するから、我々は此の構脚断面に對し第 102 圖平面圖に示す様に基礎工の幅を 93.50m とし、別に 4 本の側支柱に對し小さな基礎工を作る事にした。尙試録の結果上流運河區閉塞工の重量を小路橋の構脚にかける事は好ましくなかつたので、此の鋼構脚を小槽の長さより遠かに長く上流側に延長し上流運河區閉塞工の重量は總て此の構脚にかける様にした。第 103 圖に示す様に構脚は横斷面を見ると 2 鋸構脚より成り其内水槽起動設備を負ひ且螺旋柱の固定されて居る 2 鋸構脚は側支柱に依り支へられて居る。又縦断面では第 102 圖に示す如く 8 つの 2 鋸構脚があり、常に其左右 2 つが補剛脚で連結せられて 1 つの立體的複構脚に成つて居る。其の 4 つの立體的複構脚の内中央にある 2 つは上を特殊の連結材で長さの方向に連結して 1 つの固定構脚として働く中央塔を形成する(其の 4 側に 4 本の螺旋柱、階梯齒軸及び 4 本の側支柱がある)。西塔は幅の廣い 2 鋸構脚より成り外側及内側滑車支持梁に依り中央塔と長さの方向に可動な様に連結されて居る。残る 2 つの 2 鋸構脚より成る東塔は西塔の半分の幅を有し之は滑車支持梁に依り中央塔と周定的に連結せられて居る。結局此の構脚の有效長 93.70m となつた。

構脚側面は第 102 圖縦断圖に見る様に 5 段に分かれ

第 103 圖 鋼 構 脚 橫 斷 圖



各段は斜材に依り補剛されて居るが、其の各段の高さは美觀、水路橋との取付、歩廊支持の片持梁の取付等を考慮した結果一様でなく最下段 7.10m、中間 3 段各 10.85 m、最上段 10.55 m である。断面に於ては第 102 圖横断圖如く上の 4 段は更に 2 分せられ、只側支柱の働く所だけは最上段を 2 分せず側支柱を延長して斜材として挿入した。

構脚の個々の部分の多次不静定は次の如き状態に於て生じた。

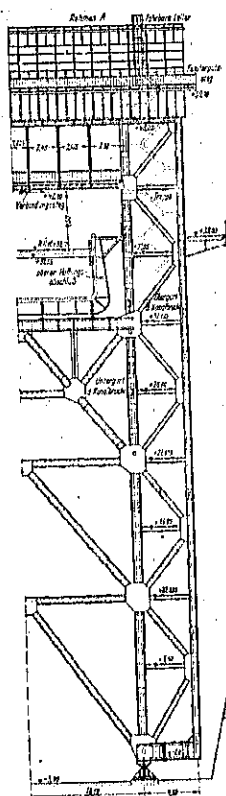
1) 中央塔に於て 2 鋼構構として働く 2 つの複横構構は縦の方向に結合せられて新に 2 鋼構構と成つた事。

2) 東塔の複横構構は内側及び外側滑車支持梁に依り中央塔と固定的に結合された事。

3) 個々の塔の外壁は(風荷重を受けた場合)水平の方向に上は對風構により、下は脚部構構に依り支へられる事。

以上の事から中央塔は 16 次、東塔は 8 次不静定であり、西塔は其の主要構面は 4 次不静定であるが、西側破風面の横構構(第 104 圖)は 8 次不静定、又對風構は 20 次

第 104 圖 西側破風面側面圖



不静定である。

一般に此の立體的全構造物を計算し得る爲に對風構は横構構、側壁等の彈性に對し全く無變形と假定したが、對風構の彈性を考慮に入れる時は應力は低下されるから、此の假定は許容される。

最後に側支柱を有する鋼構脚と之を有しないものとの彈性的性質の研究が現在繼續けられて來たが、其の結果に依ると側支柱を有するものは之を有しないものに比して約 4.5 倍の剛度を有する由である。

水路橋に就いては Bautech. 1934, Heft 40, S. 536 に記載されてゐる。  
(米谷榮二)

#### 14. 下 水 道

##### 下水の機械濾過

(P. B. Streander, "Mechanical filtration of sewage," Waterworks and sewerage, July 1935, p. 252~257.)

1883 年來下水の機械濾過は生物的處理法の異常の進

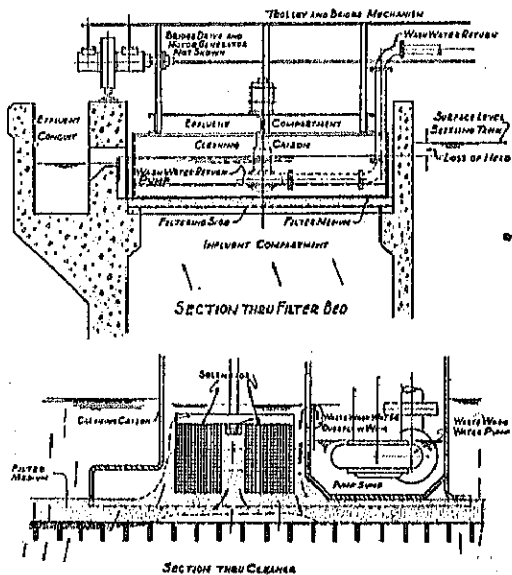
歩に依つて一時は殆んど頗みられなかつた、然し近時化學處理法の發達に伴ひその經濟的運行のために再び汎く論議せらるゝ様になつた。 Dearbon 市に於ける Laughlin 氏の實驗並に Atlanta 市に於ける Killam 氏の實驗は共に濾過を行ふ際は尙からず濾精劑の混入量を減じ、從つて處理費の節減に與る所が大であると報じ、此の點汚水の濾過は將來益々重視せらるゝに至つたのである。

(1) 濾過の機構と濾過材の種類：普通濾過層は厚さ3~12時のものを用ひ、最大損失水頭は3~18時程度のものと見る、濾材は濾過の様式並に汚水の性質に依り相違あるも、主として石英砂、石炭粉、磁鐵砂、パルプ、纖維等を用ふるもので、濾過形式としては(イ)上界式、下降式の固定濾層型、(ロ)逆洗型(上水濾池同様のもの)、(ハ)真空濾過型の3種が行はれてゐる。

(2) 上界濾過式濾過装置、Laughlin 式(第 105 圖)

第 105 圖 Laughlin 式上界濾過装置

上：濾過装置断面圖 下：洗滌裝置断面圖



のものに於ては磁鐵砂の10番筋と23番筋の間のものを用ひ、厚8時とし初水頭は濾材の粗粒なると層厚小なるとにより、1時以上に達する事なく最大損失水頭は8時程度である。

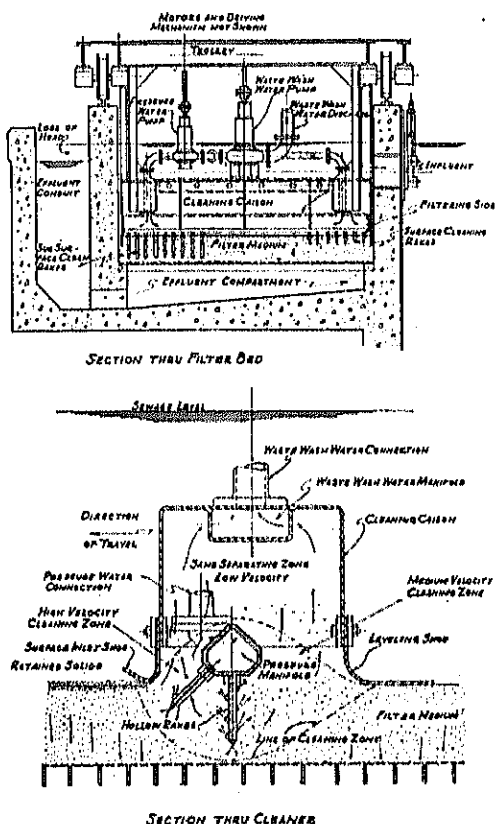
洗滌裝置は第 105 圖にも示すが如く solenoid を砂面上に置し、之に電流を断續して通じ砂鐵の上下運動をなさしめ洗滌する。洗滌污水は更に流入下水と共に再循環内に入り沈澱せしめられる。

此の式のものは Dearbon 市並に Perth Amboy 市に現在設置され運行中である。

(3) 下降濾過式濾過裝置 (A) 機械洗滌器を有するもの：著者の改良に係るものは第 106 圖に示すが如きものにして濾材には、石英砂或は無烟炭粉の20番筋と30番筋の間のものを用ひ、層厚は6~18時である。洗滌裝置は第 106 圖に示す如く壓力管につながる 2 本の齒形

第 106 圖 Streannder 式下降濾過裝置

上：濾過裝置断面圖 下：洗滌裝置断面圖

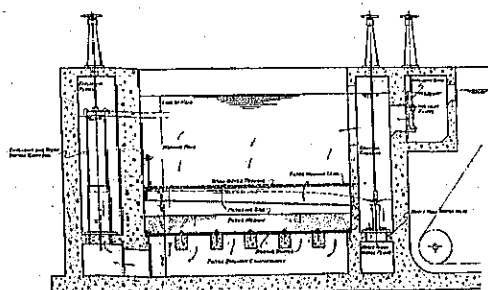


を有し一は砂表面、他は下層に各々壓力水を送つて砂を攪亂洗滌する、洗滌の均等を期する爲洗砂室を數個に區切つて壓力水を一様に分配し、約10時/分の洗砂速度にて洗滌する、洗滌水はポンプにより流入口へ逆送される。

(B) 逆洗式 第 107 圖に示す如く、ボーラス・スラブを用ひ其の上に砂層(又は無烟炭粉) 12~18 時を貯めたものにして、トライフをも具ふるものである。

洗滌は濾過水を逆送して行ふもので、その速度は濾層の厚さにより變化あるも普通 12 gpm/ft<sup>2</sup> 程度である、之は砂に對しては 18 時/分に相當する。又此の種の濾層

第 107 圖 下降濾過並逆洗式濾過裝置

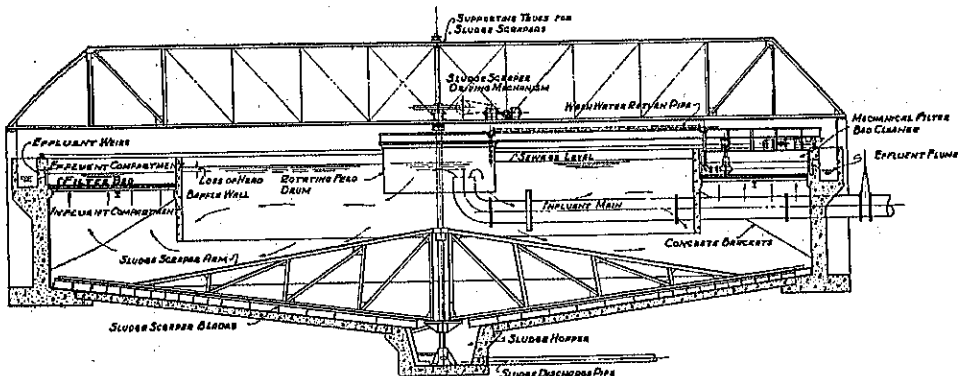


の初水頭は 6 時にして最大損失水頭は 12 時と見られてゐる。

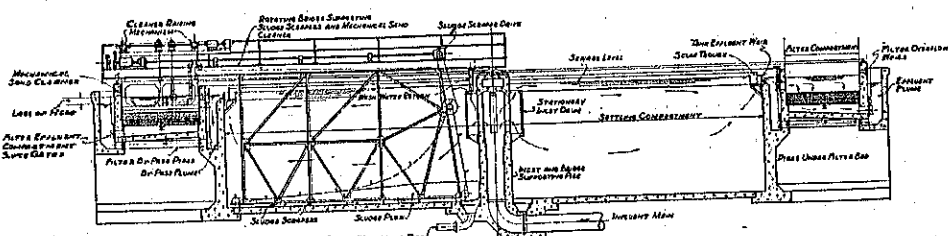
以上 A. B. 共上界濾過式のものよりは損失水頭は大である。

(4) 真空濾過式： 污水の真空濾過機は上水に於ける

第 108 圖 沈澱池と濾過装置と併用せる上界濾過式 (Langlum 式上界濾過裝置を有するもの)



第 109 圖 沈澱池と濾過装置と併用せる下降濾過式 (Streander 式下降濾過裝置を有するもの)



もの及び汚泥に於けるものと多小その趣を異にしバルブを濾過膜とするもので、濾層の下に真空を生ぜしめるものである。

#### (5) 濾過裝置の配列

(A) 矩形沈澱池と濾過裝置との併用

(a) 上界濾過式： 此の式のものは磁鐵轉砂と機械

洗滌器を使用せるもので、第 108 圖に示す如く圓形沈澱池の周邊部に濾過裝置を備へ污水は中央流入口より四方に向ひ沈澱作用をなし阻壁をくぐつて濾過層に通じて次に濾過水は溢流堰より流出渠に流れ出る。此の式のものゝ缺點は、阻壁を設けたる關係上水面よりも沈澱效率の悪い水を濾過する事であるが、特長は濾層の洗滌が比較的確實で面も簡単な事である。然しこの式のものは普通沈澱池には併用できるが、薬品沈澱池には不向である。

(b) 下降濾過式： 第 109 圖に示す如きもので、沈澱槽と濾過室とは區切られてゐて流出渠と沈澱槽とを直接連絡すれば普通沈澱、薬品沈澱いづれの場合でも使用出来、濾層の修理も沈澱作業を中止する事なく行ひ得る。

溝砂洗滌器は汚泥聚集機の外縁脚部に取付けられ洗

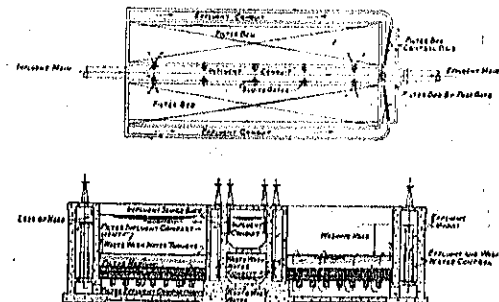
沙時のみ砂面上に吊下して聚集機と共に回転しつゝ洗滌を行ふ。

(B) 矩形沈澱池と濾過裝置との併用： 矩形沈澱池とその流出堰に沿ひ設けられた濾過室との組合せで濾過層はコンクリート製溝形の上に多孔性濾過版を置き更にこの上に石英砂、無煙炭砂を敷いたものである。

薬品處理を行ふ場合汚水のP.H.値大なるため石灰を混入する場合は濾過版は $\text{CaCO}_3$ の沈殿又は有機物により閉塞さるゝ故懸素を投入し豫め此の障害をのぞく必要がある。

(C) 沈殿池と分離式濾過装置の併用： 沈殿池と濾過池とを別個に作る場合で、圓形又は矩形の沈殿池を適宜に作り、濾過池は第110圖の如く機械洗滌器を有する

第110圖 分離式濾過槽（重力濾過並逆洗式）



上昇式、下降式の濾過をなすもの又は下降濾過式の逆洗式のものを適宜に用ひる。但し逆洗式のものは洗滌水量によりその面積に大小を生ずる。

(6) 洗滌速度： 洗滌速度は濾材の性質、層厚、損失水量、濾過除去率、濾過対象物の性質により影響を受ける。損失水量を餘り増加する時は濾層中に沈殿物を投入せしめ、多量の洗滌水量を要する。凝結完全な沈殿が充分に存はれば粗濾材を用ひた方が良いけれども薬品の経費が大である。

廉価なる薬品を使用し、有效な濾過を行ふものとすれば最も理想的で濾速は上水同様2ガロン/分/呎<sup>2</sup>が適當と思はれる。然し上水の如く、濁度、細菌を高度に除去する必要がない點にも留意しなければならぬ。

(7) 下水の濾過速度： 濾速に就てはまだ確定的な數字は示されてゐないが、汚水濾過の第一目的は浮遊物質の除去で細菌は懸素により殺滅される。

現在では平均2ガロン/分/呎<sup>2</sup>の濾速を探り、最小1ガロン/分/呎<sup>2</sup>とし濾過效率、損失水量、洗滌水量等によるが最大4ガロン/分/呎<sup>2</sup>を超えてはいけない。

(8) 機械濾過の應用： 汚水中の浮遊物質は薬品沈殿によつて成る限度まで沈殿せしめ得るが、その限度以上除去し様とすれば多量の薬品を浪費するのみか沈殿池の管状も滞留時間4時間以上を與へなければならぬ。然し斯る場合濾過装置を併用する時は滞留時間は1~2時間の短時間で充分であり、更に浮遊物質や小粒の

汚泥までも濾過除去し得るものである。

斯く濾層を併用すれば薬品の経費節約と共に凝結不充分な汚泥粒子をも濾過除去し此のため濾過水の懸素要求量も小さく見た目にも綺麗である。New York保健局の Cony Island 實驗所に於て最近2つの同形、同大の沈殿槽2種即ち一は濾過装置を備へ、他は備へざるものに就き實驗を行ひその經濟的關係並に效率を調査したる結果によれば、濾過装置を有するものが確かに好成績を示してゐる所である。

(9) 促進汚泥法處理場にての應用： 近來促進汚泥法處理場に於ても最後沈殿池にて濾過装置を併用し相當の成績を挙げてゐる。促進汚泥法處理にて生じた重い汚泥は沈殿し易いが、軽い不活性の絲狀粒子は濾過に依り除去するより外はない。この存在によるB.O.D.は小であるけれども、このため非常に流用は汚く見えるものである。一面曝氣不充分なる時も濾過を併用すれば操作費を節減し得る。

S. L. Zauk 氏は New York 州下水道協會にて Chicago 處理場に於ける大きさ 20 呎の圓形沈殿槽に Langlill 式濾過装置を備へたるものの實績に付き詳解報告してゐる。

(10) 普通沈殿池との併用： 生下水の場合も濾過装置を併用して、重き粒子は沈殿させ軽い粒子は濾過させるもので、滞留時間1時間を與へ2ガロン/分/呎<sup>2</sup>の濾速で濾過したものの方が、滞留時間3~4時間を與へたるものよりも遙かに効率が良い。

(11) 紹 説： 以上述べたる如く薬品沈殿池、促進汚泥法又は撒布濾床法の最後沈殿池、又は生下水の沈殿に濾過装置を併用する事は效率の點からも、經濟的見地からも非常に好結果を示し、將來益々此の方法が盛んに行はれることを想はれる。

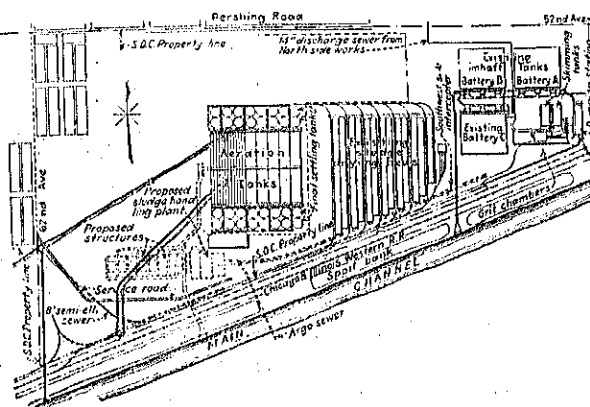
(松見三郎)

### 工事着手の Chicago 第4下水處理場

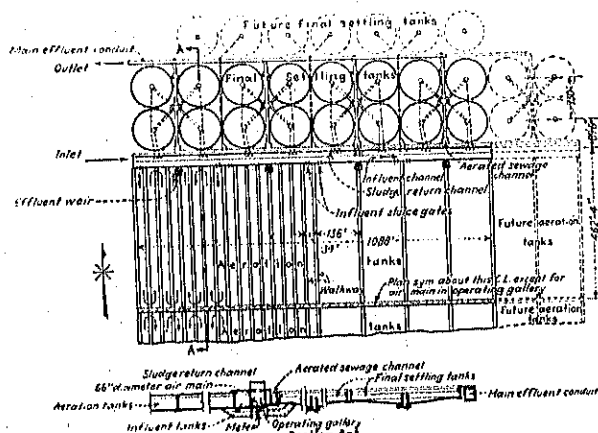
L. O. Whittemore, "Chicago Starts Work on Fourth Large Sewage Plant," E. N. R., August 8, 1935, p. 186~188.

最後擴張に於て1200 m.g.d.を確定し、400 m.g.d.の平均下水量を以て設計した Chicago 衛生地域の新西南部處理場は世界に於ける最大の促進汚泥處理場であらう。本處理場はポンプ室、送風機室、排塵除臭装置、豫備沈殿槽、浮游遮断槽、曝氣槽、最終沈殿槽、統制室及び木水路への吐口から成立つてゐるが、その主要部をなす構

第 111 圖 一般平面圖



第 112 圖 曝氣槽



機器設備の大要を掲げると次の通りである。

#### 構の配列

系統数	2
1 系統當りの曝氣槽	8
1 系統當りの平均下水量, m.g.d.	200
1 系統當りの最大下水量, m.g.d.	300

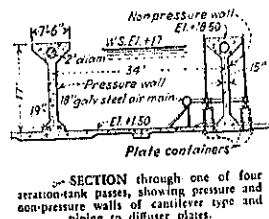
#### 曝氣槽

停滯時間(平均), 時間	5
空気使用量, 吨/ガロン	0.6
汚泥返送(平均), 平均下水流量の%	20
汚泥返送(最大), 最大下水流量の%	80
混合下水濃度, 平均 p.p.m.	2 000
混合下水濃度, 最大 p.p.m.	3 200

#### 最終沈殿槽

沈殿速度, 下水+泥	
平均, ガロン/1 目沢 <sup>2</sup>	1 200
最大, ガロン/1 目沢 <sup>2</sup>	1 050

第 113 圖 曝氣槽横断面



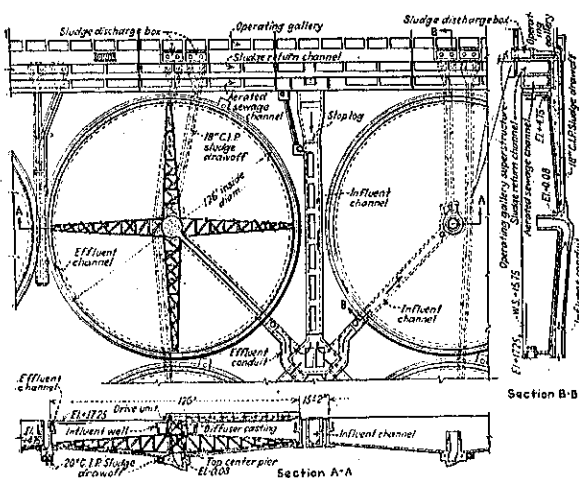
尚汚泥は機械的脱水、乾燥及び焼却に依て處理する豫定である。

曝氣槽：各曝氣槽は長さ434呎、幅136呎で4列の水路中にある壁に依て區分され、實際上長さ1 786呎、幅34呎の槽を構成してゐる。散氣版上の水深は15呎である。版の面は槽底上  $6\frac{1}{2}$  小時で、水面上の餘裕は18小時ある。槽は1つの壁の近くに散氣装置を取付けた渦流型のものである。各水路に2列に使用する12×12吋散氣版はコンクリートコントainerの中に置いてあつた、同列の36枚の版への給氣は1つの瓣に依て統制出来る様になつてゐる。各槽への流入は2箇の42×42吋側水門扉から、又流出は長い堰から溢れた後60吋ベンチュリーメーターを通つて行はれる。

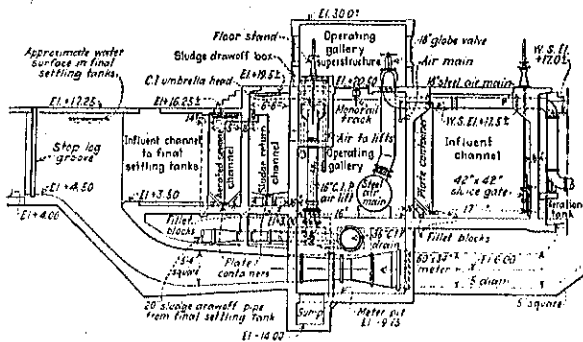
最終沈殿槽：此の槽は中央流入渦流型で内徑136吋、水深外壁に於て11呎、底勾配は中央に向つて1呎當り1吋である。曝氣下水の流入管路を辿ると先づ中央給水井から4槽の中央に到着した後42×42吋側水門扉に依て調節し得る槽下の水路に依り各槽へ夫々その中央から流入する。又流出は外縁部溢流堰上から行はれる。沈殿汚泥は中央の柱に取付けた汚泥聚集機に依て中央に近い排出口に聚集され、槽の下を通つて操作廊へ通じての鋪設管から排出される。汚泥聚集機の速度は毎時1迴轉である。

操作廊：槽の各系統に対する操作廊(第111圖)は曝氣槽及び最終沈殿槽の間に介在する。各廊は長さ1 003呎、内幅16呎で高さ8呎の上屋を設けてある。操作廊には空氣本管、汚泥返送排出管、空氣及び下水流量計、空氣及び返送汚泥調節瓣、水位錶及び電線渠が裝置してある。曝氣槽へ至る生下水流入水路及び最終沈殿槽へ至る汚泥返送用管は曝氣槽と同じ深さに出来てゐて操作廊に並行してゐる。之等の水路には散氣版を取付け、固體の沈降を阻止し、完全な混合が行はれる様

第 114 圖 沈澱槽



第 115 圖 操作廊及び水路



に曝氣する。下水は各系統の西側に於て返送促進汚泥と短時間混合された後、曝氣槽流入水路へ入れられる。曝氣用の壓縮空気も又西側に於て吹込まれるので、返送汚泥水路は各系統の西側から更に下水の流入箇所まで續いてゐる。各系統への下水は調節室にある計量器及び門扉に依て計量し調節する。又各曝氣槽からの流出水(下水及び促進汚泥の曝氣混合物)は 60×34吋ベンチュリメーターに依て計量する。

最終沈澱槽から排出した汚泥は空気揚水機に依て、返送汚泥が曝氣槽への流入口へ自然に流入する程度の高さに汚泥返送用水路中に揚げられる。2 台の10吋空気揚水機は各最終沈澱槽の 1 本の汚泥排出管に取付けてある。空気揚水機が操作廊の内側にある箱に吐出すと汚泥は水中に没した孔を通つて汚泥返送水路に送られる。各空気揚水機へ供給する空気は 4×2吋ベンチュ

リメーターに依て計量され、グローブバルブに依て調節される。(玉置 嶽)

## 15. 港 漏

### 波の洗掘に対する防波堤基礎の設計

(“Designing Breakwater Foundations Against Wave Scour,” E.N.R., July 25, 1955, p. 123~124.)

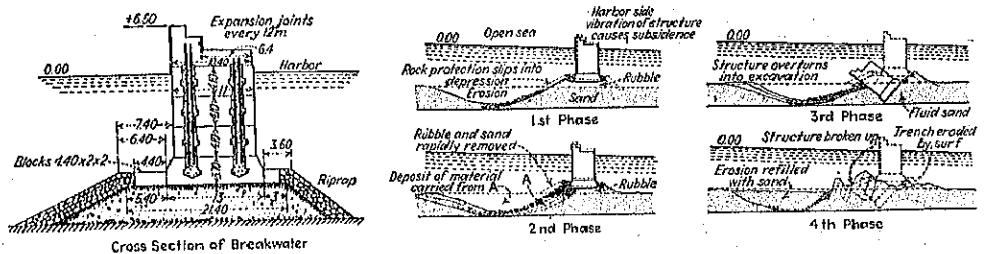
Afriqa 北岸 Algier 港の新防波堤 1968 呎の内約 2/3 の 1315 呎は 1954 年 2 月 3 日の暴風に破壊せられた結果、防波堤基礎の再検討が必要になつた。この新堤は佛人技師が波力を定めて設計したものであるが、この港には常に恒風が荒れ、水深は急激に深く変化した場所である。

破壊した防波堤の断面は第 116 図の如くである。 $6\frac{1}{2}$ ~440 封度の石塊基礎の表面には最小 800 封度の石を被せた。基礎は方塊四段積とし、方塊の大きさは縦は防波堤の幅だけ取り高さ及幅は 18 呎である。最下段の方塊は高さは小であるが幅広く、上段方塊は 400 m なるに對して下段は 450 m である。隣接方塊との結合のためには輪合接を行ひ、上下の結合のためには方塊間に作つた孔を利用して鋼筋コンクリート柱を作つた。上部コンクリートは場所打とし 0.4 m の水平部を港側に、胸壁は 2 段に分けて高さ +0.5m とした。暴風は 2 月 2 日から始まり 3 日には破壊を起すに至つた。兩日に亘る觀測によると 2 月 2 日に於ては波長 410 呎、週期  $9\frac{1}{4}$  秒、波高 12 呎、3 日には波長 656 呎、週期  $18\frac{1}{2}$  秒、波高 30 呎である。この高さと週期は殆んど未嘗有のものである。

**基礎の破壊:** 基礎の設計には破壊を招くやうな原因なく、波の衝撃に対する不備も認められない。破壊は唯粗石基礎の逃出によるものである。これに對する實験を Lausanne の水理實驗室で行つたが、200 m の波長と 0 m の波高に相當する縮尺の模型によつた結果、倒壊に對する安全率は外方に對して 1.53、内方に對して 1.2 であつた。

倒壊の経過について M. Ronand 技師は第 116 図に示す如く 4 つに分けて説明してゐる。(1) は基礎の侵蝕が絶えず行はれた結果、基礎の傾斜面を保護する方塊が次第に滑り落ちた。基礎上の構體は振動によつて沈

第 116 圖 Algier 防波堤断面と暴風による崩壊の経過



下を起し、外方に幾分移動した。(3)の状態は極短時間の現象である。大きな保護被覆方塊はこの凹み中に滑り落ちたため、砂利基礎は波浪によって突然逃出した。連續的に数回波浪が襲来したため遂に抵抗出来なくなってしまった。(4)それに續いて起つた現象は規則的且連続的である。逃出した基礎の部分には波のために溝が出来て、方塊はその中に倒壊してしまった。(4)最後はそれに續いて起つたもので、その暴風の間に防波堤前の凹みは再び砂で埋つてしまつた。

この構造物は一般に垂直防波堤としては最良のものと認められ、設計に当つては他の場所に於けるものをすべて参考とした。方塊間の連絡には鋼筋コンクリートを使ひ、基礎捨石は特に低くした。工事は充分慎重に施

工し、それまでの波浪は頑強に抵抗し得たのである。2月2,3日の暴風は未曾有のもので、波高9m以上になつて遂に崩壊してしまつたのである。従つて波の影響を受けない基礎の深さは今後の研究に待すべきである。

**粗粒敷と方塊防護を用ふる方法:** France, Dunkirk 港は二つの突出堤で囲まれ、西堤は波浪を相當に受けるために、粗粒基礎を粗粒敷の上に作り、上には方塊を被せた。方塊は海側と上部に40~50tのもを用いた。

この基礎は第117圖に示す如く平均低水面上+3mまで作り、その上にあるコンクリート壁體の表面には人造石方塊壁を張つた。約1040呎だけは圖に示す如き基礎を作つたが、820呎の隣に近い部分は鋼矢板間に亘石コンクリートを打つてその上に上部構造を設けた。突出堤先端では水深約32呎、基礎は水面上約7呎まで盛つてある。

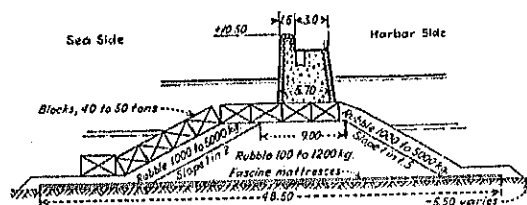
構造物としては別に珍らしい部分はない。粗粒は織って浮かせて現場で石をつけて沈めた。粗石は土運船で運び、方塊を起重機で吊つて据えた。

**Haifa 港の堆石防波堤:** 跡石場から出る大小の粗石を利用して作つた面白い設計が Palestine の Haifa 港で作られた。Haifa は開いた海岸で約30度に突出した長さ7250呎の防波堤と、2510呎の突堤とで囲まれた先端での深さは40呎である。この技術の報告によると海底は細砂である。風や潮位による最大水位差は平均水面から+1呎と-2呎である。設計断面は2種ある。石の大きさは第118圖の如くである。

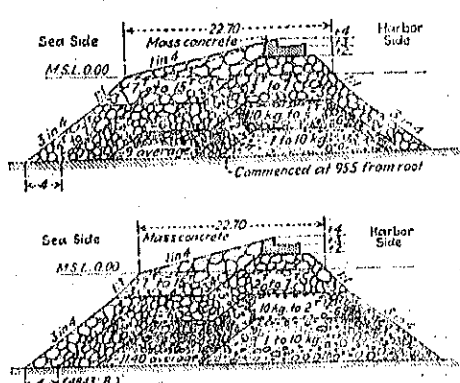
石基礎は移動式クレーンで積まれ、クレーンは完成した防波堤上を次第に海中に進んで行つた。

(傍島 游)

第 117 圖 Dunkirk 港の突堤石基礎



第 118 圖 Haifa 防波堤断面



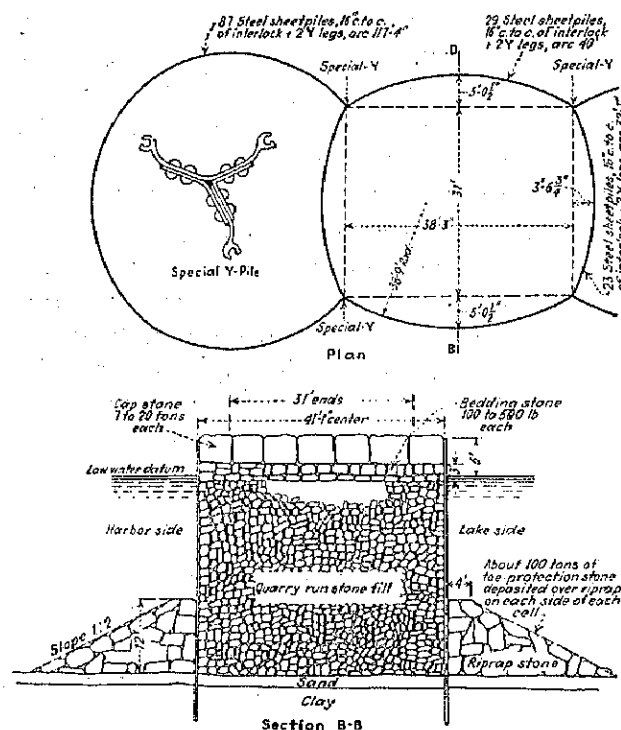
### Calumet 港の鐵筒防波堤

(T. L. Condrone, "Cellular Steel Breakwater for Calumet Harbour," E. N. R. July 18, 1935, p. 86~91.)

Calumet 港は、Calumet 河の河口にある Michigan 湖の最南端に近く位してゐる。

防波堤は正東へ 4200 ft, 更に東南に折れて 2400 ft 突出してゐる。1933年に至つて之が擴張が計畫せられた。その設計は第 119 圖に示す如くである。

第 119 圖



防波堤は 131 個の鐵矢板筒より成り、末端の筒は直徑 24 ft 1 in, 道中の筒は平均長  $38\frac{1}{4}$  ft, 幅 41 ft 1 in の圓筒である。各筒の連結には特殊の Y 形矢板が設計せられた (第 119 圖)。矢板は規格品で、繩手は 1200 lbs/in より少なからざる直接の引張力に堪へるものであり、II. つ重量は 1 ft<sup>2</sup> 当り 23 lbs を越えざるものが必要であった。

Y 形矢板は、各脇にかかる繩手長 1 ft につき 10000 lbs より少なからざる直接荷重を傳へ得るものたる事を要した。

工事は 1934 年 5 月 28 日に、全長の中央に當る第 66 番筒から始められたが、6 月 6 日に至り強風起り大

波の爲、第 66, 第 67 の 2 筒は一部破壊せられるに到つた。

斯くて工事が一時中止せられてゐる間に、請負者側から、本設計では建造中にも又建造後にも強度が不足してゐるとの抗議が出た。

が、當局の依頼に依つて著者が計算の照査をした結果、從來の設計で充分であることが確かとなり、請負者側の抗議を一蹴したのである。

かくて、工事は 1934 年 9 月始めて從來の計畫と示方書に則り再び始められたのである。

先づ、1 部填充の儘嵒に依つて破壊せられた第 66 と第 67 の筒はその儘とし、それらの北方に位する第 64 と南方に位する第 69 の筒から始めた。

9 月 10 日から 11 月 15 日迄に 34 個の筒を打込み、58 日間で (日曜日を除き) 填充を終へた。

次いで、3 個の破壊筒とその填充粗石を除去した後、第 64 と第 69 の間の 4 個の筒を打込み填充を終へた。斯くて合計 38 個の筒 (全體の約 30%) が完成されたのである。尙假の末端筒は、示方書に従ひ半径 24 ft  $\frac{1}{2}$  in の圓筒とした。

鐵矢板は便宜上、數枚を彎曲アングルやチャンネルで假止めして、之を型板に従ひ垂直に降ろして下端一部を砂或は粘土中に縫入せしめ、次に筒狀を完成せしめる爲、Y 形矢板と、閉合用矢板を挿入した後、假止めのチャンネルやアングルを取除いた。  
(吉藤幸助)

### Great Lakes 燈臺の新型基礎

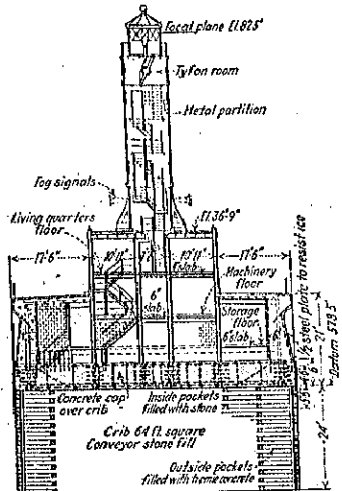
(Chas. A. Park, "New Types of Substructure for Great Lakes Lighthouses," E. N. R. July 18, 1935, p. 77~80.)

最近 PWA 資金に依り、燈臺の建造及び改修が廣範囲に計畫され、その中には軟弱な潮底に設ける基礎の設計として新しく且つ興味深いものが 2, 3 ある。

方形木棒基礎: Michigan 湖の燈臺中 Grays 礁と Minneapolis 浅瀬上にあるものは、夫々 27 ft と 21 ft の深さに良好な地盤がある。兩燈臺とも條件が近似してゐた爲、構造としては同様のものを採用した。此處には Gray 礁上の燈臺に就て述べるが、これは第 120 圖に見

る如く、その構造は、粗石を填充する木枠とその上に載置する鋼筋コンクリート床版である。

第 120 圖



枠は  $64 \text{ ft}^2$  で、外周に  $12 \text{ in} \times 12 \text{ in}$  の壁部を有し 49 に區割され、外周の 24 區割内にはコンクリートを填充し、内部の 25 區割内には、 $2 \text{ in}$  間隔で床板を配置し空隙に粗石を填充した。枠に充分な剛度を與へる爲にボルト及び繩釘を適當に用ひた。

枠上に載置するコンクリート床版は  $6 \text{ ft}$  の厚さで端

部に突出壁を有する。

枠は港で建造し、周囲の適當個所に氷害（冰壓及び氷撃）防護用の鐵板（幅  $10 \text{ ft}$ ）を取り付け之を現場に曳き運び、そこで埠盤底まで内方の區割に石を填充し乍ら沈下せしめた。次いで潜水夫は外周區割の底部の隙間を填充し、この區割中にトレミー管でコンクリートを填充した。

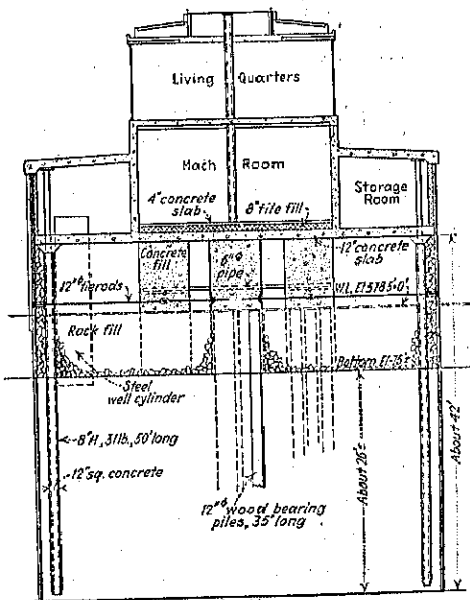
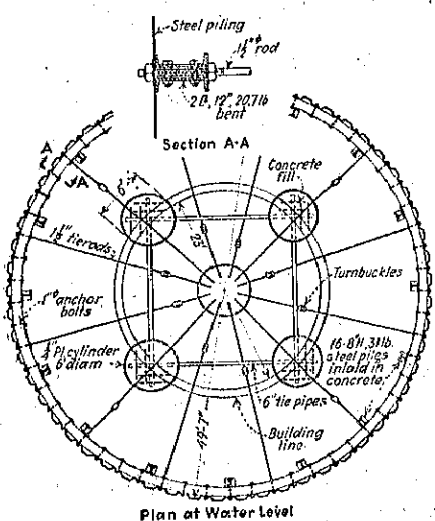
鉄矢板基礎： Michigan 湖の Peshtigo 礁では、水深約  $10 \text{ ft}$  に過ぎないため、前者より著しく軽い基礎が採用せられた。燈臺の上部構造を、各々群杭に依つて支持される 5 個のコンクリート填充鐵矢筒に依り支持せしめる事にした（第 121 圖）。

先づ鐵矢板壁の外周面から  $2 \text{ ft } 1 \text{ in}$  の周上に 16 個の H 梁包みコンクリート杭を水射打ちに依り打込み、次いで鐵矢板を打込み、水線の所で彎曲梁に依つて補強し、之を繩釘で内部の鐵矢筒と緊結せしめた。

基礎の中甲板は、機関室の壁と同一體に築造し、その外端を鐵矢板壁と H 梁入り杭に依り支持せしめた。それ故に基盤の填充粗石が沈下しても、或は鐵矢板壁内部に破損が生じても、全構造物の安定度には影響がない事となる。

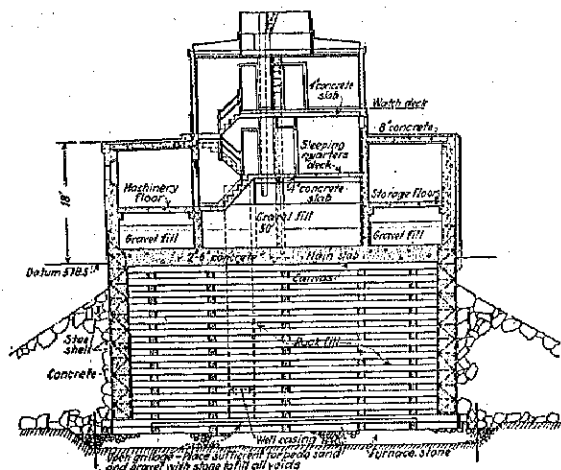
コンクリート壁で包んだ木枠基礎： Green 港の燈臺は水深約  $26 \text{ ft}$  の處に設けた。基礎は直徑約  $50 \text{ ft}$  で、直徑約  $44 \text{ ft}$  の圓形木枠を  $3 \text{ ft}$  厚さのコンクリート壁で

第 121 圖



上端から湖底迄包囲したものである（第 122 圖）。

第 122 圖



コンクリート壁は厚2.5ftのコンクリート床版を載置し、床版は更に重い圓形コンクリート壁とコンクリート部屋を支持するのである。

木枠を同心的に圍繞する2重の鐵板壁は、コンクリート壁の型枠の役をなし、その中外周の鐵板壁は同時にコンクリートの磨耗を防ぐ役をもなすのである。

(吉隆埠)

16. 道路

## 綿籠による安價な舗装養生

( T. G. Rollins, "Cheap Curing with Cotton Mats on Texas Pavements," E. N. R. July 18, 1935, p. 76. )

Texas にてコンクリート鋪装を養生する輸入麻布(burlap)に代るに國産綿布を以てせんことを企て、先づ 1933 年、その養生効果を判定するため綿窯を Washington の道路試験所に送り試験せし結果好成績を得た。詳細報告は 1933 年 7 月及 1934 年 11 月に發表された。

綿筵を以て 72 時間養生する費用を濕麻布覆土法及び  
濕麻布灌水法と比較するために、1988 年 12 月他の養  
生法と共に 7 枚の綿筵を以て養生したが、之は折切れる  
まで用ひることとした。之は 6 箇所の現場で使用し最  
小期間 72 時間で、鉛皮上にて 57 回移した。352 時間  
水で飽和されてゐた譯であるが、未だ良好な状態で更に  
少くとも 25 回使用せられ得るやうに見えた。

鋪装 I 平方碼當りの全費用は約 3c で、同一現場のみで使用するときは、筵の壽命を 50 回とし、別の洗場への運搬費を除くから約 2.62c であった。若しも綿筵が廣く用ひられれば筵の購入費が幾分か減することは疑無い。筵の壽命が盡るまで連續的に使用するやうにし、工事と工事の間で畳せて畳くことは出来るだけ遙く可きである。3 方法で養生したる鋪装の切取供試體の抗壓強度に就ては、綿筵養生の供試體の平均強度が大である。

湿麻布湿土及潜水の10日間養生と比して湿綿延72時間養生の利益を示せば次の如し。

- 1) 鋸斐の抗壓強度が大である。2) 鋸斐 1 平方碼當り費用が廉い。[3] 他の方法よりも遙かに均等に養生される。4) 路盤及路肩が良質土砂でつくられてる處では鋪装中に悪質土砂で汚害されることがない。5) 漆青鋪斐の基礎コンクリートの場合はコンクリート表面が上層をやるとき完全に清掃されてあり基礎と上層がよく密着する。6) 養生土砂を搬出入しなければならぬ市街地に鋪装するとき益々經濟的となる。7) 滅水の場合は滅水の惧があり、又一部分に集り基礎土質を過濕し容積變化大なる路盤土壌を不均等に膨脹し又鋪斐面にムラを生ずる。

(漫游者)

17. 都市計畫

## Berlin の 環 狀 道 路

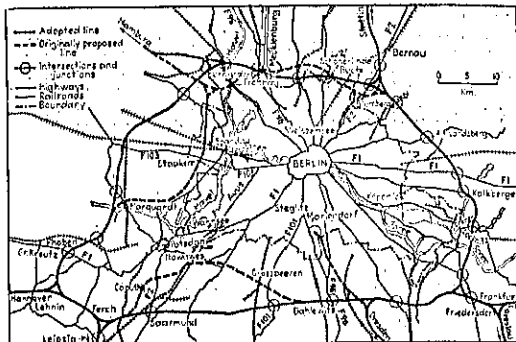
(Engineering in Foreign Countries, "Belt highway for Berlin." E. N. R. July 25, 1935, p. III.)

大 Berlin を廻る延長 112 噩の環狀道路の工事が今年着手された。この道路は Berlin 市民 400 萬の利便の爲のみでなく、Berlin を中心とする 150 噩半徑の各地間の長距離交通に於て柏林市内の難關地帯を避けて最小の時間損失を以て交通し得させる爲のもので、完成の時は Berlin 市内の交通難關も從つて解消される。

始めの計畫は第 128 圖の點線の位置を通り事になつてゐたが、Potsdam 其他近郊の發達に備へて實線の如く決定した。尙放射幹線は始めは計畫されてあつたが、之は却つて交通雑亂を招致せしめるものとして放棄され、放射交通をこの環狀道路に導入して現在の放射道路を通せしめる様に計畫された。

この環状道路開設には鐵道との交叉 18 個所、橋梁 200、そのうち 2 橋は延長 3300 呎及び 5000 呎のものであ

第 123 圖 工事区域圖



る。工事は 18 個の工区に分ち同時に数箇所から着手された。

(五十嵐博三)

## 18. 鐵道

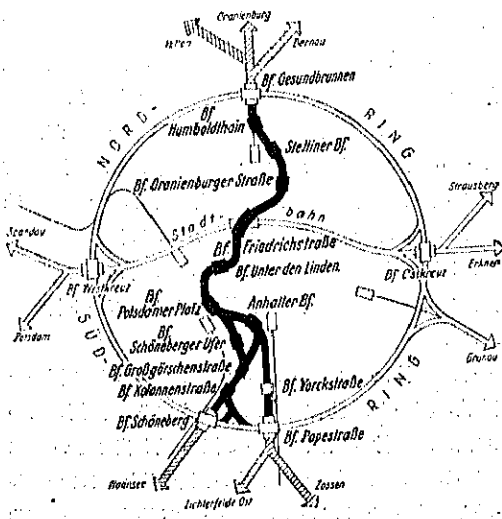
### 新柏林 Nordstid-S-Bahn に就て

(Grabski, "Die neue Berliner Nordstid-S-Bahn.")  
Bautech. 28. Juni 1935, S. 379~384.

1933 年創立の Reichsbahn は政府の匡救事業と關係して、Nordstid-S-Bahn の建設を失業直撃計畫に採用した。失業の困窮がこの價値のある仕事に直接の刺戟を與へた。この鐵道はその完成の後にも、運轉及び保守をなす爲に永續的の仕事があり、且つ首府の重要な高速度鐵道網の一として特に通勤者に役立つものである。

その計画は柏林の高速度交通の發展に伴つて色々と

第 124 圖 線路略圖



變遷したが、最後に連絡線 Anhalter 跡—Stettiner 跡即ち Bernau Oranienburg, Velten なる 3 本の北部郊外鐵道と Wansee, Lichterfelde-Ost, Zossen なる 3 本の南部郊外鐵道との連絡線を作る事となつた。

この新連絡線(第 124 圖)の線路設置に對する標準は次の交通上の問題を満足すべきである。

(1) 南北の郊外地を直接に相互に連絡し、且つその郊外の居住者を出来るだけ都心深く運ぶべきである。

(2) 東西の郊外地が乗換駅 Friedrichstraße を通つて南北の郊外鐵道に用る様に Stadtbahn と直接に連絡すべきである。

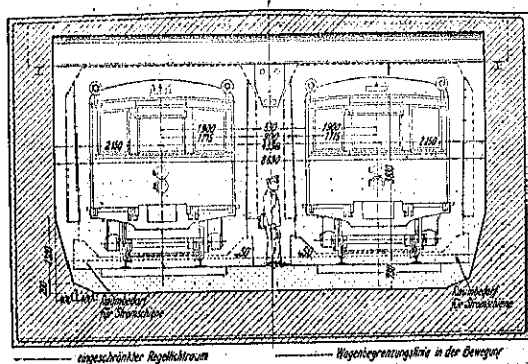
(3) 南北遠距離交通を便利にする爲に Anhalter 跡と Stettiner 跡を結び且つ之等の駅から Stadtbahn の遠方の駅に (Friedrichstraße 駅を通つて) 行く事を容易にすべきである。

(4) 3 本の地下鐵道線が附近に來てゐるが接してはゐない Anhalter 跡を都心高速度鐵道網を以て連絡すべきである。

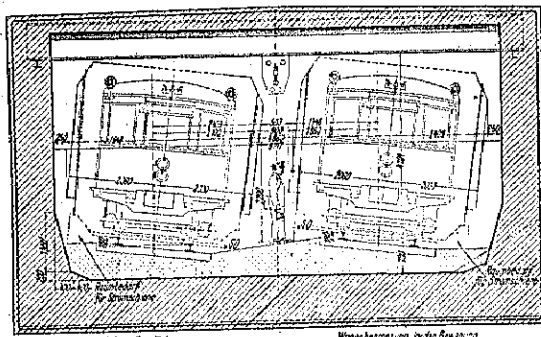
建築物に土臺を施す事を制限する爲に特に家屋が密集してゐる市街地では出来るだけ小さな曲線半径の線路を用ひるのが得策である。この爲には軌道及び車輛の保守に對して非常な費用を要するが、この費用は大なる曲線半径を用ひるに要する建設資本に比べれば到底比較にならぬ程小である。併し小なる曲線半径では非常に高速度で運轉し、旅客を愉快に輸送することは出來ぬ。この利害を考慮して最小曲線半径を 150m とする。最大の運轉速度は 48km/h であるが半径 150m, ガント 150mm の場合その速度は 44km/h に制限される。

直線と曲線との絶えざる變化に對して(直線部 37%, 曲線部 63%) 隧道断面は車輪断面の位置に相應して變化する。第 125 圖は直線部に於ける隧道断面を示し、第

第 125 圖



第 126 図



126 圖は半径 150 m を使用せる際の隧道断面を示す。軌道面の高さは出来るだけ場所的事情に適応する様にして最大勾配は 1/30 となつてゐる。

隧道には一般に中間支柱を配列しない。之により線路間に燈式信号を置く事が出来る。

新 Nord Süd-S-Bahn は電圧 800 V の直流で運轉され、この電流は特別の電流軌條により供給される。送電された 3000 V の交流は Anhalter 及び Stettiner 駅に於て 800 V の直流にされて隧道内の軌道に送られる。新鐵道及び之に連絡ある隧道のすべての電氣装置を一時間に約 40 列車各方向に運轉し得る様にしなければならぬ。

この新連絡線は乗車時間を著しく短縮し、且つ今日利用されてゐる都市交通機關の約 50% の需要を満す。將來次の運轉時間が可能とされてゐる。

Anhalter 駅—Stettiner 駅 約 11 分

Schöneberg 駅—Gesundbrunnen 駅 約 21 分

建設の総費用は約 1.7 億 RM の額になる。之には俸給賃償運送及び一般的な雑費に對する費用も含まれてゐる。純粋の建設工事費は約 1.35 億 RM になり、各個工事に對する割當は次の比例になつてゐる。

地下地上工事	72 %
強電工事	12 %
弱電工事	6 %
路盤工事	3 %
車輛費	7 %

總工事期間は 4 年である。1933 年の後半に於ける短い準備期間の後に 1934 年の春に建設工事を始めた。この年の終りに俸給を合めて約 1400 萬 RM 費つた。建設工事費の曲線は 1935 年に非常に上り、1936 年には略々それと同じ高さを保ち 1937 年に再び徐々に下る。

最も交通渋しき街路に接してゐる建設工事の際には街路交通の制限、その他色々の障害を生ずるからそれ等

を緩和する爲には出来るだけ早く工事を遂行すべきである。

以上結論として、新 Nord Süd-S-Bahn は失業救済の大問題に與り且つ伯林に於ける交通事情を根本的によくし一般公衆に奉仕するものである。（草間康二）

## 19. 隧道

### Chicago 下水隧道のコンクリートの打ち方

(“Concrete-Placing Method on Chicago Sewer Tunnels,” E. N. R. June 27, 1935, p. 911~914.)

近く完成される Chicago 遠東下水隧道 27 噩の各區間に於ける請負者は隧道開掘方法に相應した獨特の卷立コンクリートの打ち方を考案した。

一般工法: 請負者は夫々作業を 24 時間制とし、8 時間を預定した延長に對する掘鑿並に支保工の組立、8 時間を型枠と鋼筋の組立並にコンクリート打としてゐる。1 日に掘鑿する基坑の延長は大體 24~28 呎である。鋼筋は既成コンクリート塊をインパートに枕にして組立てる。側壁中に曲げ上げたインパート鋼筋は側壁及び拱筋の支へとし、尙組上げた鋼筋は打ち終つた卷立コンクリートから突出した鋼筋及び鋼板ライニングに鋼線で繋結する。

インパートには型枠を使はず、その上面は出来上り面より  $1\frac{1}{2}$  时低くして置いて最後に富配合のコンクリートで仕上げする。インパートは常に側壁にかかる前に掘鑿した全延長を打つて了ふ。

17×17 呎の區間に於ては、ミキサーは隧道の底部の型枠の近くに置いたが、他の請負に於ては基坑の頂部か底部かで配合したコンクリートは運搬車で運んだ。

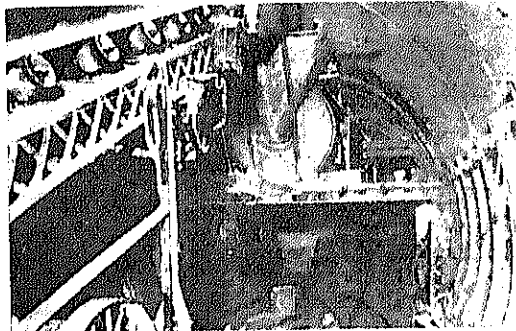
型枠の設計: 型枠の設計は至つて簡単であるが、Chicago 隧道に獨特なものであつて單に薄形鋼の肋材の裏に縦方向の幕板を置いて組立てたものである。薄形鋼は 5~8 時で、幕板は  $2 \times 6 - 2\frac{1}{2} \times 8$  時である。肋材は 4 呎の間隔であつて頂部でボルト継にしてある。専肋材の間には縦方向の山形鋼を入れてボルト継にしている。

一般に型枠はインパートコンクリートの上に置いた縦方向の板の上に肋材を組みて組立てる。兩側のこの板の間に木板の突張を置いて板が跳ね出さない様にしてある。この突張の上には重い板床が置いてあつて歩み場と軌道の支へにしてある。突張が出來て了へば肋

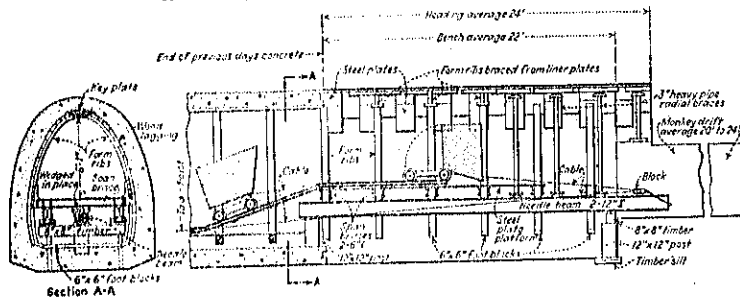
材の組立は急速に且つ簡単に出来上る。

**コンクリートの填充:** 一般にコンクリートは側若くは後開きダンプカーで導坑に運搬して、床若くは鋼板上に卸しショベルで型枠内に打込む。幕板はコンクリートが上るに従て筋材の裏に組上げてゆく。但し拱頂は幕板の代りに幅 24~30 吋の鋼板を使ふ。又ニードル・ビーム突張はコンクリートが放射突張の位置迄達すると取外して下す。尙、3 及び 4 號請負に於ける側壁及び大部分の拱のコンクリートは高いプラットホームからベルトコンベヤー並に橋を利用して打つた。

第 127 圖 コンクリート打の 1 例



第 128 圖 型枠及び筋突張、開掘工程の關係



**コンクリート・プラント:** バッチャヤー並にコンクリート・プラントは各請負に依り多種多様で、移動起重機請込バッチャヤーから手車プラント、1-yd. ペーパーから小型 7-S 混合機迄ある。

3 號請負に於ては、骨材は軌道車で持込み、移動起重機で卸して貯蔵する、又バッチャヤー・ビンへの持込も同じ起重機に依る。尙冬季には骨材置場及びバッチャヤー・ビンに蒸気保温を行つた。散セメントは手車で卸し、バッチャヤーで計量して使用する。ミキサーは坑内にあるので、 $\frac{3}{4}$ -yd. の配合した 1 バッチを側開き構造車に積込み、豎坑から下して導坑に運搬する。導坑に於て運搬車からホッパーに下し、1 バッチをベルトコンベヤーに依て  $\frac{3}{4}$ -yd. ミキサーへ上げる。

5 號請負に於ては骨材は地上にある小さい材料置場に下し、クラムシェル・バケットに依て豎坑の頂部に於ける 2 層のミキサーの上にある計量ホッパー付の加熱したスティール・ビンに積込んだ。又袋入セメントはミキサー・プラットホームの上にある倉庫に貯蔵した。ミキサーは管を通して豎坑の底部に於ける鋼製ダンプカーにコンクリートを流込む。

6 號請負の兩豎坑に於てはペーピング・ミキサーを使用してみて、トラックに依てバッチャヤーから詰込む。コンクリートはミキサーから底部に置いて運搬車に直接スパウトを落ちる。8 及び 10 號請負に於てはミキサーは豎坑の頂部に据えてある。材料は近くにある中央プラントで 1 回分に計量し、袋セメントと共にトラックでミキサーへ運搬する。コンクリートはスパウトに依て隧道内に送られる。

示方書に依るとコンクリートの縮強さは材齢 7 日に於て 2400 lb. 以上、28 日に於て 3000 lb. 以上となつてゐるが、2, 3 日毎に採つた標準回荷供試體の平均は 7 日に於て 3000 lb. 以上、28 日に於て 5000 lb. 以上の成績を示してゐる。又規定に依るとグラウト・パイプは

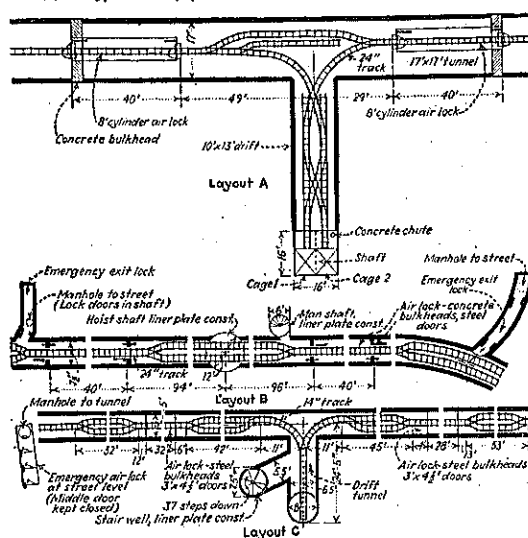
拱頂に 8 呪間隔に設くことになつて。グラウチングはコンクリート打より 100~200 呪後れて行く。一般に在來の空氣水平或は鉛直グラウト・ポンプが使用されてゐるが、2 呪負者はカーメロン蒸気ピストン・ポンプを採用した。

**頂設プラント及び豎坑:** 多くの場合頂設プラント及び豎

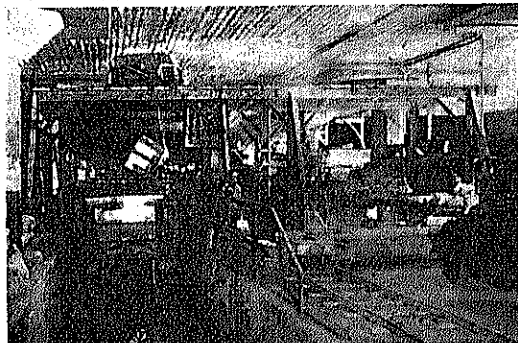
坑は隧道路線に接近した私有地に設けてあつて豎坑と下水渠との間は隧道で連絡してゐる。これ迄空氣を隧道に使用しなかつた 9 號請負を除いては、各區間共に防火家屋内に定置壓縮機の装置がある。9 號區間では器具及びグラウチングに對して空氣が必要となつた場合には携帶用壓縮機を使用した。壓縮機は凡て電動で 2 つの原動力に連結したのである。

**豎坑設備:** 物揚裝置は夫々相違してゐる。3 及び 8 號請負に於ては複胴式電動捲揚機に連結したダブルケーブル物揚機を使用してゐる。4 及び 7 號請負に於てはスキップを備付けてゐるが、これは底部に於て運搬車から頭を受け自動的に地上に高く設けた置場に卸す。隧道内への材料の運搬は小型ケーブル物揚機を使用する。クロー

第 129 図 壊坑及び氣閘の 3 標準型



第 130 図 Wacker Drive 壊坑に於ける門形起重機



ラード起重機は 5, 9 號請負及び 6 號請負の南端に於ける開坑に於て物揚機として使用されてる。之等の堅坑に於ては橋運搬車のみが揚げられる。6 號請負の 2 層の街路の下層から掘下げた Wacker Drive 壓坑に於ては、上部の高さが不足したため堅坑の上に門形起重機を据付けた。尙道路に斜道を切り下げる起重機からトラックへ自由に砂を落させ得る様にした。移動電気物揚機は橋運搬車をそのまま開坑の上に揚げると待機してするトラックの方へ移送し、箱の底部に繋結した短い鎖に依て箱が下ると砂を放下する。又隧道に使用したものと同じ鋼板が多く、請負に於て堅坑ライニングとして使用された。普通之等の堅坑は直徑 12~15 呎で、ライニングは補強なしに設けられてゐる。尙小さな鉢ライニングを施した堅坑に於ては、別に鉢ライニングを施し螺旋形階梯を取り付けた堅坑を造つて歩道として使つてゐる。

**換氣装置：**或導坑に於ては相當な空気が道入つて來るので換氣装置の問題は起らないのであるが、他の導坑に於ては作業員に新鮮な空気を送るために導坑の前面近くまで給氣装置を施してある。尙屢々行ふ間の作業の場合には別に隧道中の空気を換へるために送風機を使用する。

(玉置 勲)